WO 2005/019450

10/568745 PCT/JP2004/012238

JAP20 RGC'd PCT/PTO 21 FEB 2005

明細書

細胞傷害性リンパ球の製造方法

技術分野

本発明は、医療分野において有用な、細胞傷害性リンパ球を取得する方法に関する。

背景技術

生体は主として免疫応答により異物から守られており、免疫システムはさまざまな細胞とそれが作り出す可溶性の因子によって成り立っている。なかでも中心的な役割を果たしているのが白血球、特にリンパ球である。このリンパ球はBリンパ球(以下、B細胞と記載することがある)とTリンパ球(以下、T細胞と記載することがある)とTリンパ球(以下、T細胞と記載することがある)という2種類の主要なタイプに分けられ、いずれも抗原を特異的に認識し、これに作用して生体を防御する。

T細胞は、CD(Cluster of Differentiation) 4マーカーを有し、主に抗体産生の補助や種々の免疫応答の誘導に関与するヘルパーT細胞(以下、T_Hと記載する)、CD8マーカーを有し、主に細胞傷害活性を示す細胞傷害性T細胞〔T_C;細胞傷害性Tリンパ球(cytotoxicTlymphocyte)、キラーT細胞とも呼ばれる。以下、CTLと記載することがある〕に亜分類される。腫瘍細胞やウイルス感染細胞等を認識して破壊、除去するのに最も重要な役割を果たしているCTLは、B細胞のように抗原に対して特異的に反応する抗体を産生するのではなく、標的細胞膜表面上に存在する主要組織適合複合体〔MHC:ヒトにおいてはヒト白血球抗原(HLA)と称することもある〕クラスI分子に会合した標的細胞由来の抗原(抗原ペプチド)を直接認識して作用する。この時、CTL膜表面のT細胞レセプター(以下、

TCRと称す)が前述した抗原ペプチドおよびMHCクラスI分子を特異的に認識して、抗原ペプチドが自己由来のものなのか、あるいは、非自己由来のものなのかを判断する。そして、非自己由来と判断された標的細胞はCTLによって特異的に破壊、除去される。

近年、薬剤治療法や放射線治療法のように患者に重い肉体的負担がある治療法が見直され、患者の肉体的負担が軽い免疫治療法への関心が高まっている。特に免疫機能が正常なヒト由来のリンパ球から目的とする抗原に対して特異的に反応するCTLを生体外(ex vivo)で誘導した後、もしくは誘導を行わず、リンパ球を拡大培養し、患者へ移入する養子免疫療法の有効性が注目されている。例えば、動物モデルにおいて養子免疫療法がウイルス感染および腫瘍に対して有効な治療法であることが示唆されている(例えば、Greenberg, P. D. 著、1992年発行、Advances in Immunology及びReusser P. 他3名、Blood、1991年、Vol. 78、No. 5、P1373~1380)。この治療法ではCTLの抗原特異的傷害活性を維持もしくは増強させた状態でその細胞数を維持あるいは増加させることが重要である。

上記のような養子免疫療法において、治療効果を得るためには一定量以上の細胞数の細胞傷害性リンパ球を投与する必要がある。すなわち、ex vivoでこれらの細胞数を短時間に得ることが最大の問題であるといえる。

CTLの抗原特異的傷害活性を維持および増強するためには、CTLについて 抗原に特異的な応答を誘導する際に、目的とする抗原を用いた刺激を繰り返す方 法が一般的である。しかし、通常、この方法では最終的に得られるCTL数が減 少し、十分な細胞数が得られない。

疾病の治療に有効なT細胞を調製する方法としては、例えば、リンフォカイン 活性化キラー細胞(LAK細胞)を用いる養子免疫療法(例えば、Rosenb erg S. A. 他, N. Engl. J. Med. 1987年, Vol

. 316, No. 15, P889~897)、高濃度のインターロイキン-2(IL-2)を用いて誘導した腫瘍浸潤リンパ球(TIL)を用いる養子免疫療法(例えば、Rosenberg S. A.他, N. Engl. J. Med. 1988年, Vol. 319, No. 25, P1676~1680およびHo M. 他9名, Blood, 1993年, Vol. 81, No. 8, P2093~2101)が知られている。

次に、抗原特異的なCTLの調製に関しては、自己CMV感染線維芽細胞とIL-2 (例えば、Riddell S. A. 他4名, J. Immunol., 1991年, Vol. 146, No. 8, P2795~2804)、あるいは抗CD3モノクローナル抗体(抗CD3mAb)とIL-2を用いて、それぞれCMV特異的CTLクローンを単離ならびに大量培養する方法(例えば、Greenberg P. D. 他1名, J. Immunol. Methods, 1990年, Vol. 128, No. 2, P189~201)が報告されている。

さらに、国際公開第96/06929号パンフレットにはREM法(rapiderpansion method)が開示されている。このREM法は、抗原特異的CTLおよびTHを含むT細胞の初期集団を短期間で増殖(Expand)させる方法である。つまり、個々のT細胞クローンを増殖させて大量のT細胞を提供可能であり、抗CD3抗体、IL-2、並びに放射線照射により増殖性をなくしたPBMC(peripheral blood mononuclear cell、末梢血単核細胞)とエプスタインーバールウイルス(Epstein-Barr virus、以下EBVと略す)感染細胞とを用いて抗原特異的CTL数を増加させることが特徴である。

また、国際公開第97/32970号パンフレットには改変REM法が開示されており、当該方法はPBMCとは区別されるT細胞刺激成分を発現する分裂していない哺乳動物細胞株をフィーダ細胞として使用し、PBMCの使用量を低減

させる方法である。

リンフォカイン活性化キラー細胞(LAK細胞)は、リンパ球を含む末梢血液(末梢血白血球)や臍帯血、組織液等にIL-2を加えて、数日間試験管内で培養することにより得られる細胞傷害活性を持つ機能的細胞集団である。この際、抗CD3抗体を加えて培養することにより、さらにLAK細胞の増殖は加速する。このようにして得られたLAK細胞は非特異的にさまざまながん細胞やその他のターゲットに対して傷害活性を有する。LAK細胞も上記CTLと同様に、養子免疫療法に使用される。

上記のとおり、細胞傷害性リンパ球、例えばCTL、LAK細胞、TIL等を取得する工程においてはIL-2の利用を欠かすことができない。IL-2が細胞表面のインターロイキン-2レセプター(IL-2R)に結合することにより細胞はさらに活性化される。また、IL-2Rはリンパ球の活性化マーカーとして知られている。これらの点において、細胞表面のIL-2Rの発現を上昇させることは重要である。また、CTLの誘導においては、抗原による刺激に供されたCTLの前駆細胞がCTLとして誘導される効率を向上させること、すなわち、誘導後の細胞群におけるCD8陽性細胞の割合(比率)を向上させることが重要である。

またこれらリンパ球を体外において拡大培養する際には通常血清または血漿が 5 容量%から20容量%添加される。この血清・血漿はリンパ球等の細胞を e x vivoで培養する際に必要とされる成分であるが、血清・血漿は非自己動物 (ヒト・ウシ等)の血液をその由来とするため各種ウイルス感染等の危険性が排除できない。また、現在の検出技術では検出することが出来ないようなウイルス・病原性微生物の存在を完全否定することは不可能である。

この観点から、近年、患者由来の血清・血漿(自己血清・血漿)の使用が進められている。しかし、培養に必要な量の血清・血漿を確保するために患者自身の血液を多量に採取することは、患者への肉体的負担が大きく、生命の危険につな

がる可能性もある。この危険を回避するため、少量の血清・血漿を用いて、治療に必要なリンパ球を得る拡大培養を行うと必然的に低濃度血清・血漿での培養となる。一般にリンパ球等の細胞は低血清・低血漿条件における培養では増殖が不安定となり治療に必要な量の細胞が得られない。さらに、上述の肉体的負担および感染の危険性を回避するためには無血清培養が強く求められるが、このような培養条件ではほとんどの細胞が増殖しなくなる。

このため、低血清・無血清(低血漿・無血漿)でのリンパ球拡大培養方法が強く求められている。

無血清 (無血漿) 条件下でのリンパ球拡大培養方法が確立されれば、血清・血漿のロット間の差を排除でき、患者血清・血漿に由来する負要因 (免疫抑制成分等) を排除することが出来ることから、この系の確立によって得られる利益は計り知れない。

フィブロネクチンは動物の血液中、培養細胞表面、組織の細胞外マトリックスに存在する分子量25万の巨大な糖タンパク質であり、多彩な機能を持つことが知られている。そのドメイン構造は7つに分けられており(以下、第1図参照)、またそのアミノ酸配列中には3種類の類似の配列が含まれており、これら各配列の繰返しで全体が構成されている。3種類の類似の配列は1型、II型、II型と呼ばれ、このうち、III型はアミノ酸残基71~96個のアミノ酸残基で構成されており、これらのアミノ酸残基の一致率は17~40%である。フィブロネクチン中には14のIII型の配列が存在するが、そのうち、8番目、9番目、10番目(以下、それぞれIII-8、III-9、III-10と称する。)は細胞結合ドメインに、また12番目、13番目、14番目(以下、それぞれIII-12、III-13、III-14と称する。)はヘパリン結合ドメインに含有されている。また、III-10にはVLA(very lateactivation antigen)-5結合領域が含まれており、このコア配列はRGDSである。また、ヘパリン結合ドメインのC末端側にはIII

CSと呼ばれる領域が存在する。IIICSには25アミノ酸からなるVLA-4に対して結合活性を有するCS-1と呼ばれる領域が存在する(例えば、Deane F. Momer著、1988年発行、FIBRONECTIN、ACADEMIC PRESS INC., P1~8、Kimizuka F. 他8名, J. Biochem., 1991年, Vol. 110, No. 2, p284-291およびHanenberg H. 他5名, Human Gene Therapy, 1997年, Vol. 8, No. 18, p2193-2206)。

発明の開示

本発明の目的は、安全性が高く、医療への使用に適した、細胞傷害活性を高いレベルで保持した細胞傷害性リンパ球を取得する方法を提供することにある。

本発明を概説すれば、本発明の第1の発明は、培地中における血清および血漿の総含有濃度が0容量%以上5容量%未満である培地を用いて、フィブロネクチン、そのフラグメントまたはそれらの混合物の存在下に細胞傷害性リンパ球の誘導、維持および拡大培養から選択される少なくとも1つを行う工程を含むことを特徴とする、細胞傷害性リンパ球の製造方法に関する。本発明の第1の発明で製造される細胞傷害性リンパ球としては、フィブロネクチン、そのフラグメントまたはそれらの混合物の非存在下に製造されたものと比較して、インターロイキンー2レセプターを高発現する細胞傷害性リンパ球が例示される。また、本発明の第1の発明で製造される細胞傷害性リンパ球としては、フィブロネクチン、そのフラグメントまたはそれらの混合物の非存在下に製造されたものと比較して、CD8陽性細胞を高比率で含有する細胞傷害性リンパ球としては、フィブロネクチン、そのフラグメントまたはそれらの混合物の非存在下での細胞傷害性リンパ球の製造方法により製造されたものと比較して、拡大培養率が高い細胞傷害性リンパ球

が例示される。また、本発明の第1の発明で製造される細胞傷害性リンパ球としては、フィブロネクチン、そのフラグメントまたはそれらの混合物の非存在下に製造されたものと比較して、細胞傷害活性が増強されたもしくは高い細胞傷害活性が維持された細胞傷害性リンパ球が例示される。

本発明の第1の発明において、フィブロネクチン、そのフラグメントまたはそれらの混合物の使用については、これらが固相に固定化されて使用されることが例示される。ここで固相としては細胞培養用器材または細胞培養用担体が例示される。細胞培養用器材としては、シャーレ、フラスコまたはバッグが例示され、細胞培養用担体としては、ビーズ、メンブレンまたはスライドガラスが例示される。

本発明の第1の発明において、細胞傷害性リンパ球としては、リンフォカイン 活性化キラー細胞が例示される。

本発明の第1の発明において、フィブロネクチンのフラグメントとしては、配列表の配列番号1~8で表されるいずれかのアミノ酸配列を少なくとも1つ含んでなるポリペプチド(m)であるか、または前記いずれかのアミノ酸配列において1もしくは複数個のアミノ酸が置換、欠失、挿入もしくは付加したアミノ酸配列を少なくとも1つ含んでなるポリペプチドであって、前記ポリペプチド(m)と同等な機能を有するポリペプチド(n)が例示される。フィブロネクチンのフラグメントとしては、細胞接着活性および/またはヘパリン結合活性を有するものが例示される。また、フィブロネクチンのフラグメントが、配列表の配列番号9~20および25で表されるいずれかのアミノ酸配列を有するポリペプチドからなる群より選択される少なくとも1つのポリペプチドが例示される。

本発明の第1の発明において、当該製造方法を細胞培養用器材中で行う場合の 一態様として、

(b) 培養開始時の培地中の細胞の濃度が、1 c e l l /mL~5×10⁵ c e l l s /mLである、

の条件を満たすことが例示される。

また、このような製造方法としては、細胞培養液を希釈する工程を要しない方法が例示される。

本発明の第1の発明において、細胞傷害性リンパ球の誘導、維持及び拡大培養の少なくともいずれか1つを、フィブロネクチン、そのフラグメントまたはそれらの混合物の存在下、培地を含む細胞培養用器材中で行なう場合、例えば、少なくとも1回の、細胞培養液の希釈工程、培地の交換工程もしくは細胞培養用器材の交換工程を包含し、かつ少なくとも1回の、細胞培養液の希釈工程直後、培地の交換工程直後もしくは細胞培養用器材の交換工程直後の培養条件が、

- (c) 細胞培養液中の細胞の濃度が 2×10^5 cells/mL $\sim1\times10^8$ cells/mLである、もしくは
- (d)細胞培養液中の細胞数と細胞培養用器材における培養面積との比率が 1×10^5 c e l l s / c m 2 ~ 1×10^8 c e l l s / c m 2 である、の条件を満たすことが例示される。

本発明の第1の発明の製造方法において、細胞傷害性リンパ球の誘導、維持及び拡大培養の少なくともいずれか1つを、フィブロネクチン、そのフラグメントまたはそれらの混合物の存在下、培地を含む細胞培養用器材中で行なう場合、特に限定はないが、例えば、少なくとも1回の、細胞培養液の希釈工程、培地の交換工程もしくは細胞培養用器材の交換工程を包含し、かつ少なくとも1回の、細胞培養液の希釈工程直後、培地の交換工程直後もしくは細胞培養用器材の交換工程直後の培地中における血清および血漿の総含有濃度が培養開始時と同じか、もしくは培養開始時よりも低減されていることが例示される。

本発明の第1の発明において、細胞傷害性リンパ球に外来遺伝子を導入する工程をさらに含む方法が例示される。ここで外来遺伝子の導入としては、レトロウ

イルス、アデノウイルス、アデノ随伴ウイルスまたはシミアンウイルスを用いて 導入することが例示される。

本発明の第2の発明は、本発明の第1の発明の方法により得られる細胞傷害性 リンパ球に関する。

本発明の第3の発明は本発明の第1の発明の方法により得られる細胞傷害性リンパ球を有効成分として含有する医薬に関する。

本発明の第4の発明は、フィブロネクチン、そのフラグメントまたはそれらの 混合物を有効成分として含有し、かつ血清および血漿の総含有濃度が0容量%以 上5容量%未満であることを特徴とする細胞傷害性リンパ球培養用培地に関する

本発明により、安全性が高く、患者への負担が軽減された細胞傷害性リンパ球の製造方法が提供される。

図面の簡単な説明

第1図は、フィブロネクチンのドメイン構造を示す模式図である。

発明を実施するための最良の形態

本発明は、細胞傷害性リンパ球の誘導、維持又は拡大培養方法において、フィブロネクチン及び/又はフィブロネクチンフラグメントの存在下に細胞傷害性リンパ球を調製することにより、培地中の血清や血漿の含有量を低減または除去しても、高い拡大培養率で充分な細胞傷害活性を有し、IL-2Rの発現量が高く、さらにCD8陽性細胞の比率が高い細胞傷害性リンパ球が得られることを見出し、完成するに至ったものである。

なお、本明細書において細胞傷害性リンパ球の製造とは、当該細胞の誘導(活性化)、維持、拡大培養の各工程、もしくはこれらを組み合わせた工程を包含する操作を指す。また、本発明の細胞傷害性リンパ球の製造を、細胞傷害性リンパ

球の培養とも称する。

以下、本発明を具体的に説明する。

(1) 本発明に使用されるフィブロネクチン、およびそのフラグメント

本明細書中に記載のフィブロネクチンおよびそのフラグメントは、天然から得られたもの、または人為的に合成されたもののいずれでもよい。フィブロネクチンおよびそのフラグメントは、例えば、ルオスラーティ E.ら〔Ruoslahti E., et al.、ジャーナル・オブ・バイオロジカル・ケミストリー(J. Biol. Chem.)、第256巻、第14号、第7277~7281頁(1981)〕の開示に基づき、天然起源の物質から実質的に純粋な形態で製造することができる。ここで、本明細書に記載された実質的に純粋なフィブロネクチンまたはフィブロネクチンフラグメントとは、これらが天然においてフィブロネクチンと一緒に存在する他のタンパク質を本質的に含有していないことを意味する。上記のフィブロネクチンおよびそのフラグメントは、それぞれ単独で、もしくは複数の種類のものを混合して本発明に使用することができる。

なお、フィブロネクチンは多くのスプライシングバリアントの存在が知られているが、本発明に使用されるフィブロネクチンとしては、本発明の所望の効果を発現するものであれば、いずれのバリアントも使用することができる。例えば、血漿由来のフィブロネクチンの場合、細胞結合ドメインの上流に存在するED-Bと呼ばれる領域、細胞結合ドメインとヘパリン結合ドメインの間に存在するED-Aと呼ばれる領域が欠失していることが知られているが、このような血漿由来のフィブロネクチンも本発明に使用することができる。

本発明に使用できるフィブロネクチンフラグメント、ならびに該フラグメントの調製に関する有用な情報は、キミヅカ F. ら〔K i m i d u k a F. , e t a l . 、ジャーナル・オブ・バイオケミストリー(J . B i o c h e m .)、第110巻、第284~291頁(1991)〕、コーンブリット A. R. ら〔K o f i h t t f A. R. , e t a l . 、f EMBO ジャ

ーナル (EMBO J.)、第4巻、第7号、1755~1759 (1985) 】、およびセキグチ K. ら [Sekiguchi K., et al.、バイオケミストリー (Biochemistry)、第25巻、第17号、4936~4941 (1986)] 等より得ることができる。また、フィブロネクチンのアミノ酸配列については、Genbank Accession No. NM_002026 (NP_002017) に開示されている。

本発明において、フィブロネクチンフラグメントとしては、例えば、III-8 (配列表の配列番号1で表されるアミノ酸配列)、III-9 (配列表の配列番号2で表されるアミノ酸配列)、III-10 (配列表の配列番号3で表されるアミノ酸配列)、III-11 (配列表の配列番号4で表されるアミノ酸配列)、III-11 (配列表の配列番号4で表されるアミノ酸配列)、III-12 (配列表の配列番号5で表されるアミノ酸配列)、III-13 (配列表の配列番号6で表されるアミノ酸配列)、III-14 (配列表の配列番号7で表されるアミノ酸配列)、 およびCS-1 (配列表の配列番号8で表されるアミノ酸配列) のいずれかの領域を構成するアミノ酸配列を少なくとも1つ合んでなるポリペプチド(m) (第1図参照) や、前記いずれかのアミノ酸配列において1もしくは複数個のアミノ酸が置換、欠失、挿入もしくは付加したアミノ酸配列を少なくとも1つ合んでなるポリペプチドであって、前記ポリペプチド(m) と同等な機能を有するポリペプチド(n)が例示される。

また、当該フラグメントとしては、細胞接着活性および/またはヘパリン結合活性を有するものが好適に使用できる。細胞接着活性は、本発明で使用されるフラグメント(その細胞結合ドメイン)と細胞との結合を公知の方法を使用してアッセイすることにより調べることができる。例えば、このような方法には、ウイリアムズ D. A. らの方法 [Williams D. A., et al.、ネイチャー(Nature)、第352巻、第438~441頁(1991)〕が含まれる。当該方法は、培養プレートに固定化したフラグメントに対する細胞の結合を測定する方法である。また、ヘパリン結合活性は、本発明に使用され

PCT/JP2004/012238

るフラグメント (そのヘパリン結合ドメイン) とヘパリンとの結合を公知の方法 を使用してアッセイすることにより調べることができる。例えば、上記のウイリアムズ D. A. らの方法において、細胞に換えてヘパリン、例えば標識ヘパリンを使用することにより、同様の方法でフラグメントとヘパリンとの結合の評価を行うことができる。

さらにフィブロネクチンのフラグメントとしては、C-274(配列表の配列番号9で表されるアミノ酸配列)、H-271(配列表の配列番号10で表されるアミノ酸配列)、H-296(配列表の配列番号11で表されるアミノ酸配列)、CH-271(配列表の配列番号12で表されるアミノ酸配列)、CH-296(配列表の配列番号13で表されるアミノ酸配列)、C-CS1(配列表の配列番号14で表されるアミノ酸配列)、C-CS1(配列表の配列番号25で表されるアミノ酸配列)、またはCH-296Na(配列表の配列番号25で表されるアミノ酸配列)より選択されるポリペプチドが例示される。なお、CH-296Naについては本願において初めて作製されたポリペプチドである。

上記のCH-271、CH-296、CH-296Na、C-274、C-C S1の各フラグメントはVLA-5に結合する活性を有する細胞結合ドメインを 有するポリペプチドである。また、C-CS1、H-296、CH-296、CH-296、CH-296NaはVLA-4に結合する活性を有するCS-1を有するポリペプチドである。さらに、H-271、H-296、CH-271、CH-296およびCH-296Naはヘパリン結合ドメインを有するポリペプチドである。なお、CH-296Naは血漿由来のフィブロネクチンにおける細胞結合ドメインからCS-1までを含むポリペプチドである。すなわち、CH-296NaはGenbank Accession No. NM_002026(NP_002017)に開示されているフィブロネクチンのアミノ酸配列の1270番目のプロリンから2016番目のスレオニンまでを含むポリペプチドより、1631番目のアスパラギンから1720番目のスレオニンにわたる領域(ED-A)が

欠失したポリペプチドである。

本発明においては、上記の各ドメインが改変されたフラグメントも使用することができる。フィブロネクチンのヘパリン結合ドメインは3つのIII型配列(III-12、III-13、IiI-14)によって構成されている。前記III型配列のうちの一つもしくは二つを欠失したヘパリン結合ドメインを含むフラグメントも本発明に使用することが可能である。例えば、フィブロネクチンの細胞結合部位(VLA-5結合領域、Pro1239~Ser1515)と一つのIII型配列とが結合したフラグメントであるCHV-89(配列表の配列番号16で表されるアミノ酸配列)、CHV-90(配列表の配列番号16で表されるアミノ酸配列)、CHV-92(配列表の配列番号17で表されるアミノ酸配列)、あるいは二つのIII型配列とが結合したフラグメントであるCHV-179(配列表の配列番号18で表されるアミノ酸配列)、CHV-181(配列表の配列番号19で表されるアミノ酸配列)が例示される。CHV-89、CHV-90、CHV-92はそれぞれII-13、II-14、II-12を含むものであり、CHV-179はII-13とII-14を、CHV-181はII-12とII-13をそれぞれ含んでいる。

また、上記の各フラグメントにさらにアミノ酸を付加したフラグメントも本発明に使用することができる。当該フラグメントは、例えば、後述の製造例に記載のH-275-Cysの製造方法に準じて上記各フラグメントに所望のアミノ酸を付加することにより製造可能である。例えば、H-275-Cys(配列表の配列番号20で表されるアミノ酸配列)は、フィブロネクチンのヘパリン結合ドメインを有し、かつC末端にシステイン残基を有するフラグメントである。

なお、本発明に使用されるフラグメントとしては、本発明の所望の効果が得られる限り、上記に例示した天然のフィブロネクチンのアミノ酸配列の少なくとも 一部を含むフラグメントと同等な機能を有する、当該フラグメントを構成するポ リペプチドのアミノ酸配列に1もしくは複数個のアミノ酸の置換、欠失、挿入も

しくは付加を有するアミノ酸配列を有するポリペプチドからなるものであっても よい。

アミノ酸の置換等は、本来のポリペプチドの機能が維持され得る範囲内で該ポリペプチドの物理化学的性状等を変化させ得る程度のものであるのが好ましい。例えば、アミノ酸の置換等は、本来のポリペプチドの持つ性質(例えば、疎水性、親水性、電荷、pK等)を実質的に変化させない範囲の保存的なものが好ましい。例えば、アミノ酸の置換は、1. グリシン、アラニン; 2. バリン、イソロイシン、ロイシン; 3. アスパラギン酸、グルタミン酸、アスパラギン、グルタミン; 4. セリン、スレオニン; 5. リジン、アルギニン; 6. フェニルアラニン、チロシンの各グループ内での置換であり、アミノ酸の欠失、付加、挿入は、ポリペプチドにおけるそれらの対象部位周辺の性質に類似した性質を有するアミノ酸の、対象部位周辺の性質を実質的に変化させない範囲での欠失、付加、挿入が好ましい。

アミノ酸の置換等は種間や個体差に起因して天然に生ずるものであってもよく、また、人工的に誘発されたものであってもよい。人工的な誘発は公知の方法により行えばよく、特に限定はないが、例えば、公知の手法により、天然のフィブロネクチン由来の前記領域や所定のフラグメントをコードする核酸において1もしくは複数個の塩基が置換、欠失、付加もしくは挿入された所定の核酸を作製し、それを使用して、天然のフィブロネクチン由来の前記領域や所定のフラグメントと同等な機能を有する、当該フラグメント等を構成するポリペプチドのアミノ酸配列に置換等を有するアミノ酸配列を含むポリペプチドを製造することができる。

また、本明細書において「同等な機能を有する」とは、比較対照であるポリペプチドが、天然由来のフィブロネクチンフラグメントの有する、(i)細胞傷害性リンパ球の細胞傷害活性の増強又は維持機能、(i i) I L-2 Rの発現量の増強機能、(i i i) C D 8 陽性細胞の比率向上機能、または(i v)細胞傷害

性リンパ球の拡大培養率の向上機能の少なくともいずれかの機能を有することをいう。前記機能は後述の実施例に記載の方法に準じて適宜確認することができる。また、アミノ酸の置換等を有するポリペプチドからなるフラグメントとしては、細胞接着活性および/またはヘパリン結合活性を有するものが好適である。細胞接着活性およびヘパリン結合活性は、それらの前記活性測定方法に準じて評価することができる。

アミノ酸の置換等を有するポリペプチドからなるフラグメントとして、例えば、2つの異なるドメイン間にリンカーとして1以上のアミノ酸が挿入されたフラグメントも本発明に使用することができる。

なお、フィブロネクチンについても、上記のフラグメントと同様、そのポリペプチドのアミノ酸配列に1もしくは複数個のアミノ酸の置換、欠失、挿入もしくは付加を有するアミノ酸配列を有するポリペプチドであって、少なくとも前記(i)~(iv)のいずれかの機能を有するポリペプチドを、本発明において使用することができる。

本明細書中に記載のフィブロネクチンフラグメントは、例えば、米国特許第5,198,423号明細書の記載に基づいて遺伝子組換え体より製造することもできる。例えば、上記のH-271(配列番号10)、H-296(配列番号11)、CH-271(配列番号12)、CH-296(配列番号13)の各フラグメントならびにこれらを取得する方法は当該特許明細書に詳細に記載されている。また、CH-296Na(配列番号25)とその製造方法については後述の(3)CH-296Naについて、および実施例に記載されている。また、上記のC-274(配列番号9)フラグメントは米国特許第5,102,988号明細書に記載された方法により得ることができる。さらに、C-CS1(配列番号14)フラグメントは日本特許第3104178号明細書に記載された方法により得ることができる。とに、C-CS1(配列番号14)フラグメントは日本特許第3104178号明細書に記載された方法により得ることができる。上記CHV-89(配列番号15)、CHV-90(配列番号16)、CHV-179(配列番号18)の各フラグメントは、日本特許第

2729712号明細書に記載された方法により得ることができる。また、CHV-181 (配列番号19)フラグメントは国際公開第97/18318号パンフレットに記載された方法に準じて得ることができる。CHV-92 (配列番号17)フラグメントは、日本特許第2729712号明細書および国際公開第97/18318号パンフレットを参照し、それらの文献に記載されたプラスミドに基づいて定型的にプラスミドを構築し、該プラスミドを用いて遺伝子工学的に取得することができる。

これらのフラグメントまたはこれらフラグメントから定型的に誘導できるフラグメントは、〒305-8566日本国茨城県つくば市東1丁目1番地1中央第6 独立行政法人 産業技術総合研究所 特許生物寄託センターに下記受託番号のもとで寄託された微生物を用いて製造する、あるいは各微生物の保持するプラスミドを公知の方法により改変することにより製造することができる:

FERM BP-2264 (H-271をコードするプラスミドを保有する大腸菌; 寄託日 1989年1月30日)、

FERM BP-2800 (CH-296をコードするプラスミドを保有する大 腸菌; 寄託日 1989年5月12日)、

FERM BP-2799 (CH-271をコードするプラスミドを保有する大 腸菌;寄託日 1989年5月12日)、

FERM BP-7420 (H-296をコードするプラスミドを保有する大腸 菌; 寄託日 1989年5月12日)、

FERM BP-1915 (C-274をコードするプラスミドを保有する大腸 菌; 寄託日 1988年6月17日)、

FERM BP-5723 (C-CS1をコードするプラスミドを保有する大腸 菌; 寄託日 1990年3月5日)、

FERM BP-10073 (CH-296Naをコードするプラスミド; 寄託 日 2004年7月23日) FERM P-12182 (CHV-89をコードするプラスミドを保有する大 腸菌: 寄託日 1991年4月8日)、

FERM P-12183 (CHV-179をコードするプラスミドを保有する 大腸菌;寄託日 1991年4月8日)。

フィブロネクチンは巨大な糖タンパク質であるため、天然起源のタンパク質を調製して使用することは産業上および医薬品製造上、必ずしも容易ではない。また、フィブロネクチンは多機能タンパク質であることから、その使用の状況によっては、本発明の方法に効果を示す領域とは異なる領域に起因する不都合が起こることも考えられる。これらのことから、本発明においては、入手、取り扱いの容易さ、安全面の観点から、好適にはフィブロネクチンフラグメント、さらに好適には前記のようにして得られる組換えフィブロネクチンフラグメントを使用することができる。さらに、後述するリンパ球の拡大培養率の向上、拡大培養されたリンパ球における I L - 2 R の発現量の上昇、および拡大培養されたリンパ球集団中のC D 8 陽性細胞の比率の向上、細胞傷害活性の上昇等の効果を示すことができるフィブロネクチンフラグメントが特に好適に使用できる。また、本発明に使用されるフィブロネクチンフラグメントの分子量としては、特に限定はないが、好適には1~200kD、より好適には5~190kD、さらに好適には10~180kDである。当該分子量は、例えば、SDS-ポリアクリルアミドゲル電気泳動により測定することができる。

なお、本発明のフィブロネクチンフラグメントを構成するポリペプチドのアミノ酸配列において、天然由来のフィブロネクチンフラグメントを構成するポリペプチドのアミノ酸配列以外のアミノ酸配列部分は、本発明の所望の効果の発現を 阻害しない限り任意であり、特に限定されるものではない。

(2) 本発明の細胞傷害性リンパ球の製造方法

以下、本発明の細胞傷害性リンパ球の製造方法について具体的に説明する。本

PCT/JP2004/012238

発明の方法は、培地中における血清及び血漿の総含有濃度が 0 容量%以上 5 容量%未満である培地を用いて、フィブロネクチン、そのフラグメントまたはそれらの混合物の存在下に細胞傷害性リンパ球の誘導、維持および拡大培養の少なくともいずれか 1 つを行なう細胞傷害性リンパ球の製造方法である。

本明細書において細胞傷害性リンパ球とは細胞傷害性リンパ球を含有する細胞群を意味する。なお、狭義には前記細胞群に含有されている細胞傷害性リンパ球のみを示すことがある。また、本発明において細胞傷害性リンパ球の製造とは、本発明の細胞傷害性リンパ球になり得る前駆細胞からの細胞傷害活性を有するリンパ球への誘導、細胞傷害性リンパ球の維持、細胞傷害性リンパ球および/または前駆細胞を用いた細胞傷害性リンパ球の拡大培養のいずれをも包含するものである。本発明の細胞傷害性リンパ球の製造方法においては、該方法に供する細胞の種類や、培養の条件等を適宜調整することにより、細胞傷害性リンパ球の誘導、維持または拡大培養が行なわれることになる。

本発明の細胞傷害性リンパ球としては、特に限定するものではないが、例えば細胞傷害活性を有する、リンフォカイン活性化キラー細胞(LAK細胞)、細胞傷害性T細胞(CTL)、腫瘍浸潤リンパ球(TIL)、NK細胞等が挙げられる。

本発明において、細胞傷害性リンパ球になり得る、すなわち、該リンパ球への分化能を有する前駆細胞としては、末梢血単核球(PBMC)、NK細胞、ナイーブ細胞、メモリー細胞、造血幹細胞、臍帯血単核球等が例示される。また、血球系細胞であれば本発明において前駆細胞として使用できる。これらの細胞は生体から採取されたものをそのままもしくは凍結保存したもののいずれも使用することができる。なお、本発明の細胞傷害性リンパ球の製造方法では、前記細胞を含有する材料、例えば、末梢血液、臍帯血等の血液や、血液から赤血球や血漿等の成分を除去したもの、骨髄液等を使用することができる。

本発明の細胞傷害性リンパ球の製造方法は、フィブロネクチン、そのフラグメ

ントまたはそれらの混合物から選択される有効成分の存在下に細胞傷害性リンパ球を製造することを1つの大きな特徴とする。なお、本発明の細胞傷害性リンパ球の製造方法は、細胞傷害性リンパ球の培養の全期間、もしくは任意の一部の期間において行われる。すなわち、細胞傷害性リンパ球の製造工程の一部に前記工程を含むものであれば本発明に包含される。

さらに、従来の細胞傷害性リンパ球の拡大培養方法では、培地中に5~20容 量%の血清・血漿の添加が必要であったのに対し、本発明の細胞傷害性リンパ球 の製造方法は、これら血清および血漿の培地中の総含有濃度を 0 容量%以上 5 容 量%未満とすることを特徴とする。血清および血漿の培地中の総含有濃度は、好 適には0容量%以上4容量%以下、特に好適には0容量%以上3容量%以下とす ることができる。本発明の特に好適な態様においては、培地中に血清・血漿を全 く添加することなく、十分な細胞傷害性リンパ球の製造を行うことができ、安全 面や患者への負担を軽減させる点で非常に有用な方法である。また、本発明にお いて、使用する血清。血漿の使用量をさらに低減させたい場合は、培養途中にお いて血清・血漿の使用量を段階的に低減させることができる。すなわち、培養開 始時の血清・血漿濃度に対して、後述する細胞培養液の希釈、培地交換もしくは 細胞培養用器材の交換の際に使用される新たな培地中の血清・血漿濃度を低減さ せるもしくは添加しないことで、血清・血漿の使用量を通常より低減させること ができる。よって、本発明によれば、少なくとも1回の、細胞培養液の希釈工程 、培地の交換工程もしくは細胞培養用器材の交換工程を包含し、かつ少なくとも 1回の、細胞培養液の希釈工程直後、培地の交換工程直後もしくは細胞培養用器 材の交換工程直後の培地中における血清および血漿の総含有濃度が培養開始時と 同じか、もしくは培養開始時よりも低減されている細胞傷害性リンパ球の製造方 法が提供される。

なお、血清又は血漿の由来としては、自己(使用する細胞傷害性リンパ球の前 駆細胞と由来が同じであることを意味する)もしくは非自己(使用する細胞傷害

性リンパ球の前駆細胞と由来が異なることを意味する)のいずれでも良いが、好 適には安全性の観点から自己由来のものが使用できる。

本発明の方法において、細胞傷害性リンパ球の製造、すなわち、細胞傷害性リンパ球の誘導、維持および/または拡大培養は、通常、本発明の前記有効成分の存在下に、所定の成分を含む培地中で行なわれる。

例えば、本発明の方法において、細胞傷害性リンパ球の誘導もしくは拡大培養を意図する場合、本発明において使用される培養開始時の細胞(細胞傷害性リンパ球および/または前駆細胞)数としては、特に限定はないが、例えば1 c e 1 $1/mL\sim1\times10^8$ c e 1 1 s/mL、好適には $1 c e 1 1/mL\sim5\times10$ 7 c e 1 1 s/mL、さらに好適には $1 c e 1 1/mL\sim2\times10^7$ c e 1 1 s/mLが例示される。また、培養条件に特に限定はなく、通常の細胞培養に使用される条件を使用することができる。例えば、37%、5%%CO $_2$ 等の条件で培養することができる。また、適当な時間間隔で細胞培養液を新鮮な培地を加えて希釈するか、培地を交換するか、もしくは細胞培養用器材を交換することができる。

本発明の細胞傷害性リンパ球の製造方法において使用される培地には血清および血漿の総含有濃度を除いては特に限定はなく、細胞傷害性リンパ球、その前駆細胞の維持、生育に必要な成分を混合して作製された公知の培地を使用することができ、たとえば市販の培地を適宜選択して使用することができる。これらの培地はその本来の構成成分以外に適当なタンパク質、サイトカイン類、その他の成分を含んでいてもよい。好適には、IL-2を含有する培地が本発明に使用される。IL-2の培地中の濃度としては、特に限定はないが、例えば、好適には 0.01~1×10 4 U/mLである

本発明の細胞傷害性リンパ球の製造方法において使用される細胞培養用器材としては、特に限定はないが、例えば、シャーレ、フラスコ、バッグ、大型培養槽

、バイオリアクター等を使用することができる。なお、バッグとしては、下記実施例34~38および45~52に記載のとおり、細胞培養用CO₂ガス透過性バッグを使用することができる。また、工業的に大量のリンパ球を製造する場合には、大型培養槽を使用することができる。また、培養は開放系、閉鎖系のいずれのものも使用することができるが、好適には得られるリンパ球の安全性の観点から閉鎖系で培養を行うことが好ましい。

また、抗CD3抗体をさらに含有する培地中で細胞傷害性リンパ球になり得る前駆細胞を培養することもできる。抗CD3抗体の培地中の濃度としては、特に限定はないが、例えば $0.01\sim100\mu$ g/mL、特に $0.01\sim100\mu$ g/mLが好適である。抗CD3抗体はリンパ球上のレセプターを活性化する目的で添加することができる。また、この他、レクチン等のリンパ球刺激因子を添加することもできる。当該成分の培地中の濃度は、所望の効果が得られれば特に限定されるものではない。

なお、本発明の有効成分を含め、上記成分は培地中に溶解して共存させる他、 適切な固相、例えばシャーレ、フラスコ、バッグ等の細胞培養用器材(開放系の もの、および閉鎖系のもののいずれをも含む)、またはビーズ、メンブレン、ス ライドガラス等の細胞培養用担体に固定化して使用してもよい。なお、ビーズへ の固定化としては、下記実施例61および62に記載のとおりに行うことができ 、製造されたビーズは下記実施例63および64に記載のとおりに使用すること ができる。それらの固相の材質は細胞培養に使用可能なものであれば特に限定さ れるものではない。該成分を、例えば、前記器材に固定化する場合、培地を該器 材に入れた際に、該成分を培地中に溶解して用いる場合の所望の濃度と同様の割 合となるように、器材に入れる培地量に対して各成分の一定量を固定化するのが 好適であるが、当該成分の固定化量は所望の効果が得られれば特に限定されるも のではない。前記担体は、細胞培養時に細胞培養用器材中の培養液に浸漬して使 用される。前記成分を前記担体に固定化する場合、該担体を培地に入れた際に、 該成分を培地中に溶解して用いる場合の所望の濃度と同様の割合となるように、 器材に入れる培地量に対して各成分の一定量を固定化するのが好適であるが、当 該成分の固定化量は所望の効果が得られれば特に限定されるものではない。

例えば、フィブロネクチンのフラグメントの固定化は、国際公開第97/18 318号パンフレット、ならびに国際公開第00/09168号パンフレットに記載の方法により実施することができる。

前記の種々の成分や、本発明の有効成分を固相に固定化しておけば、本発明の 方法により細胞傷害性リンパ球を得た後、該リンパ球と固相とを分離するのみで 、有効成分等と該リンパ球とを容易に分離することができ、該リンパ球への有効 成分等の混入を防ぐことができる。

さらに、国際公開第02/14481号パンフレットに記載された、抗原特異的な細胞傷害活性を有する細胞傷害性T細胞の誘導に有効な酸性多糖、酸性オリゴ糖、酸性単糖およびそれらの塩からなる群より選択される化合物や、下記(A)~(D)から選択される物質を前記成分と共に用いてもよい。

- (A) CD44に結合活性を有する物質
- (B) CD44リガンドがCD44に結合することにより発せられるシグナルを 制御し得る物質
 - (C) 成長因子の成長因子レセプターへの結合を阻害し得る物質
- (D) 成長因子が成長因子レセプターに結合することにより発せられるシグナル を制御し得る物質

前記CD44に結合活性を有する物質としては、例えばCD44リガンドおよび/または抗CD44抗体が例示される。CD44リガンドがCD44に結合することにより発せられるシグナルを制御し得る物質としては、例えば各種リン酸化酵素および脱リン酸化酵素の阻害剤又は活性化剤が挙げられる。成長因子の成長因子レセプターへの結合を阻害し得る物質としては、例えば成長因子に結合活性を有し、成長因子と複合体を形成することにより成長因子が成長因子レセプタ

ーに結合するのを阻害する物質、もしくは成長因子レセプターに結合活性を有し、成長因子が成長因子レセプターに結合するのを阻害する物質が挙げられる。さらに、成長因子が成長因子レセプターに結合することにより発せられるシグナルを制御し得る物質としては、例えば各種リン酸化酵素および脱リン酸化酵素の阻害剤又は活性化剤が挙げられる。これらの成分の培地中の濃度は、所望の効果が得られれば特に限定されるものではない。また、これらの成分は培地中に溶解して共存させる他、前記のような適切な固相に固定化して使用してもよい。

なお、上記の各種物質は単独で、もしくは2種以上混合して用いることができる。

本発明において前記有効成分の存在下とは、細胞傷害性リンパ球の誘導、維持または拡大培養を行なう際に、前記有効成分がその機能を発揮し得る状態で存在することをいい、その存在状態は特に限定されるものではない。例えば、有効成分を使用する培地に溶解させる場合、培養を行う培地中における、本発明の有効成分の含有量は所望の効果が得られれば特に限定するものではないが、例えば、好ましくは $0.001\sim1000\mu$ g/mL、より好ましくは $0.001\sim1000\mu$ g/mL、より好ましくは $0.001\sim1000\mu$ g/mL、さらに好ましくは $0.005\sim5000\mu$ g/mL、特に好ましくは $0.01\sim1000\mu$ g/mLである。

本発明の製造方法によって得られた細胞傷害性リンパ球についてIL-2Rの発現量を測定すると、フィブロネクチン、そのフラグメントまたはそれらの混合物の非存在下に誘導、維持および拡大培養の少なくともいずれか1つを行なった細胞傷害性リンパ球に比較して有意なIL-2R発現量の増加が認められる。ここで、IL-2R発現量は公知の方法、例えば、抗IL-2R抗体を使用して測定することができる。

上記のように、本発明の方法により得られた細胞傷害性リンパ球はIL-2R の発現量が増加している。IL-2Rは活性化T細胞表面に発現する活性化マーカーであり、この分子の発現に伴い、サイトカイン産生、細胞傷害活性、増殖活

性等が活性化される。よって、本発明の方法により得られる細胞傷害性リンパ球 は高い機能を有する細胞群である。

また、本発明の方法により得られる細胞傷害性リンパ球は、IL-2Rの発現量が増加していることから、培地中に添加されたIL-2、あるいは細胞傷害性リンパ球の前駆細胞、リンパ球自体もしくは共存するその他の細胞が産生したIL-2による刺激に対する感受性が向上している。このため、IL-2の少ない環境下(例えば体内等)でも自ら活性化することができる。

さらに、本発明の方法により得られた細胞傷害性リンパ球では、フィブロネクチン、そのフラグメントまたはそれらの混合物の非存在下に誘導、維持および拡大培養の少なくともいずれか1つを行なったものに比べてCD8マーカーを有する(CD8陽性)細胞の存在する比率が高い。このことは、例えば、1.CD8陽性細胞はインターフェロンーィ等のサイトカインを産生して、免疫賦活を引き起こし、ヘルパーT細胞バランスをTh1系にする、2.CD8陽性細胞は細胞性免疫担当細胞であり、ウィルスや腫瘍細胞等の異物を効率よく排除することができる、3.CD8陽性細胞を得る場合は、従来はマグネットピーズやフローサイトメーターでCD8陽性細胞を精製していたが、本発明の方法では培養しながらCD8陽性細胞をエンリッチにすることができる、4.CD8陽性細胞比が多いことから、CTLを誘導する際の前駆細胞としての使用に適している、5.CD8陽性細胞比の少ない細胞集団からでも、CD8陽性細胞比率を高めながら培養することができる、等の利点がある。よって、本発明の方法は細胞傷害性リンパ球の調製において極めて有用である。

なお、本発明の方法により得られた細胞傷害性リンパ球におけるCD8陽性細胞の比率は、特に限定するものではないが、例えば抗CD8抗体を使用して測定することができる。

また、本発明の方法により調製された細胞傷害性リンパ球は培養後の細胞を長期間にわたって維持、あるいはこれを増殖させても、従来観察されたような高い

細胞傷害活性が維持されているという性質を有している。すなわち、該細胞傷害性リンパ球は、フィブロネクチン、そのフラグメントまたはそれらの混合物の非存在下に誘導、維持および拡大培養の少なくともいずれか1つを行なったものと比べて、細胞傷害活性が高く維持される。従って、培養された細胞傷害性リンパ球をクローン化することにより、安定した細胞傷害活性を有するリンパ球として維持することもできる。また、誘導された細胞傷害性リンパ球に抗原、各種サイトカイン、抗CD3抗体刺激を与えることにより増殖させ、拡大培養することができる。この細胞傷害性リンパ球の維持、拡大培養には、特に限定はなく、公知の方法を用いることができる。

上記の細胞傷害性リンパ球の維持とは、細胞傷害性リンパ球を細胞傷害活性を保ったままで維持することをいう。その際の培養条件に特に限定はなく、通常の細胞培養に使用される条件を適用することができる。例えば、37℃、5%CO2等の条件で培養することができる。また、適当な時間間隔で培地を新鮮なものに交換することができる。使用される培地や、同時に使用されるその他の成分等は前記と同様である。

本発明の方法における細胞傷害性リンパ球の維持および拡大培養は、本発明の有効成分、すなわちフィブロネクチン、そのフラグメントまたはそれらの混合物の存在下、培地中における血清及び血漿の総含有濃度が 0 容量%以上 5 容量%未満である培地中で細胞傷害性リンパ球をそれぞれ継続培養および拡大培養することを1つの大きな特徴とする。拡大培養によれば、細胞傷害性リンパ球の有する細胞傷害活性を維持させた状態でその細胞数を増加させることができる。すなわち、本発明の方法は、1つの態様として、細胞傷害性リンパ球の拡大培養方法を提供する。

本発明の方法により得られる細胞傷害性リンパ球は所望の標的細胞を認識する能力を有しており、例えば標的となる細胞を、その細胞傷害活性により破壊する。この細胞傷害性リンパ球の細胞傷害活性は公知の方法により評価できる。例え

PCT/JP2004/012238

ば、放射性物質、蛍光物質等で標識した標的細胞に対する細胞傷害性リンパ球の細胞傷害活性を、細胞傷害性リンパ球により破壊された標的細胞に由来する放射活性や蛍光強度を測定することによって評価できる。また、細胞傷害性リンパ球や標的細胞より特異的に遊離されるGM-CSF、IFN- γ等のサイトカイン量を測定することにより検出することもできる。その他蛍光色素等によって標識された抗原ペプチドーMHC複合体の使用によって直接確認することもできる。この場合、例えば細胞傷害性リンパ球を細胞傷害性リンパ球特異性抗体とカップリングさせた第1蛍光マーカーと接触させた後に第2蛍光マーカーとカップリングさせた抗原ペプチドーMHC複合体を接触させ、そして二重標識細胞の存在をFACS(fluorescence-activated cell sorting)分析することにより細胞傷害性リンパ球の細胞傷害活性を評価することができる。

さらに、本発明の細胞傷害性リンパ球の製造方法の特徴として、低細胞数から培養を開始することが可能である。養子免疫療法を行うためには大量のリンパ球が必要となるが、患者から大量のリンパ球を取得することは困難である。また、通常の細胞傷害性リンパ球の拡大培養では、使用する細胞数に応じた適切な培養面積の細胞培養用器材の選択や、適切な培地量での培養が必要となる。すなわち、通常は細胞培養用器材における培養面積〔すなわち、培地に接触している器材表面部分の面積(cm²)〕に対する細胞量(個数)は1×10°cells/cm²以上、細胞濃度は1×10°cells/mL以上の高密度で培養が開始され、これ以下の細胞量条件では、拡大培養率〔拡大培養前の細胞数に対する拡大培養後の細胞数の比(拡大培養後の細胞数/拡大培養前の細胞数)〕が非常に低くなり、大量の細胞傷害性リンパ球を得るまでに長期の培養期間を要する。よって、一般的には、例えば、小さな細胞培養用器材を用いて培養を開始した後、段階的に大きなスケールの細胞培養用器材を使用する、もしくは細胞培養用器材の数を増やして希釈操作を繰り返す等の方法により、大量のリンパ球を製造するのが現状である。このように、通常の細胞傷害性リンパ球の拡大培養では、複数

の培養系を必要とする。

本発明の方法により、少量の細胞量より開始された場合でも細胞培養用器材の大きさに関わらず、高い拡大培養率で培養を行うことができる。よって、従来のような面倒な細胞培養用器材や細胞培養液の交換、細胞培養液の希釈操作は不要となる。すなわち、本発明の方法によれば、1つの細胞培養用器材を用いた培養操作により、換言すれば、1つの培養系により、充分な細胞傷害性リンパ球の拡大培養を行なうことができる。よって、本発明の方法により、細胞培養液を希釈する工程を要しない細胞傷害性リンパ球の製造方法を実現することができる。特に、本発明の方法でLAK細胞を拡大培養する場合、大容量の細胞培養用器材にLAK細胞となり得る前駆細胞と培地を添加し、それ以降はIL-2を添加するのみでLAK細胞の拡大培養を行うことが可能である。簡便な操作で大量のLAK細胞を得ることができる点において、本発明は非常に有用である。この除、使用する本発明の有効成分としては、より高い拡大培養率を得るという観点から、好適にはフィブロネクチンフラグメントが使用できる。このように、本発明の方法によれば、短時間に必要量の細胞傷害性リンパ球を得ることができる。

例えば、細胞傷害性リンパ球の誘導、維持および拡大培養の少なくともいずれか1つを、本発明の有効成分の存在下、培地を含む細胞培養用器材中で低細胞数から開始する場合、培養開始時において、下記(a)および(b)から選択される条件を満たす低濃度もしくは低密度の細胞量を使用して行うことができる。

- (a)使用する細胞培養用器材における培養面積に対する細胞量の比率が、好適には $1 c e l l / c m^2 \sim 5 \times 10^5 c e l l s / c m^2$ 、より好適には $10 c e l l s / c m^2 \sim 1 \times 10^5 c e l l s / c m^2$ 、特に好適には $1 \times 10^2 c e l l s / c m^2 \sim 5 \times 10^4 c e l l s / c m^2$ である。
- (b) 培地中の細胞の濃度が、好適には1 c e l l / mL~5×10⁵ c e l l s / mL、より好適には10 c e l l s / mL~1×10⁵ c e l l s / mL、 特に好適には1×10² c e l l s / mL~5×10⁴ c e l l s / mLである

PCT/JP2004/012238

なお、ここで細胞量とは、細胞傷害性リンパ球および/または前駆細胞の個数 をいう。

また、本発明の方法においては、細胞培養液の希釈操作の工程を要しない、細胞傷害性リンパ球の誘導、維持および拡大培養の少なくともいずれか1つを1つの培養系で行なう方法が例示される。

さらに本発明の細胞傷害性リンパ球の製造方法の特徴として、高細胞数での培 養を行うことも可能となる。すなわち、細胞傷害性リンパ球の製造を培地を含む 細胞培養用器材中で行なう方法であって、培養途中に、少なくとも1回の、細胞 培養液を新鮮な培地で希釈する工程、培地を交換する工程、もしくは細胞培養用 器材を交換する工程を包含する場合、これらの工程直後の培養条件を高濃度(例 えば、細胞培養液中の細胞の濃度が2×10⁵ cells/mL~1×10⁸ c ells/mL、好適には2×10⁵ cells/mL~5×10⁷ cells /mL、さらに好適には2×10⁵ cells/mL~2×10⁷ cells/ m L) もしくは高密度(例えば、細胞培養液中の細胞数と細胞培養用器材におけ る培養面積との比率が1×10⁵ cells/cm²~1×10⁸ cells/ cm²、好適には1×10⁵ cells/cm²~5×10⁷ cells/cm ²、さらに好適には1×10⁵ cells/cm²~2×10⁷ cells/c m²) に設定した場合においても、本発明の方法は従来法と比較して、良好な拡 大培養率を実現することができる。通常の細胞傷害性リンパ球の拡大培養におい ては、培養開始時は細胞数を比較的高濃度もしくは高密度に設定されることが多 いが、細胞の増殖率が上がってくると細胞培養液中の細胞濃度や細胞培養用器材 中の細胞密度が低く設定される。本発明の高細胞数での培養とは、このような培 養途中における細胞濃度や細胞密度の設定時において細胞培養液中の細胞の濃度 が、2×10⁵ cells/mL~1×10⁸ cells/mL、もしくは細胞 培養液中の細胞数と細胞培養用器材における培養面積との比率が1×10⁵ c e

11s/cm² ~1×10⁸ cells/cm² という高濃度又は高密度な条件に設定される細胞傷害性リンパ球の製造をいう。なお、ここでいう細胞培養液を新鮮な培地で希釈する工程直後、培地を交換する工程直後、もしくは細胞培養用器材を交換する工程直後とは、培養開始時を包含するものではない。

このような高細胞数での培養が実施できる利点としては、使用する培地、血清・血漿等の培地添加物、細胞培養用器材、労力および培養スペースの削減が挙げられる。養子免疫療法では大量のリンパ球を必要とするため、使用される培地や細胞培養用器材が非常に多く必要となり、それに伴って大規模な培養スペースや多くの人員も必要となる。これらは養子免疫療法が普及する上で大きな課題となるものである。従って、本発明の方法はこのような課題を解決することができることから施設の設営、運営上、非常に有意義な発明である。

前述したとおり、本発明の方法は、低濃度もしくは低密度での細胞培養、高濃度もしくは高密度での細胞培養のいずれにも適用可能な方法であることから、本発明の方法を用いることにより、培養状況に応じてさまざまな細胞濃度もしくは細胞密度での細胞傷害性リンパ球の製造が可能となる。

また、本発明の方法においては、適切なフィーダ細胞と共培養することもできる。細胞傷害性リンパ球をフィーダ細胞と共培養する場合には、細胞傷害性リンパ球、フィーダ細胞の両者の維持、生育に適した培地であることが望ましい。当該培地としては、市販の培地が使用できる。

本発明の方法に使用されるフィーダ細胞は、抗CD3抗体と協同して細胞傷害性リンパ球を刺激し、T細胞レセプターを活性化するものであれば特に限定はない。本発明には、例えば、PBMCやエプスタインーバールウィルスによって形質転換されたB細胞(EBV-B細胞)が使用される。通常、フィーダ細胞は放射線照射のような手段で増殖能を奪ったうえで使用される。なお、フィーダ細胞の培地中における含有量は公知の方法に従って決定すればよく、例えば、 1×1 0 cells/mLが好適である。

PCT/JP2004/012238

特に好ましい態様においては、フィーダ細胞として、非ウィルス感染細胞、例えば、EBV-B細胞以外のものが使用される。これにより、拡大培養された細胞傷害性リンパ球中にEBV-B細胞が混在する可能性を排除することができ、養子免疫療法のような細胞傷害性リンパ球を利用した医療の安全性を高めることが可能となる。

また、本発明の方法においては、適切な抗原提示細胞と共培養することもできる。抗原提示細胞は、抗原提示能を有する細胞に抗原ペプチドを付加し、その表面に抗原ペプチドを提示させることにより調製することができる〔例えば、ベンドナレク M. A. ら(Bendnarek M. A., et al.)、J. Immunol.、第147巻、第12号、第4047~4053頁 (1991)を参照〕。また、抗原提示能を有する細胞が抗原を処理(process)する能力を有している場合には、当該細胞に抗原を負荷することにより、抗原が細胞内に取り込まれてプロセッシングを受け、断片化された抗原ペプチドが細胞表面に提示される。なお、抗原ペプチドを抗原提示能を有する細胞に付加する場合、使用される抗原提示細胞、誘導しようとする細胞傷害性リンパ球のMHC拘束性に合致する抗原ペプチドまたはMHC非拘束性の抗原ペプチドが使用される。

なお、本発明において使用される抗原は特に限定されるものではなく、例えば、細菌、ウィルスなどの外来性抗原や腫瘍関連抗原(癌抗原)などの内存性抗原等が挙げられる。

本発明においては、抗原提示細胞は非増殖性とすることが好ましい。細胞を非増殖性とするためには、例えばX線等の放射線照射またはマイトマイシン(mitomy cin)等の薬剤による処理を行えばよい。

本発明の製造方法によりLAK細胞を製造する場合、前記有効成分の存在下、 IL-2とともにLAK細胞となり得る前駆細胞をインキュベートすることにより実施される。LAK細胞となり得る前駆細胞としては、特に限定されるもので

はなく、例えば末梢血単核球(PBMC)、NK細胞、臍帯血単核球、造血幹細胞、これらの細胞を含有する血液成分等が挙げられる。

また、LAK細胞を培養するための一般的な条件は、上記の培地を使用する点を除いては、公知の条件〔例えば、細胞工学、Vol. 14、No. 2、p223~227、(1995年);細胞培養、17、(6)、p192~195、(1991年);THE LANCET、Vol. 356、p802~807、(2000);Current Protocols in Immunology, supplement 17, UNIT7.7を参照〕に従えばよい。培養条件には特に限定はなく、通常の細胞培養に使用される条件を使用することができ、例えば、37℃、5%CO2等の条件下で培養することができる。この培養は通常、2~15日程度実施される。また、適当な時間間隔で細胞培養液を希釈する工程、培地を交換する工程もしくは細胞培養用器材を交換する工程を行っても良い。

上記のLAK細胞の誘導、維持、拡大培養と同様に、フィブロネクチン、そのフラグメントまたはそれらの混合物の存在下に培養することにより、CTL、TILについても高い細胞傷害活性を有する細胞群を調製することができる。本発明においては、これらの細胞の活性化操作においてフィブロネクチン、そのフラグメントまたはそれらの混合物を共存させ、かつ培地中における血清及び血漿の総含有濃度が0容量%以上5容量%未満である培地を使用する他には特に限定はなく、前記細胞の培養、活性化に適した培地を使用して実施することができる。フィブロネクチン、そのフラグメントまたはそれらの混合物の使用量、添加方法等については前記方法に準じて適切なものを選択すればよい。

なお、本発明の細胞傷害性リンパ球の拡大培養方法については、前記有効成分が、当該方法に使用される培養系に存在しており、さらに培地中の血清及び血漿の総含有濃度が0容量%以上5容量%未満であれば特に限定は無く、上記以外の従来の細胞傷害性リンパ球の拡大培養方法において、その培養系に前記有効成分

を存在させて、さらに培地中の血清及び血漿の総含有濃度が0容量%以上5容量%未満であれば本発明に包含される。

本発明の方法により製造される細胞傷害性リンパ球を投与される疾患としては、特に限定はないが、例えば、癌、悪性腫瘍、肝炎や、インフルエンザ等のウィルス、細菌、カビが原因となる感染性疾患が例示される。また、後述のようにさらに外来遺伝子を導入した場合は、各種遺伝子疾患に対しても効果が期待される。また、本発明の方法により製造される細胞傷害性リンパ球は骨髄移植や放射線照射後の感染症予防を目的としたドナーリンパ球輸注等にも利用できる。

本発明の別の態様として、フィブロネクチン、そのフラグメントまたはそれらの混合物を有効成分として含有し、かつ培地中における血清及び血漿の総含有濃度が 0 容量%以上 5 容量%未満である細胞傷害性リンパ球培養用培地が提供される。当該培地は、さらにその他の任意の成分、たとえば、公知の細胞培養に用いられる培地成分、タンパク質、サイトカイン類(好適には I L - 2)、所望のその他の成分とからなる。なお、当該培地は、本発明の有効成分、および培地中の総含有濃度が 0 容量%以上 5 容量%未満となるように自己又は非自己の血清や血漿を用い、公知の方法に準じて製造することができる。当該培地中の本発明の有効成分等の含有量は、本発明の所望の効果が得られれば特に限定されるものではなく、例えば、本発明の方法に使用される前記培地中の有効成分等の含有量に準じて、所望により、適宜、決定することができる。本発明の培地の一態様としては、フィブロネクチン、そのフラグメントまたはそれらの混合物が固定化された細胞培養用担体を含有する培地、フィブロネクチン、そのフラグメントまたはそれらの混合物が固定化された細胞培養用担体を含有する培地、フィブロネクチン、そのフラグメントまたはそれらの混合物が固定化された

上記の細胞傷害性リンパ球の製造方法を用いて得られたリンパ球含有培養物中には、通常、ヘルパーT細胞等の細胞傷害性リンパ球以外の細胞も混在している。しかしながら、本発明により得られたリンパ球含有培養物中には細胞傷害活性

を保持するリンパ球が多く含まれているため、該培養物から遠心分離等により該培養物中の細胞を回収し、本発明の方法により得られた細胞傷害性リンパ球としてそのまま使用することができる。しかも、前記有効成分等を細胞培養用器材等に固定化しておけば、得られた細胞傷害性リンパ球における該成分等の混入の心配はない。

また、さらに該培養物から公知の方法により、細胞傷害性リンパ球を高含有する細胞集団(あるいは培養物)を分離し、本発明の方法により得られた細胞傷害性リンパ球として使用することもできる。すなわち、本発明の細胞傷害性リンパ球の製造方法は、当該方法により得られた培養物から細胞傷害性リンパ球を高含有する細胞集団を選択する工程を含むことができる。

細胞傷害性リンパ球を高含有する該細胞集団の選択方法については特に限定はないが、例えば培養物から所望の細胞表面上に発現している細胞表面抗原に対する抗体、例えば抗CD8抗体を結合させた細胞培養用器材もしくは担体を用いて目的の細胞のみを選択的に回収する方法や、フローサイトメーターを用いる方法が挙げられる。前記担体としては磁気ビーズやカラムが例示される。また、培養物から所望の細胞以外の細胞を吸着除去することにより、目的の細胞を高含有する細胞集団を得ることもできる。例えば、ヘルパーT細胞表面上に発現している細胞表面抗原に対する抗体、例えば抗CD4抗体を使用し、当該リンパ球培養物からヘルパーT細胞を除去することができる。この工程にはフローサイトメーターを用いることもできる。

さらに本発明は、上記の本発明の細胞傷害性リンパ球の製造方法で得られた、 細胞傷害性リンパ球を提供する。当該リンパ球は高い細胞傷害活性を有しており 、長期間にわたる継続培養や拡大培養を行っても細胞傷害活性の低下が少ないと いう性質を有する。また、本発明は、当該リンパ球を有効成分として含有する医 薬(治療剤)を提供する。特に、当該リンパ球を含有する前記治療剤は養子免疫 療法への使用に適している。養子免疫療法においては、患者の治療に適した細胞 傷害活性を有するリンパ球が、例えば静脈への投与によって患者に投与される。 当該治療剤は前述の疾患やドナーリンパ球輸注での使用において非常に有用である。当該治療剤は製薬分野で公知の方法に従い、例えば、本発明の方法により調製された当該リンパ球を有効成分として、たとえば、公知の非経口投与に適した有機または無機の担体、賦形剤、安定剤等と混合することにより調製できる。なお、治療剤における本発明のリンパ球の含有量、治療剤の投与量、当該治療剤に関する諸条件は公知の養子免疫療法に従って適宜、決定できる。

本発明の細胞傷害性リンパ球の製造方法においては、当該リンパ球に外来遺伝子を導入する工程をさらに包含することができる。すなわち、本発明は、その一態様として、細胞傷害性リンパ球に外来遺伝子を導入する工程をさらに含む細胞傷害性リンパ球の製造方法を提供する。なお、「外来」とは、遺伝子導入対象のリンパ球に対して外来であることをいう。

本発明の細胞傷害性リンパ球の製造方法、特に細胞傷害性リンパ球の拡大培養 方法を行うことにより、培養されるリンパ球の増殖能が増強される。よって、本 発明の細胞傷害性リンパ球の製造方法を、遺伝子の導入工程と組み合わせること により、遺伝子の導入効率の上昇が期待される。

外来遺伝子の導入手段には特に限定はなく、公知の遺伝子導入方法により適切なものを選択して使用することができる。遺伝子導入の工程は、細胞傷害性リンパ球の製造の際、任意の時点で実施することができる。例えば、前記リンパ球の誘導、維持および/または拡大培養のいずれかの工程と同時に、あるいは該工程の後に実施するのが、作業効率の観点から好適である。

前記の遺伝子導入方法としては、ウイルスペクターを使用する方法、該ベクターを使用しない方法のいずれもが本発明に使用できる。それらの方法の詳細についてはすでに多くの文献が公表されている。

前記ウイルスペクターには特に限定はなく、通常、遺伝子導入方法に使用される公知のウイルスペクター、例えば、レトロウイルスペクター、レンチウイルス

PCT/JP2004/012238

ベクター、アデノウイルスベクター、アデノ随伴ウイルスベクター、シミアンウイルスベクター、ワクシニアウイルスベクターまたはセンダイウイルスベクター等が使用される。特に好適には、ウイルスベクターとしては、レトロウイルス、アデノウイルス、アデノ随伴ウイルスまたはシミアンウイルスが使用される。上記ウイルスベクターとしては、感染した細胞中で自己複製できないように複製能を欠損させたものが好適である。

レトロウイルスベクターは、当該ベクターが導入される細胞の染色体DNA中に該ベクターに挿入されている外来遺伝子を安定に組み込むことができ、遺伝子治療等の目的に使用されている。当該ベクターは分裂、増殖中の細胞に対する感染効率が高いことから、本発明における、細胞傷害性リンパ球の製造工程、例えば、拡大培養の工程において遺伝子導入を行なうのに好適である。

ウイルスベクターを使用しない遺伝子導入方法としては、本発明を限定するものではないが、例えば、リポソーム、リガンドーポリリジンなどの担体を使用する方法やリン酸カルシウム法、エレクトロポレーション法、パーティクルガン法などを使用することができる。この場合にはプラスミドDNAや直鎖状DNAに組み込まれた外来遺伝子が導入される。

本発明において細胞傷害性リンパ球に導入される外来遺伝子には特に限定はなく、前記細胞に導入することが望まれる任意の遺伝子を選ぶことができる。このような遺伝子としては、例えば、タンパク質(例えば、酵素、サイトカイン類、レセプター類等)をコードするものの他、アンチセンス核酸やsiRNA(small interfering RNA)、リボザイムをコードするものが使用できる。また、遺伝子導入された細胞の選択を可能にする適当なマーカー遺伝子を同時に導入してもよい。

前記の外来遺伝子は、例えば、適当なプロモーターの制御下に発現されるよう にベクターやプラスミド等に挿入して使用することができる。また、効率のよい 遺伝子の転写を達成するために、プロモーターや転写開始部位と協同する他の調 節要素、例えば、エンハンサー配列やターミネーター配列がベクター内に存在していてもよい。また、外来遺伝子を相同組換えにより導入対象のリンパ球の染色体へ挿入することを目的として、例えば、該染色体における該遺伝子の所望の標的挿入部位の両側にある塩基配列に各々相同性を有する塩基配列からなるフランキング配列の間に外来遺伝子を配置させてもよい。導入される外来遺伝子は天然のものでも、または人工的に作製されたものでもよく、あるいは起源を異にするDNA分子がライゲーション等の公知の手段によって結合されたものであってもよい。さらに、その目的に応じて天然の配列に変異が導入された配列を有するものであってもよい。

本発明の方法によれば、例えば、がん等の患者の治療に使用される薬剤に対する耐性に関連する酵素をコードする遺伝子を細胞傷害性リンパ球に導入して該リンパ球に薬剤耐性を付与することができる。そのような細胞傷害性リンパ球を用いれば、養子免疫療法と薬剤療法とを組み合わせることができ、従って、より高い治療効果を得ることが可能となる。薬剤耐性遺伝子としては、例えば、多剤耐性遺伝子(multidrug resistance gene)が例示される。

一方、前記の態様とは逆に、特定の薬剤に対する感受性を付与するような遺伝子を細胞傷害性リンパ球に導入して、該薬剤に対する感受性を付与することもできる。かかる場合、生体に移植した後のリンパ球を当該薬剤の投与によって除去することが可能となる。薬剤に対する感受性を付与する遺伝子としては、例えば、チミジンキナーゼ遺伝子が例示される。

(3) CH-296Naについて

本発明においては、配列表の配列番号 25 に記載のアミノ酸配列(x)(CH -296 Na)、またはアミノ酸配列(x)において 1 もしくは複数個のアミノ酸が欠失、挿入、付加もしくは置換したアミノ酸配列(y)を有するポリペプチ

ドであって、アミノ酸配列(y)を有するポリペプチドがアミノ酸配列(x)を有するポリペプチドと同等な機能を有するものである、新規なポリペプチド、およびこれをコードする核酸も提供される。当該核酸としては、(1)配列番号26に記載の塩基配列からなるDNA(CH-296Naをコードする核酸)、(2)配列番号26に記載の塩基配列において1もしくは複数個の塩基が欠失、置換、挿入もしくは付加した塩基配列からなり、かつDNA(I)にコードされるポリペプチドと同等な機能を有するポリペプチドをコードするDNA、または(3)配列番号26に記載の塩基配列からなるDNAとストリンジェントな条件下でハイブリダイズし、かつDNA(I)にコードされるポリペプチドと同等な機能を有するポリペプチドをコードするDNAからなる核酸が例示される。

なお、本明細書において、前記新規なポリペプチドを本発明のポリペプチドと 称し、これをコードする核酸を本発明の核酸と称することがある。

以下、本発明のポリペプチド、該ポリペプチドをコードする核酸、該ポリペプチドの製造方法について説明する。

本発明のポリペプチドは、前述のような細胞傷害性リンパ球の製造において所望の機能〔前記(i)~(i v)の機能〕のいずれかを有するものであれば、上記アミノ酸配列において1ないし複数個の置換、欠失、挿入あるいは付加の1以上が生じた配列のものも本発明のポリペプチドに含まれる。CH-296Na以外の本発明のポリペプチドとしては、好適には配列表の配列番号25に記載のアミノ酸配列に1~20個のアミノ酸の置換、欠失、挿入あるいは付加のいずれか1以上が生じたもの、より好適には1~10個のアミノ酸の置換、欠失、挿入あるいは付加のいずれか1以上が生じたもの、さらに好適には1~5個のアミノ酸の置換、欠失、挿入あるいは付加のいずれか1以上が生じたものが例示される。なお、アミノ酸の置換等は、本来のポリペプチドの機能が維持され得る範囲内で該ポリペプチドの物理化学的性状等を変化させ得る程度のものであってもよい。その詳細、該ポリペプチドの作製法は前記の通りである。

本発明のポリペプチドをコードする配列表の配列番号26で表される核酸は血 漿由来のヒトフィプロネクチンをコードするcDNAを鋳型にPCR反応を行い 、CH-296NaをコードするDNA断片として取得することができる。この 際に使用されるプライマーとしては、特に限定はないが、例えば配列表の配列番 号27、28に記載されるPrimer CH-296Na1、Primer CH-296Na2を使用することができる。また、当該核酸としては、前述の FERM BP-2800(CH-296をコードするプラスミドを保有する大 腸菌)のプラスミドと、ネイティブの血漿由来のフィプロネクチンの細胞結合ド メインとヘパリン結合ドメインの間に存在する配列(第1図におけるIII型繰 り返し配列の11)を有するDNA断片を適当な制限酵素サイトを用いて結合す ることにより取得することができる。

また、本発明の核酸としては、配列表の配列番号26で表される核酸の塩基配列において、1ないし複数個の置換、欠失、挿入あるいは付加のいずれか1以上が生じたものも含まれる。例えば配列表の配列番号26に記載の塩基配列から1~60塩基の置換、欠失、挿入あるいは付加のいずれか1以上が生じたもの、より好適には1~30塩基の置換、欠失、挿入あるいは付加のいずれか1以上が生じたもの、さらに好適には1~15塩基の置換、欠失、挿入あるいは付加のいずれか1以上が生じたものが例示される。なお、塩基の置換等は、核酸にコードされるポリペプチドの機能が維持され得る範囲内で該ポリペプチドの物理化学的性状等を変化させ得る程度のものであってもよい。その詳細、塩基の置換等の方法については前記のアミノ酸の置換等に関する記載に準ずる。

さらに配列番号26に記載の塩基配列からなる核酸とストリンジェントな条件下でハイブリダイズし、本発明のポリペプチドと同等な機能、すなわち前述の細胞傷害性リンパ球の製造における前記(i)~(iv)の少なくともいずれかの機能を有するポリペプチドをコードする核酸も本発明の核酸に含まれる。上記「ストリンジェントな条件」とは特に限定されず、配列番号26に記載の塩基配列

からなるDNAにハイブリダイズさせるDNAに応じて、ハイブリダイゼーション時の、好ましくはさらに洗浄時の温度および塩濃度を適宜決定することにより設定し得るが、ストリンジェントな条件としては、例えば、モレキュラー クローニング ア ラボラトリー マニュアル 第3版〔サンブルーク(sambrook)ら、Molecular cloning,A laboratory manual 3rd edition、2001年、コールド スプリングハーバー ラボラトリー プレス(Cold Spring Harbor Laboratory Press)社発行〕等の文献に記載の条件が挙げられる

具体的には、例えば、 $6 \times SSC$ ($1 \times SSC$ は、0.15M NaC1、0.015M クエン酸ナトリウム、pH7.0)と0.5%SDSと $5 \times \%$ ンハルト $\{Denhardt's,0.1\%$ ウシ血清アルブミン(BSA)、0.1 %ポリビニルピロリドン、0.1%フィコール400)と 100μ g/mLサケ精子DNAとを含む溶液中、50%、好ましくは65%で保温する条件が例示される。前記の温度は用いるDNAのTm値が既知である場合は、その値より $5\sim12\%$ 低い温度としてもよい。さらに、非特異的にハイブリダイズしたDNAを洗浄により除去するステップ、ここで、より精度を高める観点から、より低イオン強度、例えば、 $2 \times SSC$ 、よりストリンジェントには、 $0.1 \times SSC$ 等の条件および/またはより高温、例えば、 π いられる核酸のTm値により異なるが、25%以上、よりストリンジェントには、37%以上、さらにストリンジェントには、42%以上、よりさらにストリンジェントには、50%以上等の条件下で洗浄を行なう、という条件等を追加してもよい。

より低いストリンジェンシーのハイブリダイゼーション条件で本発明のポリヌクレオチドにハイブリダイズする核酸分子もまた本発明に包含される。ハイブリダイゼーションのストリンジェンシーおよびシグナル検出の変化は、主として、ホルムアミド濃度(より低い百分率のホルムアミドが、低下したストリンジェン

シーを生じる)、塩濃度、または温度の操作によって行われる。例えば、より低いストリンジェンシー条件は、 $6\times SSPE$ ($20\times SSPE=3M$ NaCl; 0.2M NaH $_2PO_4$; 0.02M EDTA、pH7.4)、0.5% SDS、30%ホルムアミド、 100μ g/mLサケ精子プロッキングDNAを含む溶液中での37%での一晩インキュベーション;次いで $1\times SSPE$ 、0.1%SDSを用いた<math>50%での洗浄を含む。さらに、より低いストリンジェンシーを達成するために、ストリンジェントなハイブリダイゼーション後に行われる洗浄は、より高い塩濃度(例えば、 $5\times SSC$)で行うことができる。

上記の条件は、ハイブリダイゼーション実験においてバックグラウンドを抑制するために使用される代替的なブロッキング試薬を添加および/または置換することによって改変することができる。代表的なブロッキング試薬としては、デンハルト試薬、BLOTTO、ヘパリン、変性サケ精子DNA、および市販の製品処方物が挙げられる。また、この改変に応じて、上記のハイブリダイゼーション条件の他の要素の改変が必要な場合もある。

一方、このようにして得られた核酸を用いて、配列表の配列番号25で表されるアミノ酸配列を有するポリペプチドを遺伝子工学的に取得することができる。すなわち、当該核酸を適切な発現用ベクター、特に限定はないが、例えばpETベクターやpColdベクター等に挿入し、公知の方法により、当該ポリペプチドを、例えば、大腸菌等で発現させることにより取得することができる。

実施例

以下、実施例を挙げて、本発明を更に具体的に説明するが、本発明はこれらの 記載に何ら限定されるものではない。

製造例1 フィブロネクチンフラグメントの調製

(1) フィプロネクチンフラグメントの調製

ヒトフィブロネクチン由来のフラグメント H-271は、Escherichia coli HB101/pHD101(FERM BP-2264)より、米国特許第5、198、423号明細書に記載の方法により調製した。

また、ヒトフィブロネクチン由来のフラグメント H-296、CH-271、CH-296はそれぞれ、Escherichia coli HB101/pHD102(FERM BP-7420)、Escherichia coli HB101/pCH101(FERM BP-2799)、Escherichia coli chia coli HB101/pCH102(FERM BP-2800)を用い、これを上記の明細書に記載の方法で培養し、該培養物より調製した。

ヒトフィブロネクチン由来のフラグメント C-274は、Escherichia coli JM109/pTF7221(FERM BP-1915)を用い、これを米国特許第5, 102, 988号明細書に記載の方法で培養し、該培養物より調製した。

ヒトフィブロネクチン由来のフラグメント C-CS1は、Escheric hia coli HB101/pCS25 (FERM BP-5723) を用い、日本特許3104178号明細書に記載の方法で培養し、該培養物より調製した。

ヒトフィブロネクチン由来のフラグメント CHV-89、CHV-179は、それぞれEscherichia coli HB101/pCHV89(FERM P-12182)、Escherichia coli HB101/pCHV179(FERM P-12183)を用い、日本特許2729712号明細書に記載の方法で培養し、該培養物より調製した。

また、ヒトフィブロネクチン由来のフラグメント CHV-90は日本特許2729712号明細書に記載の方法で調製した。すなわち、当該明細書に記載の操作によってプラスミドpCHV90を構築したうえ、該プラスミドを保有する形質転換体を培養し、該培養物よりCHV-90を調製した。

ヒトフィプロネクチン由来のフラグメント CHV-181は、国際公開第97/18318号パンフレットに記載の方法で、CHV-181をコードするDNAを含有するプラスミド(pCHV181)を構築した後、該プラスミドを導入された大腸菌(Escherichia coli HB101/pCHV181)を培養し、該培養物より、上記のCHV-179と同様の方法で調製した

(2) CHV-92の調製

上記のポリペプチドCHV-181を発現させるためのプラスミド pCHV 181について、CHV-181をコードする領域中のIII-13領域をコードする領域を欠失したプラスミドCHV92を構築した。欠失操作は日本特許2729712号明細書に記載の、プラスミドpCHV179からのIII-14コード領域の欠失操作に準じて行った。

上記のプラスミドp CHV92で形質転換された大腸菌HB101 (Escherichia coli HB101/p CHV92)を培養し、該培養物より日本特許第2729712号明細書に記載のCHV-89ポリペプチドの精製方法に準じて精製操作を行い、精製CHV-92標品を得た。

(3) H-275-Cysの調製

ポリペプチドH-275-Cysを発現させるためのプラスミドは以下に示す操作に従って構築した。Escherichia coli HB101/pCH102(FERM BP-2800)よりプラスミドpCH102を調製した。このプラスミドを鋳型とし、配列表の配列番号21に塩基配列を示すプライマー12Sと配列表の配列番号22に塩基配列を示すプライマー14Aとを用いたPCRを行い、フィブロネクチンのヘパリン結合ドメインをコードする約0.8kbのDNA断片を得た。得られたDNA断片をNcol、BamHI(ともにタカラバイオ社製)で消化した後、Ncol、BamHIで消化したpTV118N(タカラバイオ社製)とライゲーションすることにより、プラスミドpRH

1を構築した。

プラスミドベクターpINIII-ompA、「グーライェプ」J.ら(Ghrayeb J., et al.)、EMBO J.、第3巻、第10号、第2437~2442頁(1984)〕をBamHIとHincII(タカラバイオ社製)とで消化し、リポプロテインターミネーター領域を含む約0.9kbのDNA断片を回収した。これをBamHIとHincIIで消化した上記のプラスミドpRH1と混合してライゲーションを行い、lacプロモーター、ヘパリン結合ドメインをコードするDNA断片およびリポプロテインターミネーターをこの順に含むプラスミドpRH1-Tを得た。

このプラスミド p R H 1 - Tを鋳型とし、配列表の配列番号 2 3 に塩基配列を示すプライマー C y s - S とを用いた P C R 反応の後、回収した増幅 D N A 断片を N o t I (タカラバイオ社製)で消化し、さらに該 D N A 断片を セルフライゲーションさせた。こうして得られた環状 D N A を S p e I と S c a I (タカラバイオ社製)とで消化して得られる 2.3 k b の D N A 断片と、プラスミド p R H 1 - Tを S p e I と S c a I (タカラバイオ社製)とで消化して得られる 2.5 k b の D N A 断片とを混合してライゲーションを行い、プラスミド p R H - C y s を得た。該プラスミドには、前記の H - 2 7 1 の N 末端側に M e t - A I a - A I a - S e r の 4 アミノ酸が付加され、さらに C 末端に C y s が付加されたポリペプチド H - 2 7 5 - C y s がコードされている。

ポリペプチドH-275-Cysは以下の方法により調製した。上記のプラスミドpRH-Cysで形質転換された大腸菌HB101(Escherichia coli HB101/pRH-Cys)を120mLのLB培地中、37℃で1晩培養した。培養液より回収した菌体を40mLの破砕用緩衝液(50mM Tris-HCl、1mM EDTA、150mM NaCl、1mM DTT、1mM PMSF、pH7.5)に懸濁し、超音波処理を行って菌体を破

砕した。遠心分離を行って得られた上清を精製用緩衝液($50\,\mathrm{mM}$ Tris-HCl、pH7. 5)で平衡化されたハイトラップーへパリンカラム(ファルマシア社製)にかけた。同緩衝液でカラム内の非吸着画分を洗浄した後、 $0\sim1\,\mathrm{M}$ NaCl 濃度勾配を持つ精製用緩衝液で溶出を行った。溶出液をSDS-ポリアクリルアミドゲル電気泳動で分析し、H-275-Cysの分子量に相当する画分を集めて精製H-275-Cys 標品を得た。

実施例1 低血清培地を用いたLAK細胞 (Lymphokine-activated killer cells) 培養系における拡大培養率の測定

(1) PBMCの分離および保存

インフォームド・コンセントの得られたヒト健常人ドナーより成分採血を実施後、採血液をPBS(一)で2倍希釈し、Ficollーpaque(ファルマシア社製)上に重層して500×gで20分間遠心分離した。中間層の末梢血単核細胞(PBMC)をピペットで回収、洗浄した。採取したPBMCは90%FBS(Bio Whittaker社製)/10%DMSO(SIGMA社製)からなる保存液に懸濁し、液体窒素中にて保存した。LAK誘導時にはこれら保存PBMCを37℃水浴中にて急速融解し、10 μ g/mL DNase(Calbiochem社製)を含むRPMI1640培地(Bio Whittaker社製)で洗浄後、トリパンブルー染色法にて生細胞数を算出して各実験に供した。

(2) 抗ヒトCD3抗体およびFNフラグメント固定化

以下の実験で使用する培養器材に抗ヒトCD3抗体およびFNフラグメントを固定化した。すなわち24穴細胞培養プレートまたは12.5 c m² 細胞培養フラスコ (Falcon社製) に抗ヒトCD3抗体 (ヤンセン協和社製) (終濃度 $5 \mu g/mL$)を含むPBSを1 mL (24穴プレートの場合) または2 mL (12.5 c m² フラスコの場合) ずつ添加した。この時、FNフラグメント添加

群には製造例 1 に記載の各フィブロネクチンフラグメント(FNfr)を終濃度 $10\mu \text{g/mL}$ (24穴プレートの場合)または $25\mu \text{g/mL}$ ($12.5cm^2$ フラスコの場合)となるように添加した。対照として、FNfrを添加しない 群も設定した。

これらの培養器材を室温で5時間インキュベート後、使用時まで4℃で保存した。使用直前にはこれらの培養器材から抗体・FNfrを含むPBSを吸引除去後、各ウェルをPBSで2回、XVIVO20培地(Bio whittake r社製)で1回洗浄し各実験に供した。

(3) LAK細胞の誘導および培養

1% h u m a n A B 血清を含む X V I V O 2 0(以下 1% X V I V O 2 0と略す)に1×10° cells/mLとなるように実施例1-(1)で調製したP B M C を懸濁後、実施例1-(2)で調製した抗ヒトC D 3 抗体固定化プレート、または抗ヒトC D 3 抗体およびF N f r 固定化プレートに1 m L / ウェルずつまき、終濃度1000 U / m L となるように I L - 2(塩野義製薬社製)を添加した。これらのプレートを5% C O 2中37℃で培養した(培養0日目)。培養開始後2日目、3日目には1000 U / m L の I L - 2を含む1% X V I V O 20を1 m L / ウェルずつ添加した。培養開始後4日目には適宜1% X V I V O 20を1 m L / ウェルずつ添加した。培養開始後4日目には適宜1% X V I V O 20を用いて希釈した培養液を何も固定化していない新しいフラスコに移し、終濃度500 U / m L となるよう I L - 2を添加した。培養を継続し、2~3日毎に培養開始4日目と同様に適宜1% X V I V O 20を用いて希釈し終濃度300~500 U / m L となるよう I L - 2を添加した。培養開始後11日目または15日目にトリパンブルー染色法にて生細胞数を計測し、培養開始時の細胞数と比較しての拡大培養率として算出した。結果を表1に示す。

-+-	-
35	- 1

血清濃度(%)	培養日数	フィブロネクチンフラグメント	拡大培養率
1	11日間	対照 (FNfr非固定化)	× 2 5 2
1	11日間	CH - 296	\times 6 7 0
1	11日間	H-296	×615.6
1	15日間	対照 (FNfr非固定化)	×403.2
1	15日間	CH - 296	×588
1	15日間	H-296	×708

表1に示されるように、低濃度の血清を含んだ培地を用いてのLAK細胞誘導初期に各フィブロネクチンフラグメントを固定化した培養器材を使用した群においては、対照群に比較してLAK細胞の拡大培養率が高い。このことから各フィブロネクチンフラグメントは低濃度の血清を含んだ培地を用いたLAK細胞培養時に好適に使用されることが明らかとなった。

実施例2 低血清培地を用いたLAK細胞培養系における拡大培養率の測定 (繰り返し刺激による拡大培養)

(1) LAK細胞の誘導および培養

0.5%または1%XVIVO20に1×10° cells/mLとなるように実施例1-(1)で調製したPBMCを懸濁後、実施例1-(2)で調製した抗ヒトCD3抗体固定化プレート、または抗ヒトCD3抗体およびFNfr固定化プレートに1mL/ウェルずつまき、終濃度1000U/mLとなるようにIL-2(塩野義製薬社製)を添加した。これらのプレートを5%CO2中37℃で培養した(培養0日目)。培養開始後2日目、3日目には1000U/mLのIL-2を含む0.5%または1%XVIVO20を1mL/ウェルずつ添加した。培養開始後4日目には適宜0.5%または1%XVIVO20を用いて希釈した培養液を何も固定化していない新しいフラスコに移し、終濃度500U/mLとなるようIL-2を添加した。培養開始9日目には実施例1-(2)と同様

の方法で調製した抗ヒトCD3抗体固定化フラスコ、または抗ヒトCD3抗体およびFNfr固定化フラスコ(ただし、固定化に用いる抗ヒトCD3抗体の濃度は 0.5μ g/mLとした)に適宜0.5%または1%XVIVO20を用いて希釈した培養液を移し、終濃度500U/mLとなるようIL-2を添加した。培養開始12日目に再度適宜0.5%または1%XVIVO20を用いて希釈した培養液を何も固定化していない新しいフラスコに移し、終濃度500U/mLとなるようIL-2を添加した。培養開始15日目にトリパンブルー染色法にて生細胞数を計測し、培養開始時の細胞数と比較しての拡大培養率として算出した。結果を表2に示す。

-	•
~~	

血清濃度 (%)	フィブロネクチン フラグメント	培養開始 0 日目 刺激	培養開始9日目 刺激	拡大培養率 (倍率)
0. 5	対照 (FNfr非固定化)	抗CD3	なし	× 1 3
0.5	FNfr非固定化	抗CD3	抗CD3	×88 .
0.5	CH - 296	抗CD3+CH-296	抗CD3+CH-296	\times 4 1 0
1	対照 (FNfr非固定化)	抗CD3	なし	×403
1	FNfr非固定化	抗CD3	抗CD3	\times 1 6 2 4
1 .	CH - 296	抗CD3+CH-296	なし	×588
1	CH - 296	抗CD3+CH-296	抗CD3+CH-296	\times 3 5 6 0
1	H - 296	抗CD3+H-296	なし	\times 7 0 8
1	H - 296	抗CD3+H-296	抗CD3+H-296	\times 3 0 0 0

表2に示されるように、低濃度の血清を含んだ培地を用いてのLAK細胞誘導時初期および中期に繰り返し各フィブロネクチンフラグメントおよび抗CD3抗体を固定化した培養器材を使用した群においては、対照群に比較してLAK細胞の拡大培養率が高い。これらの拡大培養率は、LAK細胞誘導時初期および中期に繰り返し抗CD3抗体のみを固定化した培養器材を使用した群における拡大培養率よりもはるかに高いものであった。すなわちLAK細胞誘導初期および中期にフィブロネクチンフラグメントおよび抗CD3抗体を用いて刺激することにより、低濃度の血清を含んだ培地を用いた場合でも高い拡大培養率でLAK細胞を

誘導・培養することが可能であることが明らかとなった。

実施例3 低血清培地を用いたLAK細胞培養系におけるIL-2レセプター(IL-2R)発現の誘導

(1) LAK細胞の誘導および培養

実施例2-(1)と同様の方法でLAK細胞を誘導・培養した。

(2) LAK細胞におけるIL-2R発現率の測定

実施例3-(1)で調製した2×10⁵ cellsのLAK細胞を1%パラホルムアルデヒド(ナカライテスク社製)を含むPBS(ニッスイ社製)を用いて固定した後、PBSで洗浄した。固定細胞を1%BSA(SIGMA社製)を含む100μLのPBS中に懸濁し、FITC標識マウスIgG1もしくはFITC標識マウス抗ヒトIL-2R(CD25)抗体(ともにDAKO社製)を添加後、氷上で30分間インキュベートした。インキュベート後、細胞をPBSで洗浄し、再度1%パラホルムアルデヒドを含むPBSに懸濁した。この細胞をFACS Vantage(ベクトン・ディッキンソン社製)を用いたフローサイトメトリーに供し、IL-2R発現陽性細胞含有率を測定した。結果を表3に示す。かかる表ではIL-2R発現陽性細胞含有率(%)をIL-2R発現率(%)と表示する。

表 3

血清濃度	フィブロネクチン	培養開始 0 日	培養開始9日	IL-2R発現率
(%)	フラグメント	目刺激	目刺激	(%)
0.5	対照 (FNfr非固定化)	抗CD3	なし	3. 48
0.5	FNfr非固定化	抗CD3	抗CD3	43.22
0.5	CH - 296	抗CD3+CH-296	抗CD3+CH-296	81.11
0.5	H - 296	抗CD3+H-296	抗CD3+H-296	71.49
1	対照(FNfr非固定化)	抗CD3	なし	8. 0 2
ļ	FNfr非固定化	抗CD3	抗CD3	42.8
1	CH - 296	抗CD3+CH-296	抗CD3+CH-296	77.94
1	H-296	抗CD3+H-296	抗CD3+H-296	70.29

表3に示されるように、低濃度の血清を含んだ培地を用いてのLAK細胞誘導初期および中期に各フィブロネクチンフラグメントを固定化した培養器材を使用した群においては、培養中のLAK細胞表面上におけるIL-2R発現率を高く誘導することができた。すなわち低濃度の血清を含んだ培地を用いてLAK細胞を誘導する際にフィブロネクチンフラグメントを共存させることにより、IL-2R発現率を高くしながらLAK細胞を誘導・培養することが可能であることが明らかとなった。

実施例4 低血清培地を用いたLAK細胞集団中におけるCD8陽性細胞含有比率

(1) LAK細胞の誘導および培養

実施例2-(1)と同様の方法でLAK細胞を誘導・培養した。

(2) LAK細胞におけるCD8陽性細胞集団含有比率の測定

実施例4-(1)で調製した 2×10^5 cellsのLAK細胞を1%% パラホルムアルデヒドを含むPBSを用いて固定した後、PBSで洗浄した。固定細胞を1%BSAを含む 100μ LのPBS中に懸濁し、FITC標識マウスIgG 1もしくはFITC標識マウス抗ヒトCD8抗体(ともにDAKO社製)を添加後、氷上で30%間インキュベートした。インキュベート後、細胞をPBSで洗浄し、再度1%%パラホルムアルデヒドを含むPBSに懸濁した。この細胞をFACS Vantageを用いたフローサイトメトリーに供し、CD8陽性細胞の含有率を測定した。結果を表4に示す。

-	- 4
4.	7

血清濃度	フィプロネクチン	培養開始0日	培養開始9日	CD8陽性細胞
(%)	フラグメント	目刺激	目刺激	含有率(%)
0.5	対照 (FNfr非固定化)	抗CD3	抗CD3	26.95
0.5	CH-296	抗CD3+CH-296	抗CD3+CH-296	44.67_
1	対照 (FNfr非固定化)	抗CD3	なし	53.26
1	FNfr非固定化	抗CD3	抗CD3	35.56
1	CH - 296	抗CD3+CH-296	なし	61.29
1	CH-296	抗CD3+CH-296	抗CD3+CH-296	62.58

表4に示されるように、低濃度の血清を含んだ培地を用いてのLAK細胞誘導 初期または初期および中期に各フィブロネクチンフラグメントを固定化した培養 器材を使用した群においては、培養中のLAK細胞中におけるCD8陽性細胞含 有率を高く誘導することができた。すなわち低濃度の血清を含んだ培地を用いて LAK細胞を誘導する際にフィブロネクチンフラグメントを共存させることによ り、LAK細胞中のCD8陽性細胞の含有率を高くしながらLAK細胞を誘導・ 培養することが可能であることが明らかとなった。

実施例5 無血清培地を用いたLAK細胞培養系における拡大培養率の測定 (1) LAK細胞の誘導および培養

血清を含まないXVIVO20(以下0%XVIVO20と略す)に1×10 cells/mLとなるように実施例1-(1)で調製したPBMCを懸濁後、実施例1-(2)で調製した抗ヒトCD3抗体固定化プレート、または抗ヒトCD3抗体およびFNfr固定化プレートに1mL/ウェルずつまき、終濃度1000U/mLとなるようにIL-2を添加した。これらのプレートを5%CO2中37℃で培養した(培養0日目)。培養開始後2日目、3日目には1000U/mLのIL-2を含む0%XVIVO20を1mL/ウェルずつ添加した。培養開始後4日目には適宜0%XVIVO20を用いて希釈した培養液を何も固定化していない新しいフラスコに移し、終濃度500U/mLとなるようIL-

2を添加した。培養を継続し、2~3日毎に培養開始4日目と同様に適宜0%X VIVO20を用いて希釈し終濃度300~500U/mLとなるようIL-2 を添加した。培養開始後11日目または15日目にトリパンブルー染色法にて生 細胞数を計測し、培養開始時の細胞数と比較しての拡大培養率として算出した。 結果を表5に示す。

表 5

血清濃度(%)	培養日数	フィプロネクチンフラグメント	拡大培養率 (倍率)
0	11日間	対照 (FNfr非固定化)	3 6
0	11日間	CH - 296	103.7
0	15日間	対照 (FNfr非固定化)	76.3
0	15日間	CH-296	134.6
0	15日間	対照 (FNfr非固定化)	28.8
0	15日間	H-296	46.8

表5に示されるように、血清を含まない培地を用いてのLAK細胞誘導初期に各フィブロネクチンフラグメントを固定化した培養器材を使用した群においては、対照群に比較してLAK細胞の拡大培養率が高い。このことから各フィブロネクチンフラグメントは血清を含まない培地を用いたLAK細胞培養時に好適に使用されることが明らかとなった。

実施例 6 無血清培地でのLAK細胞培養系における拡大培養率の測定(繰り返し刺激による拡大培養)

(1) LAK細胞の誘導および培養

 $0\%XVIVO20に1×10^6$ cells/mLとなるように実施例1-(1)で調製したPBMCを懸濁後、実施例1-(2)で調製した抗ヒトCD3抗体固定化プレート、または抗ヒトCD3抗体およびFNfr固定化プレートに1mL/ウェルずつまき、終濃度1000U/mLとなるようにIL-2を添加した。これらのプレートを5%CO。中37℃で培養した(培養0日目)。培養開

始後2日目、3日目には1000U/mLのIL-2を含む0%XVIVO20を1mL/ウェルずつ添加した。培養開始後4日目には適宜0%XVIVO20を用いて希釈した培養液を何も固定化していない新しいフラスコに移し、終濃度500U/mLとなるようIL-2を添加した。培養開始9日目には実施例1-(2)と同様の方法で調製した抗ヒトCD3抗体固定化フラスコ、または抗ヒトCD3抗体およびFNfr固定化フラスコ(ただし、固定化に用いる抗ヒトCD3抗体の濃度は0.5 μ g/mLとした)に適宜0%XVIVO20を用いて希釈した培養液を移し、終濃度500U/mLとなるようIL-2を添加した。培養開始12日目に再度適宜0%XVIVO20を用いて希釈した培養液を何も固定化していない新しいフラスコに移し、終濃度500U/mLとなるようIL-2を添加した。培養開始15日目にトリパンプルー染色法にて生細胞数を計測し、培養開始時の細胞数と比較しての拡大培養率として算出した。結果を表6に示す。

#	
- ₹	n
	$\mathbf{}$

血清濃度 (%)	フィブロネクチン フラグメント	培養開始 0 日目 刺激	培養開始9日目 刺激	拡大培養率 (倍率)
0	対照 (FNfr非固定化)	抗CD3	なし	× 2 9
0	FNfr非固定化	抗CD3	抗CD3	\times 3 6
0	CH - 296	抗CD3+CH-296	なし	× 5 6
0	CH - 296	抗CD3+CH-296	抗CD3+CH-296	\times 1 9 9
0	H - 296	抗CD3+H-296	なし	\times 4 7
0	H - 296	抗CD3+H-296	抗CD3+H-296	\times 2 0 9

表6に示されるように、血清を含まない培地を用いてのLAK細胞誘導時初期 および中期に繰り返し各フィブロネクチンフラグメントおよび抗CD3抗体を固 定化した培養器材を使用した群においては、対照群に比較してLAK細胞の拡大 培養率が高い。これらの拡大培養率は、LAK細胞誘導時初期および中期に繰り 返し抗CD3抗体のみを固定化した培養器材を使用した群における拡大培養率よ りもはるかに高いものであった。すなわちLAK細胞誘導初期および中期にフィ

プロネクチンフラグメントおよび抗CD3抗体を用いて刺激することにより、血 清を含まない培地を用いた場合でも高い拡大培養率でLAK細胞を誘導・培養す ることが可能であることが明らかとなった。

実施例7 無血清培地を用いたLAK細胞培養系におけるIL-2R発現の誘導

(1) LAK細胞の誘導および培養

実施例6-(1)と同様の方法でLAK細胞を誘導・培養した。

(2) LAK細胞におけるIL-2R発現率の測定

実施例3-(2)と同様の方法で、IL-2R発現陽性細胞含有率を測定した。結果を表7に示す。かかる表ではIL-2R発現陽性細胞含有率(%)をIL-2R発現率(%)と表示する。

表 7

?発現率

表7に示されるように、血清を含まない培地を用いてのLAK細胞誘導初期および中期に各フィブロネクチンフラグメントを固定化した培養器材を使用した群においては、培養中のLAK細胞表面上におけるIL-2R発現率を高く誘導することができた。すなわち血清を含まない培地を用いてLAK細胞を誘導する際にフィブロネクチンフラグメントを共存させることにより、IL-2R発現率を高くしながらLAK細胞を誘導・培養することが可能であることが明らかとなった。

実施例8 無血清培地(AIM V)を用いたLAK細胞培養系における拡大培養率の測定

(1) LAK細胞の誘導および培養

実施例5-(1)と同様の方法でLAK細胞を誘導・培養した。ただし、この際使用する培地を血清を含まないAIM V培地(インビトロジェン社製、以下0%AIM Vと略す)に変更した。結果を表8に示す。

-4-	\sim
7 7	×

24 0			
血清濃度・培地	培養日数	フィブロネクチンフラグメント	拡大培養率(倍率)
0%AIM V	12日間	対照 (FNfr非固定化)	× 2 1
0%AIM V	12日間	CH-296	×110
0%AIM V	15日間	対照 (FNfr非固定化)	× 4 4
0%AIM V	15日間	CH-296	×498
0%AIM V	12日間	対照(FNfr非固定化)	増殖せず測定不能
0%AIM V	12日間	H-296	× 3 3
0%AIM V	15日間	対照 (FNfr非固定化)	増殖せず測定不能
0%AIM V	15日間	H-296	× 2 4 5

表8に示されるように、血清を含まない培地を用いてのLAK細胞誘導初期に各フィブロネクチンフラグメントを固定化した培養器材を使用した群においては、対照群に比較してLAK細胞の拡大培養率が高い。またこの効果は無血清培養用の基本培地を変えても発揮される。このことから各フィブロネクチンフラグメントは血清を含まない培地を用いたLAK細胞培養時に好適に使用されることが明らかとなった。

実施例9 無血清培地でのLAK細胞培養系における拡大培養率の測定(低細胞数からのLAK細胞誘導・培養/希釈操作なしでの培養)

(1) LAK細胞の誘導および培養

XVIVO20(血清を含まない)に 1×10^5 cells/mLとなるように実施例1-(1) で調製したPBMCを懸濁後、実施例1-(2) と同様の方

法で調製した抗ヒトCD3抗体固定化プレート、または抗ヒトCD3抗体および FNfr固定化6ウェルプレートに1mL/ウェルずつまき、XVIVO20(血清を含まない) 4mLを加え(1×10^4 cells/cm²)、さらに終 濃度500U/mLとなるようにIL-2を添加した。これらのプレートを5% CO_2 中37℃で培養した(培養0日目)。培養開始後2日目、3日目、4日目には終濃度500U/mLとなるようにIL-2を添加した。培養を継続し、培養開始後7日目以降 $2\sim3$ 日毎に終濃度500U/mLとなるようIL-2を添加した。この間培養液の希釈操作は全く行わなかった。

培養開始後15日目にトリパンブルー染色法にて生細胞数を計測し、培養開始 時の細胞数と比較しての拡大培養率を算出した。結果を表9に示す。

表 9

培養日数	フィプロネクチンフラグメント	拡大培養率 (倍率)
15日間	対照 (FNfr非固定化)	増殖しないため測定不可能
15日間	CH-296	×64.3

表9に示されるように、低細胞数からのLAK細胞誘導時に各フィブロネクチンフラグメントを固定化した培養器材を使用した群においては、誘導途中の細胞の希釈操作を必要とすることなしに培養開始後15日目に高い拡大培養率が得られた。これに対して対照群では培養開始15日目でもほとんど増殖しなかった。すなわち無血清培地を用いて低細胞数からLAK細胞を誘導する際にフィブロネクチンフラグメントを共存させることにより、全く希釈操作を必要とすることなく、高い拡大培養率でLAK細胞を誘導・培養することが可能であることが明らかとなった。

実施例10 無血清培地を用いたLAK細胞培養系におけるIL-2R発現の誘導(低細胞数からのLAK細胞誘導・培養/希釈操作なしでの培養)

(1) LAK細胞の誘導および培養

実施例9-(1)と同様の方法でLAK細胞を誘導・培養した。

(2) LAK細胞におけるIL-2R発現率の測定

実施例 3-(2) と同様の方法で、IL-2R 発現陽性細胞含有率を測定した。結果を表10に示す。かかる表ではIL-2R 発現陽性細胞含有率(%)をIL-2R 発現率(%)と表示する。

表10

培養日数	フィブロネクチンフラグメント	IL-2R発現率(%)
15日間	対照 (FNfr非固定化)	増殖しないため測定不可能
15日間	CH-296	98.0

表10に示されるように、低細胞数からのLAK細胞誘導時に各フィブロネクチンフラグメントを固定化した培養器材を使用した群においては、誘導途中の細胞の希釈操作を必要とすることなしに培養中のLAK細胞表面上におけるIL-2R発現率を高く誘導することができた。すなわち無血清培地を用いて低細胞数からLAK細胞を誘導する際にフィブロネクチンフラグメントを共存させることにより、全く希釈操作を必要とすることなく、IL-2R発現率を高くしながらLAK細胞を誘導・培養することが可能であることが明らかとなった。

実施例11 無血清培地 (AIM V) を用いて培養したLAK細胞集団中におけるCD8陽性細胞含有比率

(1) LAK細胞の誘導および培養

実施例8-(1)と同様の方法でLAK細胞を誘導・培養した。

(2) LAK細胞におけるCD8陽性細胞集団含有比率の測定

実施例4-(2)と同様の方法でCD8陽性細胞の含有率を測定した。結果を表11に示す。

表11

血清濃度・培地	フィブロネクチンフラグメント	CD8陽性細胞含有率(%)
0%AIM V	対照 (FNfr非固定化)	24.7
0%AIM V	CH - 296	45.8
0%AIMV	H-296	62.6

表11に示されるように、血清を含まない培地を用いてのLAK細胞誘導初期に各フィブロネクチンフラグメントを固定化した培養器材を使用した群においては、培養中のLAK細胞中におけるCD8陽性細胞含有率を高く誘導することができた。すなわち血清を含まない培地を用いてLAK細胞を誘導する際にフィブロネクチンフラグメントを共存させることにより、LAK細胞中のCD8陽性細胞の含有率を高くしながらLAK細胞を誘導・培養することが可能であることが明らかとなった。

実施例12 低血清培地 (AIM V) を用いたLAK細胞培養系における拡大 培養率の測定

(1) LAK細胞の誘導および培養

実施例1-(3) と同様の方法でLAK細胞を誘導・培養した。ただし、この際使用する培地を1%または5% h u m a n A B 血清を含むA I M V ප地(以下、1% A I M V または5% A I M V と略す)に変更した。結果を表 12 に示す。

寒	1	2
73	1	_

A 1 L			
血清濃度・培地	培養日数	フィブロネクチンフラグメント	拡大培養率(倍率)
1%AIM V	11日間	対照(FNfr非固定化)	× 7
1%AIM V	11日間	CH-296	×156
1%AIM V	11日間	H - 296	×39
1%AIM V	15日間	対照 (FNfr非固定化)	× 3
1%AIM V	15日間	CH-296	\times 6 5 1
1 % A I M V	15日間	H - 296	× 3 0 5
5%AIM V	11日間	対照 (FNfr非固定化)	× 4 5 4
5%AIM V	11日間	CH-296	×1087
5%AIM V	11日間	H - 296	× 7 2 7
5 % A I M V	15日間	対照 (FNfr非固定化)	×778
5%AIM V	15日間	CH-296	×1548
5%AIM V	15日間	H-296	×882

表12に示されるように、低濃度の血清を含んだ培地(AIM V)を用いてのLAK細胞誘導初期に各フィブロネクチンフラグメントを固定化した培養器材を使用した群においては、対照群に比較してLAK細胞の拡大培養率が高い。このことから各フィブロネクチンフラグメントは低濃度の血清を含んだAIM V 培地を用いたLAK細胞培養時に好適に使用されることが明らかとなった。

実施例13 種々の低血清培地を用いたLAK細胞培養系における拡大培養率の効果

(1) LAK細胞の誘導および培養

実施例1-(3)と同様の方法でLAK細胞を誘導・培養した。ただし、この際使用する培地を1%humanAB血清を含むXVIVO20培地・XVIVO10培地またはAIM V培地(以下それぞれ1%XVIVO20・1%XVIVO10または1%AIM Vと略す)に変更し、各培地における拡大培養率を測定した。結果を表13に示す。

表13

2-0			
血清濃度・培地	培養日数	フィブロネクチンフラグメント	拡大培養率(倍率)
1 % X V I V O 2 0	11日間	対照 (FNfr非固定化)	× 4 9
1 % X V I V O 2 0	11日間	CH-296	× 1 5 3
1%AIM V	11日間	対照 (FNfr非固定化)	× 7 9
1%AIM V	11日間	CH-296	×832
1 % X V I V O 2 0	15日間	対照 (FNfr非固定化)	× 2 7 2
1 % X V I V O 2 0	15日間	CH-296	× 5 1 3
1%XVIVO10	15日間	対照 (FNfr非固定化)	×113
1 % X V I V O 1 0	15日間	CH-296	× 1 6 2
1%AIM V	15日間	対照 (FNfr非固定化)	× 7 4 4
1%AIM_V	15日間	CH-296	×8928

表13に示されるように、低濃度の血清を含んだ培地を用いてのLAK細胞誘導初期に各フィブロネクチンフラグメントを固定化した培養器材を使用した群においては、対照群に比較してLAK細胞の拡大培養率が高い。またこの効果は基本培地を変えても発揮される。このことから各フィブロネクチンフラグメントは低濃度の血清を含んだいずれの培地を用いたLAK細胞培養時にも好適に使用されることが明らかとなった。

実施例14 低血清培地を用いたLAK細胞培養系における拡大培養率の測定 (1) LAK細胞の誘導および培養

実施例1-(3)と同様の方法でLAK細胞を誘導・培養した。ただし、この際使用する培地を0.2% humanAB血清を含むXVIVO20培地に変更した。結果を表14に示す。

表14

血清濃度・培地	培養日数	フィプロネクチン フラグメント	拡大培養率 (倍率)
0. 2%XVIVO20	15日間	対照 (FNfr非固定化)	×11
0. 2%XVIVO20	15日間	CH-296	× 6 7

表14に示されるように、低濃度 (0.2%) の血清を含んだ培地 (XVIV O20) を用いてのLAK細胞誘導初期に各フィブロネクチンフラグメントを固定化した培養器材を使用した群においては、対照群に比較してLAK細胞の拡大培養率が高い。このことから各フィブロネクチンフラグメントは低濃度の血清を含んだ培地を用いたLAK細胞培養時に好適に使用されることが明らかとなった

実施例15 低血清培地を用いたLAK細胞培養系における拡大培養率の測定 (繰り返し刺激による拡大培養)

(1) LAK細胞の誘導および培養

実施例2-(1)と同様の方法でLAK細胞を誘導・培養した。この際使用する培地を0.2%humanAB血清を含むXVIVO20培地または1%humanAB血清を含むXVIVO10に変更した。結果を表15に示す。

-	-	_
_	- 1	-

血清濃度・培地	フィプロネクチン	培養開始0日	培養開始9日目	拡大培養率
	フラグメント	目刺激	刺激	(倍率)
0. 2%XVIV020	対照 (FNfr非固定化)	抗CD3	なし	× 1 1
0. 2%XVIV020	FNfr非固定化	抗CD3	抗CD3	× 9
0. 2%XVIV020	CH - 296	抗CD3+CH-296	抗CD3+CH-296	×86
1%XVIV010	対照 (FNfr非固定化)	抗CD3	なし	×113
1%XVIV010	FNfr非固定化	抗CD3	抗CD3	\times 2 8 1
1%XVIV010	CH - 296	抗CD3+CH-296	抗CD3+CH-296	\times 1 2 8 2
1%XVIV010	対照 (FNfr非固定化)	抗CD3	なし	× 2 4
1%XVIV010	FNfr非固定化	抗CD3	抗CD3	\times 3 6 7
1%XVIV010	CH - 296	抗CD3+CH-296	抗CD3+CH-296	\times 1 0 3 0
1%XVIV010	H-296	抗CD3+H-296	抗CD3+H-296	×1001

表15に示されるように、低濃度の血清(0.2%)を含んだ培地を用いての LAK細胞誘導時初期および中期に繰り返し各フィブロネクチンフラグメントお よび抗CD3抗体を固定化した培養器材を使用した群においては、対照群に比較

してLAK細胞の拡大培養率が高い。これらの拡大培養率は、LAK細胞誘導時初期および中期に繰り返し抗CD3抗体のみを固定化した培養器材を使用した群における拡大培養率よりもはるかに高いものであった。またこの効果は基本培地を変えても発揮される。すなわちLAK細胞誘導初期および中期にフィブロネクチンフラグメントおよび抗CD3抗体を用いて刺激することにより、低濃度の血清を含んだ培地を用いた場合でも高い拡大培養率でLAK細胞を誘導・培養することが可能であることが明らかとなった。

実施例16 低血清培地を用いたLAK細胞培養系におけるIL-2レセプター (IL-2R)発現の誘導

(1) LAK細胞の誘導および培養

実施例2-(1)と同様の方法でLAK細胞を誘導・培養した。この際使用する培地を0.2%humanAB血清を含むXVIVO20培地または1%humanAB血清を含むXVIVO10に変更した。

(2) LAK細胞におけるIL-2R発現率の測定

実施例 3-(2) と同様の方法で、IL-2R 発現陽性細胞含有率を測定した。結果を表 16 に示す。かかる表ではIL-2R 発現陽性細胞含有率(%)をIL-2R 発現率(%)と表示する。

表16

血清濃度・培地	フィブロネクチン フラグメント	培養開始 0 日 目刺激	培養開始9日 目刺激	IL-2R 発現率 (%)
0. 2%XVIV020 0. 2%XVIV020	対照 (FN f r 非固定化) FN f r 非固定化	抗CD3 抗CD3	なし 抗CD3	3. 0 1 5 9. 0 8
0. 2%XVIV020 1%XVIV010	CH-296 対照 (FNfr非固定化)	抗CD3+CH-296 抗CD3	抗CD3+CH-296	77.88
1%XVIV010	FNfr非固定化	抗CD3	なし 抗CD3	13.77 58.28
1%XVIV010	CH-296	抗CD3+CH-296	抗CD3+CH-296	91.11

表16に示されるように、低濃度の血清を含んだ培地を用いてのLAK細胞誘導初期および中期に各フィブロネクチンフラグメントを固定化した培養器材を使用した群においては、培養中のLAK細胞表面上におけるIL-2R発現率を高く誘導することができた。またこの効果は基本培地を変えても発揮される。すなわち低濃度の血清を含んだ培地を用いてLAK細胞を誘導する際にフィブロネクチンフラグメントを共存させることにより、IL-2R発現率を高くしながらLAK細胞を誘導・培養することが可能であることが明らかとなった。

実施例17 低血清培地を用いたLAK細胞集団中におけるCD8陽性細胞含有 比率

(1) LAK細胞の誘導および培養

実施例1-(3)と同様の方法でLAK細胞を誘導・培養した。この際使用する培地を0.2%もしくは1%humanAB血清を含むXVIVO20培地または1%humanAB血清を含むXVIVO10に変更した。

(2) LAK細胞におけるCD8陽性細胞集団含有比率の測定

実施例4-(2)と同様の方法でCD8陽性細胞の含有率を測定した。結果を表17に示す。

-	-	~
7 ₹	-1	- /

20.1		
血清濃度・培地	フィプロネクチンフラグメント	CD8陽性細胞含有率(%)
0. 2% X V I V O 2 0	対照 (FNfr非固定化)	50.9
0.2%XVIVO20	CH-296	70.9
1 % X V I V O 2 0	対照 (FNfr非固定化)	36.2
1 % X V I V O 2 0	CH - 296	53.6
1 % X V I V O 2 0	H-296	50.6
1%XVIVO10	対照 (FNfr非固定化)	19.9
1 % X V I V O 1 0	CH - 296	45.5
1 % X V I V O 1 0	H-296	53.6.

表17に示されるように、低血清を含む培地を用いてのLAK細胞誘導初期に

各フィブロネクチンフラグメントを固定化した培養器材を使用した群においては、培養中のLAK細胞中におけるCD8陽性細胞含有率を高く誘導することができた。またこの効果は基本培地を変えても発揮された。すなわち低濃度の血清を含む培地を用いてLAK細胞を誘導する際にフィブロネクチンフラグメントを共存させることにより、LAK細胞中のCD8陽性細胞の含有率を高くしながらLAK細胞を誘導・培養することが可能であることが明らかとなった。

実施例18 低血清培地を用いたLAK細胞集団中におけるCD8陽性細胞含有 比率(繰り返し刺激による拡大培養)

(1) LAK細胞の誘導および培養

実施例2-(1)と同様の方法でLAK細胞を誘導・培養した。この際使用する培地を0.2%humanAB血清を含むXVIVO20培地または1%humanAB血清を含むXVIVO10に変更した。

(2) LAK細胞におけるCD8陽性細胞集団含有比率の測定

実施例4-(2)と同様の方法でCD8陽性細胞の含有率を測定した。結果を表18に示す。

表18

血清濃度・培地	フィプロネクチン フラグメント	培養開始 0 日 目刺激	培養開始9日 目刺激	CD8陽性細 胞含有率 (%)
0. 2%XVIVO20	対照(FNfr非固定化)	抗CD3	抗CD3	38.9
0. 2%XVIV020	CH - 296	抗CD3+CH-296	抗CD3+CH-296	44.5
1%XV1V010	対照(FNfr非固定化)	抗CD3	抗CD3	25.6
1%XVIV010	CH - 296	抗CD3+CH-296	抗CD3+CH-296	38.3

表18に示されるように、低濃度の血清を含んだ培地を用いてのLAK細胞誘導初期または中期に各フィブロネクチンフラグメントを固定化した培養器材を使用した群においては、培養中のLAK細胞中におけるCD8陽性細胞含有率を高く誘導することができた。またこの効果は基本培地を変えても発揮された。すな

わち低濃度の血清を含んだ培地を用いてLAK細胞を誘導する際にフィブロネクチンフラグメントを共存させることにより、LAK細胞中のCD8陽性細胞の含有率を高くしながらLAK細胞を誘導・培養することが可能であることが明らかとなった。

実施例19 無血清培地を用いたLAK細胞培養系における拡大培養率の測定 (1) LAK細胞の誘導および培養

実施例5-(1) と同様の方法でLAK細胞を誘導・培養した。ただし、この際使用する培地を血清を含まないXVIVO10 培地またはAIM V培地に変更した。結果を表19に示す。

表19			
血清濃度・培地	培養日数	フィブロネクチンフラグメント	拡大培養率(倍率)
0 % X V I V O 1 0	11日間	対照 (FNfr非固定化)	× 3 2
0 % X V I V O 1 0	11日間	CH-296	×95
0%XVIVO10	15日間	対照 (FNfr非固定化)	× 2 0 5
0 % X V I V O 1 0	15日間	CH-296	×407
0 % X V· I V O 1 0	11日間	対照 (FNfr非固定化)	× 2 9
0 % X V I V O 1 0	11日間	H-296	× 7 8
0 % X V I V O 1 0	15日間	対照 (FNfr非固定化)	× 2 7
0 % X V I V O 1 0	15日間	H-296	×194
O%AIM V	11日間	対照 (FNfr非固定化)	× 2 5
0%AIM V	11日間	CH - 296	×85
0%AIM V	11日間	H-296	×69
0%AIM V	15日間	対照 (FNfr非固定化)	× 6 1
0%AIM V	15日間	CH - 296	× 2 0 2
0%AIM V	15日間	H-296	×392

表19に示されるように、血清を含まない培地を用いてのLAK細胞誘導初期 に各フィブロネクチンフラグメントを固定化した培養器材を使用した群において は、対照群に比較してLAK細胞の拡大培養率が高い。またこの効果は基本培地 を変えても発揮された。このことから各フィブロネクチンフラグメントは血清を

含まない培地を用いたLAK細胞培養時に好適に使用されることが明らかとなった。

実施例20 無血清培地でのLAK細胞培養系における拡大培養率の測定(繰り返し刺激による拡大培養)

(1) LAK細胞の誘導および培養

実施例6-(1)と同様の方法でLAK細胞を誘導・培養した。ただし、この際使用する培地を血清を含まないXVIVO10培地に変更した。結果を表20に示す。

表20

血清濃度・培地	フィプロネクチン フラグメント	培養開始 0 日 目刺激	培養開始 9 日 目刺激	拡大培養率 (倍率)
0%XVIV010	対照 (FNfr非固定化)	抗CD3	なし	× 2 7
0%XVIV010	FNfr非固定化	抗CD3	抗CD3	×288
0%XVIV010	CH - 296	抗CD3+CH-296	抗CD3+CH-296	\times 8 4 5
0%XVIV010	H-296	抗CD3+H-296	抗CD3+H-296	\times 8 9 3

表20に示されるように、血清を含まない培地を用いてのLAK細胞誘導時初期および中期に繰り返し各フィブロネクチンフラグメントおよび抗CD3抗体を固定化した培養器材を使用した群においては、対照群に比較してLAK細胞の拡大培養率が高い。これらの拡大培養率は、LAK細胞誘導時初期および中期に繰り返し抗CD3抗体のみを固定化した培養器材を使用した群における拡大培養率よりもはるかに高いものであった。またこの効果は基本培地を変えても発揮された。すなわちLAK細胞誘導初期および中期にフィブロネクチンフラグメントおよび抗CD3抗体を用いて刺激することにより、血清を含まない培地を用いた場合でも高い拡大培養率でLAK細胞を誘導・培養することが可能であることが明らかとなった。

実施例21 無血清培地を用いたLAK細胞培養系におけるIL-2R発現の誘導

(1) LAK細胞の誘導および培養

実施例6-(1)と同様の方法でLAK細胞を誘導・培養した。ただし、この 際使用する培地を血清を含まないXVIVO10培地に変更した。

(2) LAK細胞におけるIL-2R発現率の測定・

実施例 3-(2) と同様の方法で、IL-2R 発現陽性細胞含有率を測定した。結果を表 21 に示す。かかる表ではIL-2R 発現陽性細胞含有率(%)を IL-2R 発現率(%)と表示する。

表21				
血清濃度・培地	フィブロネクチン	培養開始0日	培養開始9日	IL-2R
	フラグメント	目刺激	目刺激	発現率
				(%)
0%XVIV010	対照 (FNfr非固定化)	抗CD3	なし	24.99
0%XV1V010	FNfr非固定化	抗CD3	抗CD3	80.58
0%XVIV010	CH-296	抗CD3+CH-296	なし	40.17
0%XVIV010	CH-296	抗CD3+CH-296	抗CD3+CH-296	92.59
0%XVIV010	H - 296	抗CD3+H-296	なし	30.09
0%XV1V010	H-296	抗CD3+H-296	抗CD3+H-296	87.15

表21に示されるように、血清を含まない培地を用いてのLAK細胞誘導初期 および中期に各フィブロネクチンフラグメントを固定化した培養器材を使用した 群においては、培養中のLAK細胞表面上におけるIL-2R発現率を高く誘導 することができた。すなわち血清を含まない培地を用いてLAK細胞を誘導する 際にフィブロネクチンフラグメントを共存させることにより、IL-2R発現率 を高くしながらLAK細胞を誘導・培養することが可能であることが明らかとなった。

実施例22 無血清培地を用いて培養したLAK細胞集団中におけるCD8陽性 細胞含有比率

(1) LAK細胞の誘導および培養

実施例5-(1)と同様の方法でLAK細胞を誘導・培養した。ただし、この際使用する培地を血清を含まないXVIVO20またはXVIVO10またはAIM V培地に変更した。

(2) LAK細胞におけるCD8陽性細胞集団含有比率の測定 実施例4-(2)と同様の方法でCD8陽性細胞の含有率を測定した。 結果を表22に示す。

表22

血清濃度・培地	フィブロネクチンフラグメント	CD8陽性細胞含有率(%)
0 % X V I V O 2 0	対照 (FNfr非固定化)	20.01
0 % X V I V O 2 0	CH-296	64.48
0 % X V I V O 1 0	対照 (FNfr非固定化)	27.91
0 % X V I V O 1 0	CH - 296	47.72
0%AIM V	対照 (FNfr非固定化)	2 1. 1 4
0%AIM V	CH-296	58.8
0 % X V I V O 1 0	対照 (FNfr非固定化)	16.53
0 % X V I V O 1 0	CH-296	35.22
0 % X V I V O 1 0	H-296	27.29

表22に示されるように、血清を含まない培地を用いてのLAK細胞誘導初期に各フィブロネクチンフラグメントを固定化した培養器材を使用した群においては、培養中のLAK細胞中におけるCD8陽性細胞含有率を高く誘導することができた。またこの効果は基本培地を変えても発揮された。すなわち血清を含まない培地を用いてLAK細胞を誘導する際にフィブロネクチンフラグメントを共存させることにより、LAK細胞中のCD8陽性細胞の含有率を高くしながらLAK細胞を誘導・培養することが可能であることが明らかとなった。

実施例23 無血清培地を用いたLAK細胞集団中におけるCD8陽性細胞含有 比率(繰り返し刺激による拡大培養)

(1) LAK細胞の誘導および培養

実施例 6-(1) と同様の方法でLAK細胞を誘導・培養した。ただし、この際使用する培地を血清を含まないXVIVO20またはXVIVO10培地に変更した。

(2) LAK細胞におけるCD8陽性細胞集団含有比率の測定

実施例4-(2)と同様の方法でCD8陽性細胞の含有率を測定した。結果を表23に示す。

2260				
血清濃度・培地	フィプロネクチン	培養開始0日	培養開始9日	CD8陽性
	フラグメント	目刺激	目刺激	細胞含有率
				(%)
0%XVIVO20	対照(FNfr非固定化)	抗CD3	なし	20.01
0%XVIVO20	CH - 296	抗CD3+CH-296	なし	64.48
0%XVIVO20	CH - 296	抗CD3+CH-296	抗CD3+CH-296	35.21
0%XVIV010	対照(FNfr非固定化)	抗CD3	なし	27.91
010V1VX%0	CH - 296	抗CD3+CH-296	なし	47.72
0%XVIV010	FNfr非固定化	抗CD3	抗CD3	37.97
0%XV1V010	CH - 296	抗CD3+CH-296	抗CD3+CH-296	50.22
0%XVIV010	対照(FNfr非固定化)	抗CD3	なし	16.53
0%XVIV010	CH - 296	抗CD3+CH-296	なし	35.22
0%XVIV010	H - 296	抗CD3+H-296	なし	27.29
0%XVIV010	CH - 296	抗CD3+CH-296	抗CD3+CH-296	75.33
0%XVIV010	H - 296	抗CD3+H-296	抗CD3+H-296	61.08

表23に示されるように、血清を含まない培地を用いてのLAK細胞誘導初期または初期中期に各フィブロネクチンフラグメントを固定化した培養器材を使用した群においては、培養中のLAK細胞中におけるCD8陽性細胞含有率を高く誘導することができた。またこの効果は基本培地を変えても発揮された。すなわち低濃度の血清を含んだ培地を用いてLAK細胞を誘導する際にフィブロネクチンフラグメントを共存させることにより、LAK細胞中のCD8陽性細胞の含有率を高くしながらLAK細胞を誘導・培養することが可能であることが明らかと

なった。

実施例24 低血清培地を用いたLAK細胞培養系におけるIL-2R発現の誘導(低細胞数からのLAK細胞誘導・培養/希釈操作なしでの培養)

(1) LAK細胞の誘導および培養

1% h u m a n A B 血清を含む X V I V O 2 0 (以下 1% X V I V O 2 0 と省略)に1×10⁵ cells/mLまたは5×10⁴ cells/mLとなるように実施例1-(1)で調製したPBMCを懸濁後、実施例1-(2)と同様の方法で調製した抗ヒトCD 3 抗体固定化プレート、または抗ヒトCD 3 抗体およびFNfr固定化6ウェルプレートに1mL/ウェルずつまき、1% X V I V O 2 0 4mLを加え(1×10⁴ cells/cm² または5×10³ cells/cm²)、さらに終濃度500 U/mLとなるようにIL-2(塩野義製薬社製)を添加した。これらのプレートを5% CO2中37℃で培養した(培養0日目)。培養開始後2日目、3日目、4日目には終濃度500 U/mLとなるようにIL-2を添加した。培養を継続し、培養開始後7日目以降2~3日毎に終濃度500 U/mLとなるようにIL-2を添加した。培養を継続し、培養開始後7日目以降2~3日毎に終濃度500 U/mLとなるようIL-2を添加した。この間培養液の希釈操作は全く行わなかった。培養開始後16日目に細胞を回収した。

(2) LAK細胞におけるIL-2R発現率の測定

実施例3-(2)と同様の方法で、IL-2R発現陽性細胞含有率を測定した。かかる表ではIL-2R発現陽性細胞含有率(%)をIL-2R発現率(%)と表示する。結果を表24に示す。

表 2 4

血清濃度・培地	フィプロネクチンフラグメント	I L - 2 R 発現率 (%)
1 % X V I V O 2 0	対照 (FNfr非固定化)	12.15
	CH - 296	97.47
	H-296	95.43

PCT/JP2004/012238

表24に示されるように、低細胞数からのLAK細胞誘導時に各フィブロネクチンフラグメントを固定化した培養器材を使用した群においては、誘導途中の細胞の希釈操作を必要とすることなしに培養中のLAK細胞表面上におけるIL-2R発現率を高く誘導することができた。すなわち低血清培地を用いて低細胞数からLAK細胞を誘導する際にフィブロネクチンフラグメントを共存させることにより、全く希釈操作を必要とすることなく、IL-2R発現率を高くしながらLAK細胞を誘導・培養することが可能であることが明らかとなった。

実施例25 無血清・低血清培地を用いたLAK細胞培養系における細胞傷害活性の測定

(1) LAK細胞の誘導および培養

実施例1-(3)と同様の方法でLAK細胞を誘導・培養した。この際使用する培地を0%から5%humanAB血清を含むXVIVO20または0%から5%humanAB血清を含むAIM V培地または5%humanAB血清を含むXVIVO10培地に変更した。

(2) 培養したLAK細胞の細胞傷害活性の測定

実施例25-(1) で調製した培養後15日目のLAKの細胞傷害活性は、Calcein-AMを用いた細胞傷害活性測定法〔リヒテンフェルズ R.ら(Lichtenfels R., et al.)、J. Immnol. Methods、第172巻、第25号、第227~239頁(1994)〕にて評価した。細胞株 K562、Daudiを 1×10^6 cells/mLとなるよう5%FBS(Bio Whittaker社製)を含むRPMI1640培地に懸濁後、終濃度 25μ MとなるようにCalcein-AM(ドータイト社製)を添加し、37%で1時間培養した。細胞をCalcein-AMを含まない培地にて洗浄後、Calcein標識標的細胞とした。

実施例25-(1)で調製したLAK細胞をエフェクター細胞として1×10

 $^6\sim 3\times 10^6$ cells/mLとなるように 5% h u m a n 血清を含むRPM I (以下 5 HRPM I と省略)で段階希釈後、9 6 穴細胞培養プレートの各ウェルに 100μ L/ウェルずつ分注しておき、これらに 1×10^5 cells/m Lに調製した Calcein標識標的細胞を 100μ L/ウェルずつ添加した。上記細胞懸濁液の入ったプレートを $400\times g$ で 1 分間遠心後、37% の湿式 C 0_2 インキュベーター内で 4 時間インキュベートした。4 時間後、各ウェルから培養上清 100μ Lを採取し、蛍光プレートリーダー(485 n m/538 n m)によって培養上清中に放出された calcein量(蛍光強度)を測定した。LAK細胞の細胞傷害活性は以下の式 1 にしたがって算出した。

式1:

細胞傷害活性(%) = 〔(各ウェルの測定値-最小放出量)/(最大放出量-最小放出量)〕×100

上式において最小放出量は標的細胞のみ含有するウェルのcalcein放出量であり、標的細胞からのcalcein自然放出量を示す。また、最大放出量は標的細胞に界面活性剤であるTriton X-100(ナカライテスク社製)を終濃度0.05%となるように加えて細胞を完全破壊した際のcalcein放出量を示している。結果を表25に示す。なお、表中、「E/T」とはエフェクター細胞と標的細胞の細胞数に基づく比(エフェクター細胞/標的細胞)を表す。

表 2 5	•			
血清濃度	フィブロネクチン	E/T	細胞傷害活性(%)	細胞傷害活性(%)
・培地	フラグメント		(標的細胞 K562)	(標的細胞 Daudi)
0%XVIV020	対照 (FNfr非固定化)	2 0	28.7	13.3
0%XVIV020	CH - 296	20	46.7	23.8
0%XVIV020	H - 296	20	49.9	19.0
0. 2%XVIV020	対照 (FNfr非固定化)	1 0	13.3	1 1. 6
0. 2%XVIVO20	CH - 296	10	18.2	18.6
1%XVIV020	対照 (FNfr非固定化)	2 0	36.5	24.8
1%XV1V020	H-296	20	62.8	39.0
5%XVIV020	対照 (FNfr非固定化)	3 0	57.0	56.6
5%XVIV020	CH - 296	3 0	78.1	59.1
O%AIM V	対照 (FNfr非固定化)	3 0	25.2	23.4
O%AIM V	CH-296	3 0	36.8	28.1
5%AIM V	対照 (FNfr非固定化)	3 0	55.3	49.8
5%AIM V	CH-296	3 0	77.2	53.6
5%AIM V	対照 (FNfr非固定化)	1 0	35.1	50.5
5%AIM V	CH-296	10	71.6	51.8
5%AIM V	H-296	10	73.9	57.8
5%XVIV010	対照 (FNfr非固定化)	1 0	72.6	51.1
5%XVIV010	CH-296	1 0	84.6	57.4
5%XVIV010	H-296	1 0	89.3	69.5

表25に示されるように、血清を含まない培地もしく低濃度の血清を含んだ培地を用いてのLAK細胞誘導初期に各フィブロネクチンフラグメントを固定化した培養器材を使用した群においては、対照群に比較してLAK細胞の細胞傷害活性が高い。またこの効果は基本培地を変えても発揮された。このことから各フィブロネクチンフラグメントは血清を含まない培地または低濃度の血清を含んだ培地を用いたLAK細胞培養時に好適に使用されることが明らかとなった。

実施例26 低血清培地 (AIM V) を用いたLAK細胞培養系における拡大 培養率の測定 (繰り返し刺激による拡大培養) -1

(1) LAK細胞の誘導および培養

実施例2-(1)と同様の方法でLAK細胞を誘導・培養した。この際使用す

る培地を1%humanAB血清を含む培地AIM Vに変更した。結果を表26に示す。

表26

血清濃度・培地	フィブロネクチン フラグメント	培養開始0日 目刺激	培養開始9日 目刺激	拡大培養率 (倍率)
1%AIM V	対照 (FNfr非固定化)	抗CD3	抗CD3	× 1 3 0
1%AIM V	CH-296	抗CD3+CH-296	抗CD3+CH-296	\times 2 4 1 9

表26に示されるように、低濃度の血清(1%)を含んだAIM V培地を用いてのLAK細胞誘導時初期および中期に繰り返し各フィブロネクチンフラグメントおよび抗CD3抗体を固定化した培養器材を使用した群においては、対照群に比較してLAK細胞の拡大培養率が高い。これらの拡大培養率は、LAK細胞誘導時初期および中期に繰り返し抗CD3抗体のみを固定化した培養器材を使用した群における拡大培養率よりもはるかに高いものであった。すなわちLAK細胞誘導初期および中期にフィブロネクチンフラグメントおよび抗CD3抗体を用いて刺激することにより、低濃度の血清を含んだ培地を用いた場合でも高い拡大培養率でLAK細胞を誘導・培養することが可能であることが明らかとなった。

実施例27 低血清培地(AIM V)を用いたLAK細胞培養系における拡大 培養率の測定(繰り返し刺激による拡大培養)-2

(1) 抗ヒトCD3抗体およびFNフラグメント固定化

以下の実験で使用する培養器材(容器)に抗ヒトCD3抗体およびFNフラグメントを固定化した。すなわち12穴細胞培養プレートまたは12.5 c m²細胞培養フラスコ(Falcon社製)に抗ヒトCD3抗体(終濃度 5μ g/mL)を含むPBSを1.9mL(12穴プレートの場合)または2mL(12.5 c m²フラスコの場合)ずつ添加した。この時、FNフラグメント添加群には製造

例1に記載の各フィブロネクチンフラグメント(FNfr)を終濃度 10μ g/mL(12穴プレートの場合)または 25μ g/mL(12. 5cm² フラスコの場合)となるように添加した。対照として、FNfrを添加しない群も設定した。

これらの培養器材を室温で5時間インキュベート後、使用時まで4℃で保存した。使用直前にはこれらの培養器材から抗体・FNfrを含むPBSを吸引除去後、各ウェルをPBSで2回、AIM V培地で1回洗浄し各実験に供した。

(2) LAK細胞の誘導および培養

1 % A I M V に 5 × 1 0 ° c e l l s / m L となるように実施例 1 ー (1) で調製したPBMCを懸濁後、実施例27- (1)で調製した抗ヒトCD3抗体 固定化プレート、または抗ヒトCD3抗体およびFNfr固定化プレートに1m IIII / ウェルずつまき、終濃度<math>IIII = IIII / D のIIII = IIIIIIII を添加した 。これらのプレートを5%CO。中37℃で培養した(培養0日目)。培養開始 後2、3日目には1000U/mLのIL-2を含む1%AIM Vを1mL/ ウェルずつ添加した。培養開始後4日目には培養液を何も固定化していない25 cm²細胞培養フラスコ(Falcon社製)に移し、さらに1%AIM V 7 m L を添加し、終濃度 5 0 0 U / m L となるよう I L - 2 を添加した。培養開 始7日目には1%AIM Vを用いて細胞濃度を2x10⁵cells/mLに 調整した培養液の一部を何も固定化していない新しいフラスコに移し、終濃度5 00U/mLとなるようIL-2を添加した。培養開始9日目には実施例27-(1) と同様の方法で調製した抗ヒトCD3抗体固定化フラスコ、または抗ヒト CD3抗体およびFNfr固定化フラスコ(ただし、固定化に用いる抗ヒトCD $3抗体の濃度は<math>0.5\mu$ g/mLとした)に1%AIM Vを用いて細胞濃度を 2 x 1 0 5 c e l 1 s / m L に調整した培養液の一部を移し、終濃度 5 0 0 U / mLとなるようIL-2を添加した。培養開始12日目に再度適宜1%AIM Vを用いて細胞濃度を2x10⁵cells/mLに調整した培養液の一部を何

も固定化していない新しいフラスコに移し、終濃度500U/mLとなるよう IL-2を添加した。培養開始15日目にトリパンブルー染色法にて生細胞数を計測し、培養開始時の細胞数と比較しての拡大培養率として算出した。同条件にてn=3で拡大培養を行い、その平均±標準偏差の各結果を表27に示す。

表 2 7

22 0 1				
血清濃度	フィプロネクチン	培養開始 0 日	培養開始9日	拡大培養率
・培地	フラグメント	目刺激	目刺激	(倍率)
1%AIM V	対照(FNfr非固定化)	抗CD3	なし	\times 3 3 9 2 \pm 7 7 9
1%AIM V	FNfr非固定化	抗CD3	抗CD3	\times 4 3 8 9 \pm 1 2 3 4
1%AIM V	CH-296	抗CD3+CH-296	抗CD3+CH-296	\times 8 5 4 5 \pm 1 3 2 8

平均值±標準偏差

表27に示されるように、低濃度の血清(1%)を含んだAIM V培地を用いてのLAK細胞誘導時初期および中期に繰り返し各フィブロネクチンフラグメントおよび抗CD3抗体を固定化した培養器材を使用した群においては、対照群に比較してLAK細胞の拡大培養率が高い。これらの拡大培養率は、LAK細胞誘導時初期および中期に繰り返し抗CD3抗体のみを固定化した培養器材を使用した群における拡大培養率よりもはるかに高いものであった。すなわちLAK細胞誘導初期および中期にフィブロネクチンフラグメントおよび抗CD3抗体を用いて刺激することにより、低濃度の血清を含んだ培地を用いた場合でも高い拡大培養率でLAK細胞を誘導・培養することが可能であることが明らかとなった。

実施例28 無血清培地(AIM V)を用いたLAK細胞集団中におけるCD 8陽性細胞含有比率(繰り返し刺激による拡大培養)

(1) LAK細胞の誘導および培養

実施例2-(1)と同様の方法でLAK細胞を誘導・培養した。この際使用する培地をhumanAB血清を含まないAIM Vに変更した。

(2) LAK細胞におけるCD8陽性細胞集団含有比率の測定

実施例4-(2)と同様の方法でCD8陽性細胞の含有率を測定した。結果を表28に示す。

表28

血清濃度・培地	フィプロネクチン フラグメント	培養開始 0 日 目刺激	培養開始9日 目刺激	CD8陽性細胞 含有率(%)
O %AIM V	対照 (FNfr非固定化)	抗CD3	なし	43.8
O %AIM V	CH-296	抗CD3+CH-296	なし	64.4
O %AIM V	CH-296	抗CD3+CH-296	抗CD3+CH-296	76.6

表28に示されるように、血清を含まないAIM V培地を用いてのLAK細胞誘導初期または中期に各フィブロネクチンフラグメントを固定化した培養器材を使用した群においては、培養中のLAK細胞後細胞集団におけるCD8陽性細胞含有率を高く誘導することができた。すなわち低濃度の血清を含んだ培地を用いてLAK細胞を誘導する際にフィブロネクチンフラグメントを共存させることにより、LAK細胞中のCD8陽性細胞の含有率を高くしながらLAK細胞を誘導・培養することが可能であることが明らかとなった。

実施例29 低血清培地 (AIM V) を用いたLAK細胞集団中におけるCD 8陽性細胞含有比率 (繰り返し刺激による拡大培養)

(1) LAK細胞の誘導および培養

実施例2-(1)と同様の方法でLAK細胞を誘導・培養した。この際使用する培地を1%humanAB血清を含むAIM Vに変更した。

(2) LAK細胞におけるCD8陽性細胞集団含有比率の測定

実施例4-(2)と同様の方法でCD8陽性細胞の含有率を測定した。結果を表29に示す。

表29

血清濃度・培地	フィプロネクチン フラグメント	培養開始 0 日 目刺激	培養開始9日 目刺激	CD8陽性細胞 含有率(%)
1 %AIM V	対照 (FNfr非固定化)	抗CD3	なし	39.2
1 %AIM V	対照(FNfr非固定化)	抗CD3	抗CD3	60.0
1 %AIM V	CH-296	抗CD3+CH-296	なし	49.2
1 %AIM V	CH-296	抗CD3+CH-296	抗CD3+CH-296	71.0

表29に示されるように、低濃度の血清を含んだAIM V培地を用いてのLAK細胞誘導初期または初期および中期に各フィブロネクチンフラグメントを固定化した培養器材を使用した群においては、培養後のLAK細胞集団におけるCD8陽性細胞含有率を高く誘導することができた。すなわち低濃度の血清を含んだ培地を用いてLAK細胞を誘導する際にフィブロネクチンフラグメントを共存させることにより、LAK細胞中のCD8陽性細胞の含有率を高くしながらLAK細胞を誘導・培養することが可能であることが明らかとなった。

実施例30無血清培地(AIM V)を用いたLAK細胞培養系におけるIL-2レセプター(IL-2R)発現の誘導

(1) LAK細胞の誘導および培養

実施例2-(1)と同様の方法でLAK細胞を誘導・培養した。この際使用する培地をhumanAB血清を含まないAIM V培地に変更した。

(2) LAK細胞におけるIL-2R発現率の測定

実施例3-(2)と同様の方法で、IL-2R発現陽性細胞含有率を測定した。結果を表30に示す。かかる表ではIL-2R発現陽性細胞含有率(%)をIL-2R発現率(%)と表示する。

**	2	0
4CX	·	•

200				
血清濃度・培地	フィブロネクチン	培養開始0日	培養開始9日	IL-2R
THE PARTY OF THE P	フラグメント	目刺激	目刺激	発現率(%)
O %AIM V	対照 (FNfr非固定化)	抗CD3	なし	22.0
O % A I M V	対照 (FNfr非固定化)	抗CD3	抗CD3	39.9
O %AIM V	CH-296	抗CD3+CH-296	抗CD3+CH-296	51.9

表30に示されるように、血清を含まないAIM V培地を用いてのLAK細胞誘導初期および中期に各フィブロネクチンフラグメントを固定化した培養器材を使用した群においては、培養後のLAK細胞表面上におけるIL-2R発現率を高く誘導することができた。すなわち血清を含まない培地を用いてLAK細胞を誘導する際にフィブロネクチンフラグメントを共存させることにより、IL-2R発現率を高くしながらLAK細胞を誘導・培養することが可能であることが明らかとなった。

実施例31 低血清培地 (AIM V) を用いたLAK細胞培養系におけるIL - 2 レセプター (IL-2R) 発現の誘導(繰り返し刺激による拡大培養)

(1) LAK細胞の誘導および培養

実施例2-(1)と同様の方法でLAK細胞を誘導・培養した。この際使用する培地を1%humanAB血清を含むAIM V培地に変更した。

(2) LAK細胞におけるIL-2R発現率の測定

実施例3-(2)と同様の方法で、IL-2R発現陽性細胞含有率を測定した。結果を表31に示す。かかる表ではIL-2R発現陽性細胞含有率(%)をIL-2R発現率(%)と表示する。

====	•	-
30	.≺	- 1
2	v	-

~ -				
血清濃度	フィブロネクチン	培養開始 0 日	培養開始9日	IL-2R発現率
・培地	フラグメント	目刺激	目刺激	(%)
1 %AIM V	対照(FNfr非固定化)	抗CD3	なし	23.6
1 %AIM V	CH - 296	抗CD3+CH-296	なし	27.2
1 %AIM V	CH - 296	抗CD3+CH-296	抗CD3+CH-296	69.1

表31に示されるように、低濃度の血清を含んだAIM V培地を用いてのLAK細胞誘導初期および中期に各フィブロネクチンフラグメントを固定化した培養器材を使用した群においては、培養中のLAK細胞表面上におけるIL-2R発現率を高く誘導することができた。すなわち低濃度の血清を含んだ培地を用いてLAK細胞を誘導する際にフィブロネクチンフラグメントを共存させることにより、IL-2R発現率を高くしながらLAK細胞を誘導・培養することが可能であることが明らかとなった。

実施例32 低血清培地 (AIM V) を用いたLAK細胞集団中におけるCD 8陽性細胞含有比率

(1) LAK細胞の誘導および培養

実施例1-(3)と同様の方法でLAK細胞を誘導・培養した。この際使用する培地を1%humanAB血清を含むAIM V培地に変更した。

(2) LAK細胞におけるCD8陽性細胞集団含有比率の測定

実施例4-(2)と同様の方法でCD8陽性細胞の含有率を測定した。結果を表32に示す。

表32

血清濃度・培地	フィプロネクチンフラグメント	CD8陽性細胞含有率(%)
1%AIM V	対照 (FNfr非固定化)	41.02
1%AIM V	CH-296	56.78

表32に示されるように、低血清を含むAIM V培地を用いてのLAK細胞誘導初期に各フィブロネクチンフラグメントを固定化した培養器材を使用した群においては、培養中のLAK細胞中におけるCD8陽性細胞含有率を高く誘導することができた。すなわち低濃度の血清を含む培地を用いてLAK細胞を誘導する際にフィブロネクチンフラグメントを共存させることにより、LAK細胞中のCD8陽性細胞の含有率を高くしながらLAK細胞を誘導・培養することが可能であることが明らかとなった。

実施例33 無血清・低血清培地を用いたLAK細胞培養系における細胞傷害活性の測定

(1) LAK細胞の誘導および培養

実施例1-(3)または実施例2-(1)と同様の方法でLAK細胞を誘導・培養した。この際使用する培地を0%または1% h u m a n A B 血清を含む X V I VO 20またはA I M V 培地に変更した。

(2) 培養したLAK細胞の細胞傷害活性の測定

実施例25-(2)と同様の方法で培養後15日目のLAKの細胞傷害活性を 測定した。結果を表33に示す。

主	2	3
77		ം

衣ろろ						
血清濃度·	フィブ ロネクチン	培養開始	培養開始	E/T	細胞傷害	細胞傷害
培地	フラク・メント	0日目刺激	9日目刺激		活性(%)	活性(%)
					標的細胞	標的細胞
					K562	Daudi
0%XVIV010	対照	抗CD3	なし	10	11. 88	10.84
	(FNfr非固定化)					
0%XV1V010	CH - 296	抗CD3+CH-296	なし	10	19. 55	26. 23
1%AIM V	対照	抗CD3	なし	10	16. 82	33. 02
	(FNfr非固定化)					
1%AIM V	CH - 296	抗CD3+CH-296	なし	10	46. 54	42. 3
0%XVIV020	対照	抗CD3	抗CD3	10	24. 5	13. 3
	(FNfr非固定化)					
0%XVIVO20	CH - 296	抗CD3+CH-296	抗CD3+CH-296	10	30. 8	23. 3
1%XVIV020	対照	抗CD3	抗CD3	10	18. 5	13. 9
	(FNfr非固定化)					
1%XVIV020	CH - 296	抗CD3+CH-296	抗CD3+CH-296	10	30. 8	28. 5
1%XVIV010	対照	抗CD3	抗CD3	10	13. 8	8. 4
	(FNfr非固定化)					
1%XVIV010	CH - 296	抗CD3+CH-296	抗CD3+CH-296	10	33. 0	31.8

表33に示されるように、血清を含まない培地もしくは低濃度の血清を含んだ培地を用いてのLAK細胞誘導初期または初期および中期に各フィブロネクチンフラグメントを固定化した培養器材を使用した群においては、対照群に比較してLAK細胞の細胞傷害活性が高い。またこの効果は基本培地を変えても発揮された。このことから各フィブロネクチンフラグメントは血清を含まない培地または低濃度の血清を含んだ培地を用いたLAK細胞培養時に好適に使用されることが明らかとなった。

実施例34 低血清培地(XVIVO10)を用いたLAK細胞培養系における拡大培養率の測定(細胞培養用CO,ガス透過性バッグを用いた培養)

(1) 抗ヒトCD3抗体およびFNフラグメント固定化

以下の実験で使用する培養器材(細胞培養用 CO_2 ガス透過性バッグ)に抗ヒトCD3抗体およびFNフラグメントを固定化した。すなわち $85cm^2$ 細胞培

養用 CO_2 ガス透過性バッグ(Baxter社製)に抗ヒトCD3抗体(終濃度 $5\mu g/mL$)を含むPBSを20mLずつ添加した。この時、FNフラグメント添加群には製造例1に記載の各フィブロネクチンフラグメント(FNfr)を終濃度 $42.5\mu g/mL$ となるように添加した。対照として、FNfrを添加しない群も設定した。

これらの培養器材を室温で5時間インキュベート後、使用時まで4℃で保存した。使用直前にはこれらの培養器材から抗体・FNfrを含むPBSを除去後、各バッグをPBSで2回、1%humanAB血清を含むXVIVO10培地(以下1%XVIVO10と略す)で1回洗浄し各実験に供した。

(2) LAK細胞の誘導および培養

1%XVIVO10に1×10°cells/mLとなるように実施例1-(1) で調製したPBMCを懸濁後、実施例34-(1) で調製した抗ヒトCD3 抗体固定化細胞培養用CO₂ガス透過性バッグ、または抗ヒトCD3抗体および FNfr固定化細胞培養用CO。ガス透過性バッグに10mL/バッグずつ細胞 懸濁液を入れ、終濃度1000U/mLとなるようにIL-2を添加した。これ らの細胞培養用CO。ガス透過性バッグを5%CO。中37℃で培養した(培養 0日目)。培養開始後2日目には1000U/mLのIL-2を含む1%XVI VO10を20mL/バッグずつ添加した。培養開始4日目には終濃度500U /mLとなるようIL-2を添加した。培養開始後6日目には1%XVIVO1 0を30mL/バッグずつ添加し、終濃度500U/mLとなるよう IL-2を 添加した。培養開始後8日目には培養液の一部を適宜希釈した後、何も固定化し ていない85cm²細胞培養用CO。ガス透過性バッグに移し、終濃度500U /mLとなるよう IL-2を添加した。培養開始 11、13日目には終濃度 50 0 U/mLとなるよう IL-2を添加した。培養開始 15日目にトリパンブルー 染色法にて生細胞数を計測し、培養開始時の細胞数と比較しての拡大培養率とし て算出した。結果を表34に示す。

表34

血清濃度・培地	培養日数	フィプロネクチンフラグメント	拡大培養率(倍率)
1%XVIVO10	15日間	対照 (FNfr非固定化)	× 3 4
1%XVIVO10	15日間	CH-296	×101

表34に示されるように、低濃度(1%)の血清を含んだ培地(XVIVO10)と細胞培養用CO2ガス透過性バッグを用いてのLAK細胞誘導初期に各フィブロネクチンフラグメントを固定化した細胞培養用CO2ガス透過性バッグを使用した群においては、対照群に比較してLAK細胞の拡大培養率が高い。このことから各フィブロネクチンフラグメントは低濃度の血清を含んだ培地および細胞培養用CO2ガス透過性バッグを用いたLAK細胞培養時に好適に使用されることが明らかとなった。

実施例35 低血清培地(XVIVO10)を用いたLAK細胞培養系における 拡大培養率の測定(細胞培養用フラスコおよび細胞培養用CO₂ガス透過性バッグを組み合わせた培養)

(1) 抗ヒトCD3抗体およびFNフラグメント固定化

以下の実験で使用する培養器材($25\,\mathrm{cm}^2$ 細胞培養用フラスコ)に抗ヒトC D 3 抗体およびFNフラグメントを固定化した。すなわち $25\,\mathrm{cm}^2$ 細胞培養用フラスコ(コーニング社製)に抗ヒトCD 3 抗体(終濃度 $5\,\mu\,\mathrm{g/mL}$)を含む PBSを $6\,\mathrm{mL}$ ずつ添加した。この時、FNフラグメント添加群には製造例 $1\,\mathrm{c}$ 記載の各フィブロネクチンフラグメント(FN f r)を終濃度 42 . $5\,\mu\,\mathrm{g/m}$ Lとなるように添加した。対照として、FN f r を添加しない群も設定した。

これらの培養器材を室温で5時間インキュベート後、使用時まで4℃で保存した。使用直前にはこれらの培養器材から抗体・FNfrを含むPBSを除去後、各フラスコをPBSで2回、1%humanAB血清を含むXVIVO10培地(以下1%XVIVO10と略す)で1回洗浄し各実験に供した。

(2) LAK細胞の誘導および培養

1%XVIVO10に1×10⁶cells/mLとなるように実施例1-(1) で調製したPBMCを懸濁後、実施例35-(1) で調製した抗ヒトCD3 抗体固定化フラスコ、または抗ヒトCD3抗体およびFNfr固定化フラスコに 3mL/フラスコずつ細胞懸濁液を入れ、終濃度1000U/mLとなるように IL-2を添加した。これらのフラスコを5%CO2中37℃で培養した(培養 0日目)。培養開始後1日目または2日目には1000U/mLのIL-2を含 む1%XVIVO10を7mL/フラスコずつ添加した。以下抗CD3抗体±C H-296刺激期間により2つの方法で培養した。(i)培養開始後4日目に培 養液をなにも固定化していない85cm²細胞培養用CO。ガス透過性バッグに 移した後、1%XVIVO10を20mL/バッグずつ添加し終濃度500U/ mLとなるよう I L-2 を添加、さらに培養開始後6日目に1%XVIVO10 を30mL/バッグずつ添加後、終濃度500U/mLとなるようIL-2を添 加した(抗CD3抗体±CH-296刺激期間4日間)。(ii)培養開始4日 目または5日目に終濃度500U/mLとなるようIL-2を添加し、培養開始 後6日目に培養液をなにも固定化していない85cm²細胞培養用С〇。ガス透 過性バッグに移した後、1%XVIVO10を50mL/バッグずつ添加、終濃 度500U/mLとなるようIL-2を添加した(抗CD3抗体±CH-296 刺激期間6日間)。両条件とも培養開始後8日目には培養液の一部を適宜希釈し た後、何も固定化していない85cm²細胞培養用CO2ガス透過性バッグに移 し、終濃度500U/mLとなるようIL-2を添加した。培養開始11、13 日目には終濃度500U/mLとなるようIL-2を添加した。培養開始15日 目にトリパンプルー染色法にて生細胞数を計測し、培養開始時の細胞数と比較し ての拡大培養率として算出した。結果を表35に示す。

表35

200				
血清濃度・培地	抗CD3±CH-296	培養日数	フィブロネクチン	拡大培養率
	刺激期間		フラグメント	(倍率)
1%XVIVO10	4 日間	15日間	対照(FNfr非固定化)	× 2 3 5
1 % X V I V O 1 0	4 日間	15日間	CH - 296	×498
1%XVIVO10	6 日間	15日間	対照 (FNfr非固定化)	×425
1 % X V I V O 1 0	6 日間	15日間	CH-296	×690

表35に示されるように、低濃度(1%)の血清を含んだ培地(XVIVO10)を用いて、細胞培養用フラスコおよび細胞培養用CO2ガス透過性バッグを組み合わせたLAK細胞誘導初期に各フィブロネクチンフラグメントを固定化した細胞培養用フラスコを使用した群においては、対照群に比較してLAK細胞の拡大培養率が高い。このことから各フィブロネクチンフラグメントは低濃度の血清を含んだ培地を用いて、細胞培養用フラスコおよび細胞培養用CO2ガス透過性バッグを組み合わせたLAK細胞培養時に好適に使用されることが明らかとなった。

実施例36 低血清培地 (AIM V) を用いたLAK細胞培養系における拡大 培養率の測定 (細胞培養用フラスコおよび細胞培養用CO₂ ガス透過性バッグを 組み合わせた培養)

(1) 抗ヒトCD3抗体およびFNフラグメント固定化

以下の実験で使用する培養器材(25cm²細胞培養用フラスコ)に実施例35-(1)と同様に抗ヒトCD3抗体およびFNフラグメントを固定化した。使用直前にはこれらの培養器材から抗体・FNfrを含むPBSを除去後、各フラスコをPBSで2回、1%humanAB血清を含むAIM V培地(以下1%AIM Vと略す)で1回洗浄し各実験に供した。

(2) LAK細胞の誘導および培養

1%AIM Vに1×10⁶ cells/mLとなるように実施例1-(1)

で調製したPBMCを懸濁後、実施例36-(1)で調製した抗ヒトCD3抗体 固定化フラスコ、または抗ヒトCD3抗体およびFNf r 固定化フラスコに3 m L/フラスコずつ細胞懸濁液を入れ、終濃度1000U/mLとなるようにIL-2を添加した。これらのフラスコを5%CO2中37℃で培養した(培養0日目)。培養開始後1日目には1000U/mLのIL-2を含む1%AIM Vを7mL/フラスコずつ添加した。培養開始後4日目には培養液を何も固定化していない85cm²細胞培養用CO2ガス透過性バッグに移した後、1%AIM Vを20mL/バッグずつ添加し、終濃度500U/mLとなるようIL-2を添加した。培養開始6日目には1%AIM Vを30mL/バッグずつ添加し、終濃度500U/mLとなるようIL-2を添加した。培養開始6日目には1%AIM Vを30mL/バッグずつ添加し、終濃度500U/mLとなるようIL-2を添加した。培養開始11、13日目には終濃度500U/mLとなるようIL-2を添加した。培養開始11、13日目には終濃度500U/mLとなるようIL-2を添加した。培養開始15日目にトリパンブルー染色法にて生細胞数を計測し、培養開始時の細胞数と比較しての拡大培養率として算出した。結果を表36に示す

夷	3	6
2~	•	~

血清濃度・培地	培養日数	フィブロネクチンフラグメント	拡大培養率 (倍率)
1%AIM V	15日間	対照 (FNfr非固定化)	× 3 2 7
1%AIM V	15日間	CH-296	× 5 6 6

表36に示されるように、低濃度(1%)の血清を含んだ培地(AIM V)を用いて、細胞培養用フラスコおよび細胞培養用CO2ガス透過性バッグを組み合わせたLAK細胞誘導初期に各フィブロネクチンフラグメントを固定化した細胞培養用フラスコを使用した群においては、対照群に比較してLAK細胞の拡大培養率が高い。このことから各フィブロネクチンフラグメントは低濃度の血清を含んだ培地を用いて、細胞培養用フラスコおよび細胞培養用CO2ガス透過性バ

ッグを組み合わせたLAK細胞培養時に好適に使用されることが明らかとなった

実施例37 低血清培地(XVIVO10)を用いたLAK細胞集団中における CD8陽性細胞含有比率(細胞培養用CO2ガス透過性バッグを用いた培養)

(1) LAK細胞の誘導および培養

実施例34-(2)と同様の方法でLAK細胞を誘導・培養した。

(2) LAK細胞におけるCD8陽性細胞集団含有比率の測定

実施例4-(2)と同様の方法でCD8陽性細胞の含有率を測定した。結果を表37に示す。

表37

20 1				
血清濃度・培地	培養日数	フィブロネクチンフラグメント	CD8陽性細胞	
			含有率 (%).	
1%XVIVO10	15日間	対照 (FNfr非固定化)	45.7	
1 % X V I V O 1 0	15日間	CH - 296	61.6	

表37に示されるように、低濃度(1%)の血清を含んだ培地(XVIVO10)と細胞培養用CO2ガス透過性バッグを用いてのLAK細胞誘導初期に各フィブロネクチンフラグメントを固定化した細胞培養用CO2ガス透過性バッグを使用した群においては、培養後のLAK細胞中におけるCD8陽性細胞含有率を高く誘導することができた。このことから各フィブロネクチンフラグメントは低濃度の血清を含んだ培地および細胞培養用CO2ガス透過性バッグを用いたLAK細胞培養時に好適に使用されることが明らかとなった。

実施例38 低血清培地 (XVIVO10) を用いたLAK細胞集団中における CD8陽性細胞含有比率 (細胞培養用フラスコおよび細胞培養用CO₂ガス透過 性バッグを組み合わせた培養)

(1) LAK細胞の誘導および培養

実施例35-(2)と同様の方法でLAK細胞を誘導・培養した。

(2) LAK細胞におけるCD8陽性細胞集団含有比率の測定

実施例4-(2)と同様の方法でCD8陽性細胞の含有率を測定した。結果を表38に示す。

表38

血清濃度・培地	抗CD3±CH-296 刺激期間	培養日数	フィプロネクチン フラグメント	CD8陽性 細胞含有率 (%)
1%XVIVO10	4日間	15日間	対照 (FNfr非固定化)	58.1
1%XVIVO10	4日間	15日間	CH-296	70.3
1%XVIVO10	6日間	15日間	対照(FNfr非固定化)	58.3
1 % X V I V O 1 0	6 日間	15日間	CH-296	72.7

表38に示されるように、低濃度(1%)の血清を含んだ培地(XVIVO10)を用いて、細胞培養用フラスコおよび細胞培養用CO2ガス透過性バッグを組み合わせたLAK細胞誘導初期に各フィブロネクチンフラグメントを固定化した細胞培養用フラスコを使用した群においては、対照群に比較して培養後のLAK細胞中におけるCD8陽性細胞含有率を高く誘導することができた。このことから各フィブロネクチンフラグメントは低濃度の血清を含んだ培地を用いて、細胞培養用フラスコおよび細胞培養用CO2ガス透過性バッグを組み合わせたLAK細胞培養時に好適に使用されることが明らかとなった。

実施例39 低血清培地(AIM V)を用いたLAK細胞培養系における拡大 培養率の測定(培養開始時、継代時の濃度)

LAK細胞培養系における培養開始時および継代時の細胞濃度が拡大培養率に 及ぼす影響を確認した。

培養開始時の細胞濃度として0.5×10°cells/mLおよび1×10°cells/mLを設定した。培養4日目の継代細胞濃度として、0.025

×10⁶ cells/mLおよび0.05×10⁶ cells/mLを設定した。培養7、9および11日目の継代細胞濃度として、0.2×10⁶ cells/mLおよび0.5×10⁶ cells/mLを設定した。下記表39-1に上記パターンを示す。

表39-1

	培養開始時濃度	培養4日目濃度	培養7、9、11日目濃度
細胞濃度パターン1	0.500	0.025	0. 2
細胞濃度パターン2	0.500	0.05	0. 2
細胞濃度パターン3	0.500	0.05	0. 5
細胞濃度パターン4	1. 000	0.025	0. 2
細胞濃度パターン5	1.000	0.05	0. 2
細胞濃度パターン6	1.000	0.05	0.5

^{*}細胞濃度(×10⁶cells/mL)

(1) 抗ヒトCD3抗体およびFNフラグメント固定化

以下の実験で使用する培養器材に抗ヒトCD3抗体およびFNフラグメントを固定化した。すなわち24穴細胞培養プレートに抗ヒトCD3抗体(終濃度 5μ g/mL)を含むPBSを1mLずつ添加した。この時、FNフラグメント添加群には製造例1に記載のフィブロネクチンフラグメント(CH-296)を終濃度 25μ g/mLとなるように添加した。対照として、CH-296を添加しない群も設定した。

これらの培養器材を室温で5時間インキュベート後、使用時まで4℃で保存した。使用直前にはこれらの培養器材から抗ヒトCD3抗体・CH-296を含む PBSを吸引除去後、各ウェルをPBSで2回、RPMI培地で1回洗浄し各実験に供した。

(2) LAK細胞の誘導および培養

1%のhumanAB血清を含むAIM Vに細胞濃度パターン1、2および3で培養する区分は0. 5×10^6 cells/mLとなるように、細胞濃度パターン4、5および6で培養する区分は 1×10^6 cells/mLとなるよう

に実施例1-(1) で調製したPBMCを懸濁後、(1) で調製した抗ヒトCD 3 抗体固定化プレート、または抗ヒトCD 3 抗体およびCH-2 9 6 固定化プレートに1 mL/ウェルずつまき、終濃度1 0 0 0 U/ mL となるように IL-2 を添加した。これらのプレートを5 % CO $_2$ 中 3 7 $\mathbb C$ で培養した(培養 0 日目) 。培養開始後 2 、 3 日目には 1 0 0 0 U/ mLの IL-2 を含む 1 % A IM V を 1 mL/ウェルずつ添加した。

培養開始後4日目に細胞濃度パターン1および4で培養する区分は、0.02 5×10^6 c e l l s / m L となるように、また細胞濃度パターン2、3.5、6 で培養する区分は、 0.05×10^6 c e l l s / m L となるように 1 % h u m a n A B 血清を含む A I M Vにより希釈し(液量最大 6 m L)、何も固定化していない 12.5 c m^2 細胞培養フラスコにそれぞれ移した。各区分において終濃度 500 U / m L となるよう I L -2 を添加した。

培養開始15日目にトリパンブルー染色法にて生細胞数を計測し、培養開始時の細胞数と比較しての拡大培養率として算出した。各実験は3連で行った。その平均の各結果を表39-2に示す。

表39-2

		
	培養開始 0 日目刺激	拡大培養率 (倍率)
細胞濃度パターン1	抗CD3	1 4 2 7
	抗CD3+CH-296	2649
細胞濃度パターン2	抗CD3	3 4 0 1
	抗CD3+CH-296	3 6 9 1
細胞濃度パターン3	抗CD3	7 4 9
	抗CD3+CH-296	2508
細胞濃度パターン4	抗CD3	2 5 6
	抗CD3+CH-296	4 3 6
細胞濃度パターン5	抗CD3	1 0 9 1
	抗CD3+CH-296	1 1 7 9
細胞濃度パターン6	抗CD3+CH-296	476

表39-2に示されるように、培養開始時および継代時において種々の細胞濃度でのLAK細胞培養において、いずれの細胞濃度区分においても、対照群(抗CD3抗体のみによる刺激)と比較してCH-296および抗CD3抗体により刺激した群において高い拡大培養率が得られた。すなわち、諸状況下で変化しうる培養開始時および継代時の細胞濃度に対して、CH-296により刺激することにより、明らかに高い拡大培養率でLAK細胞を誘導・培養できることが示された。

実施例40 低血清培地(AIM V)を用いて培養したLAK細胞集団中におけるCD8陽性細胞含有比率(培養開始時、継代時の濃度)

(1) LAK細胞の誘導および培養

実施例39と同様の方法でLAK細胞を誘導・培養した。

(2) LAK細胞におけるCD8陽性細胞集団含有比率の測定

実施例4-(2)と同様の方法でCD8陽性細胞の含有率を測定した。結果を表40に示す。

	O

衣40		
	培養開始0日目刺激	CD8陽性細胞含有率(%)
細胞濃度パターン1	抗CD3	5 5
	抗CD3+CH-296	6 3
細胞濃度パターン2	抗CD3	6 2
•	抗CD3+CH-296	7 3
細胞濃度パターン3	抗CD3	7 1
	抗CD3+CH-296	7 5
細胞濃度パターン4	抗CD3	5 6
	抗CD3+CH-296	7 0
細胞濃度パターン5	抗CD3	6 1
	抗CD3+CH-296	7 0
細胞濃度パターン6	抗CD3+CH-296	7 6

表40に示されるように、培養開始時および継代時において種々の細胞濃度でのLAK細胞培養において、いずれの細胞濃度区分においても、対照群(抗CD3抗体のみによる刺激)と比較してCH-296および抗CD3抗体により刺激した群において培養中のLAK細胞中におけるCD8陽性細胞含有率を高く誘導することができた。すなわち、諸状況下で変化しうる培養開始時および継代時の細胞濃度に対して、CH-296により刺激することにより、明らかにLAK細胞中のCD8陽性細胞の含有率を高くしながらLAK細胞を誘導・培養することが可能であることが明らかとなった。

実施例41 低血清培地 (AIM V) を用いたLAK細胞培養系における拡大 培養率の測定 (高濃度・高密度培養)

LAK細胞培養系において、最終培養液量および最終培養面積を極力抑えることができれば、培地、資材および労力を低減することができる。細胞を高濃度、 高密度で培養したときの拡大培養率に及ぼす影響を確認した。

継代時の細胞濃度および細胞密度を抑えない区分(普通培養区分)、培養7および10日目の継代時の細胞濃度を普通培養区分のそれぞれ1.8倍および約6倍にした区分(高濃度培養区分、ただし細胞密度は濃度に比例して同じく1.8

倍および約6倍となる)、培養7および10日目の継代時の細胞濃度を普通培養区分のそれぞれ1.3倍および約2.5倍に、かつ細胞密度をそれぞれ約3.9倍および7.5倍にした区分(高濃度・高密度培養区分)を設定した。下記表41-1に上記各群での継代時細胞濃度および細胞密度を示す。

		_		_
悪	4	1	_	7

		培養0日目	培養4日目	培養7日目	培養10日目
普通培養	細胞濃度(×10 6 c	0.333	0.050	0.100	0.15
区分	ells/mL)				
	細胞密度(×10 ⁶ c	0.263	0.024	0.048	0.072
	$ells/cm^2$)				
高濃度培養	細胞濃度(×10 ⁶ c	0.333	0.050	0.180	0.893
区分	ells/mL)				
	細胞密度(×10 ⁶ c	0.263	0.024	0.086	0.429
.0 = 4.0	$ells/cm^2$				
高濃度・	細胞濃度(×10 ⁶ c	0.333	0.050	0.13	0.38
高密度培養	ells/mL)				
区分		•			
	細胞密度(×10 ⁶ c	0.263	0.024	0.186	0.543
	ells/cm²)				

(1) 抗ヒトCD3抗体およびFNフラグメント固定化

以下の実験で使用する培養器材に抗ヒトCD 3 抗体およびFNフラグメントを固定化した。すなわち 12 穴細胞培養プレートに抗ヒトCD 3 抗体(終濃度 5 μ g/mL)を含むPBSを 1 9 mLずつ添加した。この時、FNフラグメント添加群には製造例 1 に記載のフィブロネクチンフラグメント(CH -2 9 6)を終濃度 2 5 μ g/mLとなるように添加した。対照として、CH -2 9 6を添加しない群も設定した。

これらの培養器材を室温で5時間インキュペート後、使用時まで4℃で保存した。使用直前にはこれらの培養器材から抗ヒトCD3抗体・CH-296を含むPBSを吸引除去後、各ウェルをPBSで2回、RPMI培地で1回洗浄し各実験に供した。

(2) LAK細胞の誘導および培養

各培養区分とも1%のhumanAB血清を含むAIM Vに0.33×10 6 cells/mLとなるように、実施例1-(1)で調製したPBMCを懸濁後、実施例41-(1)で調製した抗ヒトCD3抗体固定化プレート、または抗ヒトCD3抗体およびCH-296固定化プレートに3mL/ウェルずつまき、終濃度1000U/mLとなるようにIL-2を添加した。これらのプレートを5%CO2中37℃で培養した(培養0日目)。

培養開始後4日目に各培養区分とも、 0.05×10^6 cells/mLとなるように1%humanAB血清を含むAIM Vにより希釈し(液量最大6 mL)、何も固定化していない12.5 cm²細胞培養フラスコに移した。各区分において終濃度500U/mLとなるようIL-2を添加した。

培養開始後7日目には、普通培養区分は 0.1×10^6 cells/mLとなるように、高濃度培養区分は 0.18×10^6 cells/mLとなるように1% human AB血清を含むAIM Vにより希釈し(液量最大6 mL)、何も固定化していない12.5 cm²細胞培養フラスコに移した。また、高濃度・高密度培養区分は 0.13×10^6 cells/mLとなるように1% human AB血清を含むAIM Vにより希釈し(液量最大9 mL)、何も固定化していない25 cm²細胞培養フラスコを立てたものに移した。各区分において終濃度500 U/mLとなるようIL-2 を添加した。

培養開始後10日目には、普通培養区分は0.15×10 6 cells/mLとなるように、高濃度培養区分は0.893×10 6 cells/mLとなるように1%humanAB血清を含むAIM Vにより希釈し(液量最大6mL)、何も固定化していない12.5 cm²細胞培養フラスコに移した。また、高濃度・高密度培養区分は0.38×10 6 cells/mLとなるように1%humanAB血清を含むAIM Vにより希釈し(液量最大9mL)、何も固定化していない25cm²細胞培養フラスコを立てたものに移した。各区分において終濃度500U/mLとなるようIL-2を添加した。

培養開始後11日目には各区分に終濃度500U/mLとなるようIL-2を添加した。

培養開始15日目にトリパンブルー染色法にて生細胞数を計測し、培養開始時の細胞数と比較しての拡大培養率として算出した。各実験は2連で行った。その平均の各結果を41-2に示す。

表41-2

	培養開始0日目刺激	拡大培養率(倍率)
普通培養区分	抗CD3	6 0 1
	抗CD3+CH-296	2325
高濃度培養区分	抗CD3	1 1 2
	抗CD3+CH-296	1 1 3 1
高濃度・高密度培養区分	抗CD3	2 1 5
	抗CD3+CH-296	1 3 0 7

表41-2に示されるように、普通培養区分あるいは高濃度培養区分あるいは高濃度・高密度培養区分において、いずれの区分においても、対照群(抗CD3 抗体のみによる刺激)と比較してCH-296および抗CD3抗体により刺激した群において高い拡大培養率が得られた。すなわち、培地、資材および労力を低減することができる高濃度・高密度培養においてCH-296による刺激により明らかに拡大培養に対する効果が認められた。

実施例42 低血清培地(AIM V)を用いて培養したLAK細胞集団中におけるCD8陽性細胞含有比率(高濃度、高密度培養)

(1) LAK細胞の誘導および培養

実施例41と同様の方法でLAK細胞を誘導・培養した。

(2) LAK細胞におけるCD8陽性細胞集団含有比率の測定

実施例4-(2)と同様の方法でCD8陽性細胞の含有率を測定した。結果を表42に示す。

垂	1	າ
æ	-3	_

X 4 2		
	培養開始 0 日目刺激	CD8陽性細胞含有率(%)
普通培養区分	抗CD3	5 3
自 四 元 英 产 力	抗CD3+CH-296	6 3
高濃度培養区分	抗CD3	5 5
问极及石型巨力	抗CD3+CH-296	7 2
高濃度・高密度培養区分	抗CD3	6 3
III WELL III WELL III	抗CD3+CH-296	6 5

表42に示されるように、普通培養区分あるいは高濃度培養区分あるいは高濃度・高密度培養区分において、いずれの区分においても、対照群(抗CD3抗体のみによる刺激)と比較してCH-296および抗CD3抗体により刺激した群において培養中のLAK細胞中におけるCD8陽性細胞含有率を高く誘導することができた。すなわち、培地、資材および労力を低減することができる高濃度・高密度培養においてCH-296による刺激により、明らかにLAK細胞中のCD8陽性細胞の含有率を高くしながらLAK細胞を誘導・培養することが可能であることが明らかとなった。

実施例43 低血清培地 (AIM V) を用いたLAK細胞培養系における拡大 培養率の測定 (血清濃度0%、0.15%、5%→0.1%)

LAK細胞培養において1回に30mLを採血すると、大体15mLの血漿が得られる。これを最終10Lまでの培地により培養することを考慮すると、血漿 濃度として0.15%となる。また、5%の血漿濃度から培養を開始すると4日目以降、細胞を継代、希釈するときの培地における血漿濃度は0.1%程度となる。以上を鑑みてLAK細胞培養系における血清濃度の影響を確認した。

培養開始時にhumanAB血清が0%、0.15%あるいは5%それぞれ含まれる区分を設定した。各濃度のhumanAB血清を含むAIM Vに0.3 3×10^6 cells/mLとなるように実施例1-(1) で調製したPBMC

PCT/JP2004/012238

WO 2005/019450

を懸濁後、実施例41-(1) で調製した抗ヒトCD 3 抗体固定化プレート、または抗ヒトCD 3 抗体およびCH-296 固定化プレートに3mL/ウェルずつまき、終濃度1000 U/mLとなるようにIL-2 を添加した。これらのプレートを5%CO。中37%で培養した(培養0日目)。

培養開始後4日目に0%、0.15%humanAB血清を含むAIM Vで培養した区分は、最大0.05×10 6 cells/mLとなるように、それぞれ0%あるいは0.15%humanAB血清を含むAIM Vにより希釈し、何も固定化していない12.5 cm²細胞培養フラスコに培養液を移した(液量2.5mL)。5%humanAB血清を含むAIM Vで培養した区分は、0.05×10 6 cells/mLとなるように0.1%humanAB血清を含むAIM Vにより希釈し(液量6mL)、何も固定化していない12.5 cm²細胞培養フラスコに移した。各区分において終濃度500U/mLとなるようIL-2を添加した。

培養開始7日目には0%、0.15%humanAB血清を含むAIM Vで培養した区分はそれぞれ同濃度の血清を含むAIM Vにより 0.11×10^6 cells/mLとなるように希釈し、何も固定化していない新しい25 cm² 細胞培養フラスコを立てたものに移した(液量最大12.6 mL)。5% humanAB血清を含むAIM Vで培養した区分は、0.1% humanAB血清を含むAIM Vで培養した区分は、0.1% humanAB血清を含むAIM Vにより 0.11×10^6 cells/mLとなるように希釈し、何も固定化していない新しい25 cm² 細胞培養フラスコを立てたものに移した(液量最大12.6 mL)。各区分において終濃度500 U/mLとなるようIL-2 を添加した。

培養開始 10 日目には 0%、0.15% h u m a n A B 血清を含む A I M V で培養した区分はそれぞれ同濃度の血清を含む A I M V により 0.22×10 c e l l s / m L となるように希釈し、何も固定化していない新しい 25 c m 7 細胞培養フラスコを立てたものに移した(液量最大 12.6 m L)。 5% h u

manAB血清を含むAIM Vで培養した区分は、0.1%humanAB血清を含むAIM Vにより 0.6×10^6 cells/mLとなるように希釈し、何も固定化していない新しい25 cm²細胞培養フラスコを立てたものに移した(液量最大12.6mL)。各区分において終濃度500U/mLとなるようIL-2を添加した。

培養開始15日目にトリパンブルー染色法にて生細胞数を計測し、培養開始時の細胞数と比較しての拡大培養率として算出した。各実験は2連で行った。その平均の各結果を表43に示す。

双寸 0		
血清濃度・培地	培養開始 0 日目刺激	拡大培養率(倍率)
0 % A I M V	抗CD3	2 5
0	抗CD3+CH-296	3 2 2
0. 15%AIM V	抗CD3	4 2
0. 10.01110	抗CD3+CH-296	197.
5%→0.1%AIM V	抗CD3	1 7 5
	抗CD3+CH-296	3 5 3

表43に示されるように、各血清濃度を含んだAIM V培地を用いてのLA K細胞培養において、いずれの血清濃度区分においても、対照群(抗CD3抗体 のみによる刺激)と比較してCH-296および抗CD3抗体により刺激した群 において高い拡大培養率が得られた。すなわち、30mL採血を想定した血清濃度におけるLAK細胞培養において、CH-296および抗CD3抗体により刺激することで、明らかに高い拡大培養率でLAK細胞を誘導・培養することができた。また、このときの培養における細胞は高濃度・高密度であり、CH-296で刺激することにより、このような条件下においても、明らかに高い拡大培養率であり、CH-296の有効性が認められた。

実施例44 低血清培地(AIM V)を用いたLAK細胞培養系における拡大

培養率の測定(血清濃度 3 %→1 %→0 %→0 %、3 %→1 %→0. 1 %→0 %、3 %→0. 5 %→0. 2 %→0. 2 % (最終培養液量約半量)、3 %→0. 5 %→0. 2 %→0. 0 5 %)

実施例43と同様の観点で30mL採血により得られる血漿濃度を考慮してLAK細胞培養系における血清濃度の影響を確認した。

humanAB血清濃度は培養開始時は3%で、培養4日目に1%あるいは0.5%humanAB血清を含むAIM V培地で細胞を希釈する群、培養7日目に0%、0.1%あるいは0.2%humanAB血清を含むAIM V培地で細胞を希釈する群、培養10日目に0%、0.05%あるいは0.2%humanAB血清を含むAIM V培地で細胞を希釈する群、培養10日目に0%、0.05%あるいは0.2%humanAB血清を含むAIM V培地で細胞を希釈する群をそれぞれ設定した。下記表44-1に上記パターンを示す。

表44-1

	培養開始4日目	培養開始7日目	培養開始10日目
血清濃度パターン1	1 %	0 %	0 %
血清濃度パターン2	1 %	0.1%	0 %
血清濃度パターン3	0.5%	0. 2%	0.2%
血清濃度パターン4	0.5%	0.2%	0.05%_

^{*}細胞培養液を希釈する培地に含まれるhumanAB血清濃度を示す

3%のhumanAB血清を含むAIM Vに0.33×10 6 cells/mLとなるように実施例1 $^-$ (1)で調製したPBMCを懸濁後、実施例41 $^-$ (1)で調製した抗ヒトCD3抗体固定化プレート、または抗ヒトCD3抗体およびCH $^-$ 296固定化プレートに3mL/ウェルずつまき、終濃度1000U/mLとなるようにIL $^-$ 2を添加した。これらのプレートを5%CO $_2$ 中37℃で培養した(培養0日目)。

培養開始後4日目に血清濃度パターン1および2で培養する区分は、0.05 × 10^6 c e l l s / m L となるように1% h u m a n A B 血清を含む A I M V により希釈し(液量6 m L)、何も固定化していない 12.5 c m^2 細胞培養

培養開始7日目には血清濃度パターン1で培養する区分は、 0.28×10^6 cells/mLとなるようにhumanAB血清を含まないAIM Vにより希釈し (液量12.6mL)、また血清濃度パターン2で培養する区分は、 0.28×10^6 cells/mLとなるように0.1%humanAB血清を含むAIM Vにより希釈し (液量12.6mL)、何も固定化していない新しい25cm²細胞培養フラスコを立てたものにそれぞれ移した。血清濃度パターン3 および4で培養する区分は、 0.48×10^6 cells/mLとなるように0.2%humanAB血清を含むAIM Vにより希釈し(液量12.6mL)、何も固定化していない新しい25cm²細胞培養フラスコを立てたものに移した。各区分において終濃度500U/mLとなるようIL-2を添加した。

培養開始 10日目には血清濃度パターン 1 および 2 で培養する区分は、0.5 1×10^6 cells/mLとなるように 1 human AB 血清を含まない AIM Vにより希釈し(液量 12.6 mL)、何も固定化していない新しい 25 cm² 細胞培養フラスコを立てたものに移した。血清濃度パターン 3 で培養する区分は、 0.839×10^6 cells/mLとなるように 0.2% human AB 血清を含む AIM Vにより希釈し(液量 12.6 mL)、また血清濃度パターン 4 で培養する区分は、 0.43×10^6 cells/mLとなるように 0.05% human AB 血清を含む AIM Vにより希釈し(液量 12.6 mL)、何も固定化していない新しい 25 cm² 細胞培養フラスコを立てたものにそれぞれ移した。各区分において終濃度 500 U/mLとなるよう 1 L-2 を添加した。

培養開始15日目にトリパンブルー染色法にて生細胞数を計測し、培養開始時

の細胞数と比較しての拡大培養率として算出した。各実験は2連で行った。その 平均の各結果を表44-2に示す。

表44-2

	培養開始0日目刺激	拡大培養率(倍率)
血清濃度パターン1	抗CD3	182
	抗CD3+CH-296	425
血清濃度パターン2	抗CD3	195
	抗CD3+CH-296	430
血清濃度パターン3 (最終培養液量半量)	抗CD3	1 0 1
	抗CD3+CH-296	2 4 2
血清濃度パターン4	抗CD3	190
	抗CD3+CH-296	4 1 6

表44-2に示されるように、各血清濃度を含んだAIM V培地を用いてのLAK細胞培養において、いずれの血清濃度区分においても、対照群(抗CD3抗体のみによる刺激)と比較してCH-296および抗CD3抗体により刺激した群において高い拡大培養率が得られた。すなわち、30mL採血を想定した血清濃度におけるLAK細胞培養において、CH-296および抗CD3抗体により刺激することで、抗CD3抗体単独で刺激するよりも、明らかに高い拡大培養率でLAK細胞を誘導・培養することができた。また、このときの培養における細胞は高濃度・高密度であり、CH-296で刺激することにより、このような条件下においても、明らかに高い拡大培養率であり、CH-296の有効性が認められた。

実施例45 低血清培地(AIM V)を用いたLAK細胞培養系における拡大 培養率の測定(細胞培養用フラスコおよび細胞培養用CO₂ガス透過性バッグを 組み合わせた培養)

(1) LAK細胞の誘導および培養

実施例36-(2)と同様の方法でLAK細胞を誘導・培養した。結果を表4

5に示す。

血清濃度・培地	抗CD3±CH-296 刺激期間	培養日数	フィブロネクチン フラグメント	拡大培養率 (倍率)
1%AIM V	4日間	15日間	対照 (FNfr非固定化)	×327
1%AIM V	4 日間	15日間	CH-296	×566
1%AIM V	6日間	15日間	対照(FNfr非固定化)	×371
1%AIM V	6日間	15日間	CH-296	×425

表45に示されるように、低濃度(1%)の血清を含んだ培地(AIM V)を用いて、細胞培養用フラスコおよび細胞培養用CO₂ガス透過性バッグを組み合わせたLAK細胞誘導初期に各フィブロネクチンフラグメントを固定化した細胞培養用フラスコを使用した群においては、対照群に比較してLAK細胞の拡大培養率が高い。このことから各フィブロネクチンフラグメントは低濃度の血清を含んだ培地を用いて、細胞培養用フラスコおよび細胞培養用CO₂ガス透過性バッグを組み合わせたLAK細胞培養時に好適に使用されることが明らかとなった

実施例46 新鮮分離PBMCおよび自己血漿含有培地を用いたLAK細胞培養系における拡大培養率の測定(0.5%自己血漿を含むAIM V培地・細胞培養用フラスコおよび細胞培養用CO2ガス透過性バッグを組み合わせた培養)

(1) PBMCの分離および保存

インフォームド・コンセントの得られたヒト健常人ドナーより採血用注射筒にて30mL採血を実施後、採血液を500×g 20分間遠心し、自己血漿およびバフィーコート層を回収した。回収したバフィーコート層はPBSで希釈後Ficoll-paque(ファルマシア社製)上に重層して500×gで20分間遠心分離した。中間層の末梢血単核細胞(PBMC)をピペットで回収、洗浄した。採取した新鮮分離PBMCはトリパンブルー染色法にて生細胞数を算出し

て各実験に供した。

回収した自己血漿は56℃30分非働化後、800×gで30分間遠心分離し、 その上清を非働化自己血漿として使用した(以下自己血漿と略す)。

(2) 抗ヒトCD3抗体およびFNフラグメント固定化

以下の実験で使用する培養器材(25cm²細胞培養用フラスコ)に実施例35-(1)と同様に抗ヒトCD3抗体およびFNフラグメントを固定化した。使用直前にはこれらの培養器材から抗体・FNfrを含むPBSを除去後、各フラスコをPBSで2回、AIM V培地で1回洗浄し各実験に供した。

(3) LAK細胞の誘導および培養

0.5%自己血漿を含むAIM V(以下0.5%自己血漿AIM Vと略す)に1×10⁶ cells/mLとなるように実施例46-(1)で調製した新 鮮分離PBMCを懸濁後、実施例46- (2) で調製した抗ヒトCD3抗体固定 化フラスコ、または抗ヒトCD3抗体およびFNfr固定化フラスコに3mL/フラスコずつ細胞懸濁液を入れ、終濃度1000U/mLとなるように IL-2 を添加した。これらのフラスコを5%CO。中37℃で培養した(培養0日目) 。培養開始後1日目には1000U/mLのIL-2を含む0.5%自己血漿A IM Vを7mL/フラスコずつ添加した。培養開始後4日目には培養液を何も 固定化していない85cm²細胞培養用CO。ガス透過性バッグ(オプティサイ トバッグまたはX-Foldバッグ バクスター社製)に移した後、0.5%自 己血漿AIM Vを20mL/バッグずつ添加し、終濃度500U/mLとなる よう I L - 2 を添加した。培養開始 6 日目には 0. 5% 自己血漿 / A I M Vを 30 mL / バッグずつ添加し、終濃度 500 U / mL となるよう I L - 2 を添加した。培養開始後8日目には培養液の一部を適宜希釈した後、何も固定化してい ない85cm² 細胞培養用CO。ガス透過性バッグ(オプティサイトバッグまた はX-Foldバッグ)に移し、終濃度500U/mLとなるようIL-2を添 加した。培養開始11、13日目には終濃度500U/mLとなるようIL-2

を添加した。培養開始15日目にトリパンブルー染色法にて生細胞数を計測し、 培養開始時の細胞数と比較しての拡大培養率として算出した。結果を表46に示 す。

夷	4	6
4X		v

血漿濃度・培地・細胞培養 用C02ガス透過性バッグ	PBMC ドナー	培養日数	フィプロネクチン フラグメント	拡大培養率 (倍率)
0.5%自己血漿AIM V ・オプティサイトバッグ	A	15日間	対照 (FNfr非固定化)	× 2 2
・オファイリイトハッシ 0.5%自己血漿AIM V ・オプティサイトバッグ	Α	15日間	CH-296	× 2 5 9
0.5%自己血漿AIM V	Α	15日間	CH-296	× 3 6 0
·X-Foldパッグ 0.5%自己血漿AIM V	В	15日間	対照 (FNfr非固定化)	× 3 4
・オプティサイトバッグ 0.5%自己血漿AIM V	В	15日間	CH-296	×432
・オプティサイトバッグ0.5%自己血漿AIM V・X-Foldバッグ	В	15日間	CH-296	×360

表46に示されるように、低濃度(0.5%)の自己血漿を含んだ培地(AIM V)を用いて、細胞培養用フラスコおよび細胞培養用CO2ガス透過性バッグを組み合わせたLAK細胞誘導初期に各フィブロネクチンフラグメントを固定化した細胞培養用フラスコを使用した群においては、細胞培養用CO2ガス透過性バッグの種類によらずLAK細胞の拡大培養率が高い。このことから各フィブロネクチンフラグメントは低濃度の血漿を含んだ培地を用いての細胞培養用フラスコおよび細胞培養用CO2ガス透過性バッグを組み合わせたLAK細胞培養時に好適に使用されることが明らかとなった。

実施例47 新鮮分離PBMCおよび自己血漿含有培地を用いたLAK細胞集団中におけるCD8陽性細胞比率の測定(0.5%自己血漿を含むAIM V培地・細胞培養用フラスコおよび細胞培養用CO2ガス透過性バッグを組み合わせた

培養)

(1) LAK細胞の誘導および培養

実施例46-(3)と同様の方法でLAK細胞を誘導。培養した。培養開始15日目に実施例4-(2)と同様の方法でCD8陽性細胞の含有率を測定した。 結果を表47に示す。

表47

血漿濃度・培地・細胞培養 用CO2ガス透過性バッグ	PBMC ドナー	培養日数	フィプロネクチン フラグメント	CD8細胞陽性 比率(%)
0.5%自己血漿 A I M V ・オプティサイトバッグ	В	15日間	対照(FNfr非固定化)	45.0
0.5%自己血漿 A I M V ・オプティサイトバッグ	В	15日間	CH-296	89.8
0.5%自己血漿AIM V ・X-Foldバッグ	В	15日間	CH-296	90.0

表47に示されるように、低濃度(0.5%)の自己血漿を含んだ培地(AIM V)を用いて、細胞培養用フラスコおよび細胞培養用CO2ガス透過性バッグを組み合わせたLAK細胞誘導初期に各フィブロネクチンフラグメントを固定化した細胞培養用フラスコを使用した群においては、細胞培養用CO2ガス透過性バッグの種類によらずLAK細胞集団中のCD8細胞陽性比率が高い。このことから各フィブロネクチンフラグメントは低濃度の血漿を含んだ培地を用いての細胞培養用フラスコおよび細胞培養用CO2ガス透過性バッグを組み合わせたLAK細胞培養時に好適に使用されることが明らかとなった。

実施例48 新鮮分離PBMCおよび自己血漿含有培地を用いたLAK細胞培養系における拡大培養率の測定(0.5%自己血漿を含むAIM V培地・細胞培養用フラスコおよび細胞培養用CO2ガス透過性バッグを組み合わせた培養)

(1) 抗ヒトCD3抗体およびFNフラグメント固定化

以下の実験で使用する培養器材(25cm²細胞培養用フラスコ)に実施例3

5-(1) と同様に抗ヒトCD3抗体およびFNフラグメントを固定化した。使用直前にはこれらの培養器材から抗体・FNfrを含むPBSを除去後、各フラスコをPBSで2回、AIM V培地で1回洗浄し各実験に供した。

(2) LAK細胞の誘導および培養

0.5%自己血漿を含むAIM V(以下0.5%自己血漿AIM Vと略す) に1×10⁶ cells/mLとなるように実施例46-(1) と同様の方法 で調製した新鮮分離PBMCを懸濁後、実施例48- (1)で調製した抗ヒトC D3抗体固定化フラスコ、または抗ヒトCD3抗体およびFNfr固定化フラス コに3mL/フラスコずつ細胞懸濁液を入れ、終濃度1000U/mLとなるよ うにⅠL-2を添加した。これらのフラスコを5%CO2中37℃で培養した(培養0日目)。培養開始後1日目には1000U/mLのIL-2を含む0.5 %自己血漿 AIM Vを7mL/フラスコずつ添加した。培養開始後4日目には 培養液を何も固定化していない85cm²細胞培養用CO2ガス透過性バッグ(オプティサイトバッグ) に移した後、0.5%自己血漿AIM Vを20mL/ バッグずつ添加し、終濃度500U/mLとなるようIL-2を添加した。培養 開始6日目には0.5%自己血漿/AIM Vを30mL/バッグずつ添加し、 終濃度500U/mLとなるようIL-2を添加した。培養開始後8日目には培 養液の一部を適宜希釈した後、何も固定化していない85cm² 細胞培養用CO 2 ガス透過性バッグ(オプティサイトバッグ)に移し、終濃度500U/mLと なるようIL-2を添加した。培養開始11、13日目には終濃度500U/m Lとなるよう I L - 2を添加した。

また、同様に4日目まで培養した培養液を何も固定化していない $180 \, \mathrm{cm}^2$ 細胞培養用 CO_2 ガス透過性バッグに一部($10 \, \mathrm{mL}$ 中 $7 \, \mathrm{mL}$)移した後、 $0.5 \, \mathrm{ml}$ からるよう IL-2 を添加した。培養開始 $6 \, \mathrm{H}$ 目には $0.5 \, \mathrm{ml}$ があるよう IL-2 を添加した。培養開始 $6 \, \mathrm{H}$ 目には $0.5 \, \mathrm{ml}$ があるよう IL-2

を添加した。培養開始後8日目には培養液の一部を適宜希釈した後、何も固定化していない180cm²細胞培養用CO2ガス透過性バッグ(オプティサイトバッグ)に移し、終濃度500U/mLとなるようIL-2を添加した。培養開始11、13日目には終濃度500U/mLとなるようIL-2を添加した。この際培養開始11日目に0.5%自己血漿/AIM Vを130mL添加する系も設定した。培養開始15日目にトリパンブルー染色法にて生細胞数を計測し、培養開始時の細胞数と比較しての拡大培養率として算出した。結果を表48に示す

表48

					
血漿濃度・培地・細胞	バッグ	11日目	培養	フィブロネクチンフ	拡大
培養用CO2ガス透過性	培養面積	培地添加	日数	ラグメント	培養率
バッグ					(倍率)
0.5%自己血漿 A I M	8 5 cm ²	+> 1	16 (2) 88	+1 m	
	8 2 5 7 11 2	なし	15日間	対照	$\times 22$
▽・オブ。ティサイトハ、ック。				(FNfr非固定化)	
0.5%自己血漿AIM	8 5 cm ²	なし	15日間	CH - 296	$\times 259$
V ・ オプ ティサイトパック゚					
0.5%自己血漿AIM	180 cm ²	なし	15日間	CH-296	×473
V ・オブ ティサイトハ ック *					~ 110
		مد بد			
0.5%自己血漿AIM	$180\mathrm{cm}^2$	あり	15日間	CH-296	×911
V • オプ ティサイトパック゚					

表48に示されるように、低濃度(0.5%)の自己血漿を含んだ培地(AIM V)を用いて、細胞培養用フラスコおよび細胞培養用CO₂ガス透過性バッグを組み合わせたLAK細胞誘導初期に各フィブロネクチンフラグメントを固定化した細胞培養用フラスコを使用した群においては、細胞培養用CO₂ガス透過性バッグの培養面積・培養方法・最終培地量によらずLAK細胞の拡大培養率が高い。このことから各フィブロネクチンフラグメントは低濃度の血漿を含んだ培地を用いての細胞培養用フラスコおよび細胞培養用CO₂ガス透過性バッグを組み合わせたLAK細胞培養時に好適に使用されることが明らかとなった。

実施例49 新鮮分離PBMCおよび自己血漿含有培地を用いたLAK細胞集団中におけるCD8陽性細胞比率の測定(0.5%自己血漿を含むAIM V培地・細胞培養用フラスコおよび細胞培養用CO2ガス透過性バッグを組み合わせた培養)

(1) LAK細胞の誘導および培養

実施例48-(2)と同様の方法でLAK細胞を誘導。培養した。培養開始15日目に実施例4-(2)と同様の方法でCD8陽性細胞の含有率を測定した。 結果を表49に示す。

表 4 9					
血漿濃度・培地・細胞	バッグ	11日	培養	フィプロネクチン	CD8細胞
培養用CO2ガス透過性	培養面積	目培地	日数	フラグメント	含有比率
バッグ		添加			(%)
0.5%自己血漿AIM	8 5 cm ²	なし	15日間	対照	37.4
V ・オブ ティサイトハ ック ·				(FNfr非固定化)	
0.5%自己血漿AIM	8 5 cm ²	なし	15日間	CH - 296	70.0
V ・オブ ティサイトハ ック・					
0.5%自己血漿AIM	$180\mathrm{cm}^2$	なし	15日間	CH - 296	56.2
▽・オブ・ティサイトハ・ック・					
0.5%自己血漿AIM	$180\mathrm{cm}^2$	あり	15日間	CH - 296	58.4
V ・オブ ティサイトハ ック *					

表49に示されるように、低濃度(0.5%)の自己血漿を含んだ培地(AIM V)を用いて、細胞培養用フラスコおよび細胞培養用CO2ガス透過性バッグを組み合わせたLAK細胞誘導初期に各フィブロネクチンフラグメントを固定化した細胞培養用フラスコを使用した群においては、細胞培養用CO2ガス透過性バッグの培養面積・培養方法・最終培地量によらずLAK細胞集団中のCD8細胞陽性比率が高い。このことから各フィブロネクチンフラグメントは低濃度の血漿を含んだ培地を用いての細胞培養用フラスコおよび細胞培養用CO2ガス透過性バッグを組み合わせたLAK細胞培養時に好適に使用されることが明らかと

なった。

実施例50 新鮮分離PBMCおよび自己血漿含有培地を用いたLAK細胞培養培養系における細胞傷害活性の測定(0.5%自己血漿を含むAIM V培地・細胞培養用フラスコおよび細胞培養用CO2ガス透過性バッグを組み合わせた培養)

(1) LAK細胞の誘導および培養

実施例46-(3)と同様の方法でLAK細胞を誘導・培養した。

(2) 培養したLAK細胞の細胞傷害活性の測定

実施例25-(2)と同様の方法で培養後15日目のLAKの細胞傷害活性を 測定した。結果を表50に示す。

ᆂ	_	^
Z Z	•	u

血漿濃度・培地・細胞培養用 CO ₂ ガス透過性バッグ	培養日数	フィブロネクチ ンフラグメント	E/T	細胞傷害 活性(%) 標的細胞 K562	細胞傷害 活性(%) 標的細胞 Daudi
0.5%自己血漿 A I M V・ オプティサイトバッグ	15日間	対照(FNfr 非固定化)	9 0 3 0 1 0	50.9 32.9 16.9	5 6. 2 4 9. 6 3 5. 7
0.5%自己血漿AIM V・ オプティサイトバッグ	15日間	CH-296	9 0	75. 9 48. 3	6 2 . 3 5 3 . 7
<u> </u>			10	19.6	40.2

表50に示されるように、低濃度(0.5%)の自己血漿を含んだ培地(AIM V)を用いて、細胞培養用フラスコおよび細胞培養用CO2ガス透過性バッグを組み合わせたLAK細胞誘導初期に各フィブロネクチンフラグメントを固定化した細胞培養用フラスコを使用した群においては、対照群に比較してLAK細胞の細胞傷害活性が高い。このことから各フィブロネクチンフラグメントは低濃度の血漿を含んだ培地を用いての細胞培養用フラスコおよび細胞培養用CO2ガス透過性バッグを組み合わせたLAK細胞培養時に好適に使用されることが明ら

かとなった。

実施例51 新鮮分離PBMCおよび自己血漿含有培地を用いたLAK細胞培養系における拡大培養率の測定(0.5%自己血漿を含むAIM V培地・細胞培養用フラスコおよび細胞培養用CO2ガス透過性バッグを組み合わせた培養)

(1) 抗ヒトCD3抗体およびFNフラグメント固定化

以下の実験で使用する培養器材(25cm²細胞培養用フラスコ)に実施例35-(1)と同様に抗ヒトCD3抗体およびFNフラグメントを固定化した。使用直前にはこれらの培養器材から抗体・FNfrを含むPBSを除去後、各フラスコをPBSで2回、AIM V培地で1回洗浄し各実験に供した。

(2) LAK細胞の誘導および培養

0.5%自己血漿を含むAIM V(以下0.5%自己血漿AIM Vと略す)に5×10⁵ cells/mLとなるように(ただし、生細胞数の計測はチュルク液(関東化学社製)で実施した。)実施例46-(1)と同様の方法で調製した新鮮分離PBMCを懸濁後、実施例51-(1)で調製した抗ヒトCD3抗体固定化フラスコ、または抗ヒトCD3抗体およびFNfr固定化フラスコに3mL/フラスコずつ細胞懸濁液を入れ、終濃度1000U/mLとなるようにIL-2を添加した。これらのフラスコを5%CO2中37℃で培養した(培養0日目)。培養開始後1日目には1000U/mLのIL-2を含む0.5%自己血漿AIM Vを7mL/フラスコずつ添加した。培養開始後4日目には培養液を何も固定化していない180cm²細胞培養用CO2ガス透過性バッグに一部(10mL中7mL)移した後、0.5%自己血漿AIM Vを58mL/バッグずつ添加し、終濃度500U/mLとなるようIL-2を添加した。培養開始後8日目には培養液の一部を適宜希釈した後、何も固定化していない180cm²細胞培養用CO2

ガス透過性バッグ(オプティサイトバッグ)に移し、終濃度500U/mLとなるようIL-2を添加した。培養開始11、13日目には終濃度500U/mLとなるようIL-2を添加した。この際培養開始11日目に自己血漿を含まないAIM Vまたは0.5%自己血漿/AIM Vを130mL添加する系も設定した。培養開始15日目にトリパンブルー染色法にて生細胞数を計測し、培養開始時の細胞数と比較しての拡大培養率として算出した。結果を表51に示す。

===	_	1
ᄍ	อ	1

表 5 1					
血漿濃度・培地・	PBMC	. 11日	11日目添加培地	フィプロネクチン	拡大培養率
細胞培養用CO2ガス	ト・ナ-	目培地		フラグメント	(倍率)
透過性バッグ		添加			
0.5%自己血漿 A	С	なし	なし	対照	×570
IM V・オプテ				(FNfr非固定化)	
ィサイトバッグ					
		なし	なし	CH - 296	\times 1 0 3 4
		あり	0.5%自己血漿	CH - 296	\times 1 8 5 7
			AIM V		
		あり	0%自己血漿	CH - 296	\times 1 8 8 2
			AIM V		
0.5%自己血漿 A	D	なし	なし	対照	×947
IM V・オプテ				(FNfr非固定化)	
ィサイトバッグ					
		なし	なし	CH - 296	\times 1 2 1 3
		あり	0.5%自己血漿	CH - 296	\times 1 6 4 7
			AIM V		
		あり	0%自己血漿	CH - 296	\times 1 8 3 2
			AIM V		
0.5%自己血漿 A	Е	なし	なし	対照	×743
IM V・オプテ				(FNfr非固定化)	
ィサイトバッグ					
		なし	なし	CH - 296	\times 9 3 1
		あり	0.5%自己血漿	CH - 296	\times 1 9 6 0
			AIM V		
		あり	0%自己血漿	CH - 296	\times 1 7 4 7
			AIM V		

表51に示されるように、低濃度(0.5%)の自己血漿を含んだ培地(AIM V)を用いて、細胞培養用フラスコおよび細胞培養用 CO_2 ガス透過性バッグを組み合わせたLAK細胞誘導初期に各フィブロネクチンフラグメントを固定

化した細胞培養用フラスコを使用した群においては、細胞培養用CO₂ガス透過性バッグの培養面積・培養方法・最終培地量によらずLAK細胞の拡大培養率が高い。このことから各フィブロネクチンフラグメントは低濃度の血漿を含んだ培地を用いての細胞培養用フラスコおよび細胞培養用CO₂ガス透過性バッグを組み合わせたLAK細胞培養時に好適に使用されることが明らかとなった。

実施例52 新鮮分離PBMCおよび自己血漿含有培地を用いたLAK細胞集団中におけるCD8陽性細胞比率測定(0.5%自己血漿を含むAIM V培地・細胞培養用フラスコおよび細胞培養用CO2ガス透過性バッグを組み合わせた培養)

(1) LAK細胞の誘導および培養

実施例51-(2)と同様の方法でLAK細胞を誘導・培養した。培養開始15日目に実施例4-(2)と同様の方法でCD8陽性細胞の含有率を測定した。 結果を表52に示す。

表52

血漿濃度・培地・ 細胞培養用CO ₂ ガス 透過性パッグ	PBMC ドナー	11日 目培地 添加	11日目添加培地	フィブロネクチン フラグメント	CD8陽性細 胞率 (%)
0.5%自己血漿 A IM V・オプティサイトバッグ	С	なし	なし	対照 (FNfr非固定化)	59.1
		なし	なし	CH - 296	80.8
		あり	0.5%自己血漿 AIM V	CH-296	83.3
		あり	0%自己血漿 A I M V	CH-296	83.6
0.5%自己血漿 A IM V・オプテ ィサイトバッグ	D ·	なし	なし	対照 (FNfr非固定化)	77.2
		なし	なし	CH - 296	83.4
		あり	0.5%自己血漿 AIM V	CH-296	84.0
		あり	0%自己血漿 A I M V	CH-296	85.9
0.5%自己血漿 A IM V・オプティサイトバッグ	E	なし	なし	対照 (FNfr非固定化)	72.6
		なし	なし	CH - 296	84.6
·		あり	0.5%自己血漿 AIM V	CH-296	86.8
		あり	0%自己血漿 AIM V	CH-296	89.4

表52に示されるように、低濃度(0.5%)の自己血漿を含んだ培地(AIM V)を用いて、細胞培養用フラスコおよび細胞培養用CO2ガス透過性バッグを組み合わせたLAK細胞誘導初期に各フィブロネクチンフラグメントを固定化した細胞培養用フラスコを使用した群においては、細胞培養用CO2ガス透過性バッグの培養面積・培養方法・最終培地量によらずLAK細胞集団中のCD8陽性細胞比率が高い。このことから各フィブロネクチンフラグメントは低濃度の血漿を含んだ培地を用いての細胞培養用フラスコおよび細胞培養用CO2ガス透過性バッグを組み合わせたLAK細胞培養時に好適に使用されることが明らかと

なった。

実施例 5.3 低血清培地 (A I M V) を用いたLAK細胞培養系における I L -2 レセプター (I L -2 R) 発現の誘導

(1) LAK細胞の誘導および培養

実施例1-(3)と同様の方法でLAK細胞を誘導・培養した。この際使用する培地を1%humanAB血清を含むAIM V培地に変更した。

(2) LAK細胞におけるIL-2R発現率の測定

実施例3-(2)と同様の方法で、IL-2R発現陽性細胞含有率を測定した。結果を表53に示す。かかる表ではIL-2R発現陽性細胞含有率(%)をIL-2R発現率(%)と表示する。

表53

血清濃度・培地	フィプロネクチン フラグメント	IL-2R発現率 (%)
1%AIM V	対照 (FNfr非固定化)	23.5
1%AIM V	CH-296	27. 2

表53に示されるように、低濃度の血清を含んだAIM V培地を用いてのLAK細胞誘導初期各フィブロネクチンフラグメントを固定化した培養器材を使用した群においては、培養中のLAK細胞表面上におけるIL-2R発現率を高く誘導することができた。すなわち低濃度の血清を含んだ培地を用いてLAK細胞を誘導する際にフィブロネクチンフラグメントを共存させることにより、IL-2R発現率を高くしながらLAK細胞を誘導・培養することが可能であることが明らかとなった。

実施例54 レトロネクチン変異体タンパク質の発現(CH-296Na)

(1) CH-296Na発現ベクターの構築

- 配列番号27、28の合成DNAプライマー(それぞれPrimer СH-「296Na1およびPrimer CH-296Na2)を用い、CH-296 発現ベクターであるpCH102を鋳型にPCR反応を行い、得られたDNA断 片をNde IおよびHind IIIで制限酵素処理した。一方、国際公開第99 /27117号パンフレットの実施例5記載のpCold04から同パンフレッ トの実施例4の方法に従い調製した翻訳開始コドンのところにNdelサイトを 有するpCold14ND2ベクターを作製した。pCold14ND2ベクタ ーのNdeIーHindIII制限酵素部位に前記DNA断片を挿入することで 、ベクターpCold14ND2-CH296を得た。次に、フィブロネクチン の細胞結合ドメインの一部からC末端までをコードするcDNAを有するpLF 2435ベクターを鋳型に、配列番号28、29の合成DNAプライマー(それ ぞれPrimer CH-296Na2およびPrimer CH-296Na 3)を用いてPCR反応を行い、得られたDNA断片をBamHIおよびHin dIIIで制限酵素処理した。こうして得られたDNA断片をpCold14N D2-CH296をBamHIおよびHindIIIで制限酵素処理したものと ライゲーションすることによりCH-296Na発現用ベクターを作成した。

(2) CH-296Naの発現、精製

後菌体を遠心分離により集め、菌体容量の4倍量の細胞破砕溶液 [50mM Tris-HCl(pH7.5), 1mM EDTA, 1mM DTT, 1mM PMSF, 50mM NaCl] に再懸濁した。超音波破砕により菌体を破砕し、遠心分離 (11,000rpm 20分) により上清の抽出液と沈殿とに分離した。これを2LのbufferA [50mM Tris-HCl(pH7.5),50mM NaCl] で透析を行い、その約40mLを用いてさらにイオン交換クロマトによる精製を以下のように行なった。

すなわち、樹脂容積にして100mL分のSP-Sepharose(アマシャムファルマシア社製)をbufferAで飽和させたカラム(Φ4cm 20cm)を準備し、これに透析後のサンプルをアプライした。300mLのbufferAでカラムを洗浄した後、bufferB[50mM Tris-HC1(pH7.5),200mM NaC1]、bufferC[50mM Tris-HC1(pH7.5),300mM NaC1]、bufferD[50mM Tris-HC1(pH7.5),500mM NaC1]の各200mLを用いて順にカラムからの溶出を行い、約100mLずつ分取し画分1~6を得た。分取した分画を、10%SDS-PAGEに供じた結果、分子量約71kDaの目的タンパク質を多く含むことが分かった画分2、3(約200mL)を回収し、2LのbufferAで透析を行なった。

次に、樹脂容積にして50mL分のQ-Sepharose(アマシャムファルマシア社製)をbufferAで飽和させたカラム(Φ3cm 16cm)を準備し、これに透析後のサンプルをアプライした。カラムを200mLのbufferAで洗浄した後、bufferE[50mM Tris-HC1(pH7.5),140mM NaC1]、bufferB、bufferCの各150mLを用いて順にカラムからの溶出を行い、約100mLずつ分取し画分1~5を得た。10%SDS-PAGEに供じた結果、目的タンパク質のみを多く含むことが分かった画分1 約100mLを回収し、2LのbufferF[50m

M 炭酸ナトリウム緩衝液 pH9.5]で透析を行なった。

その後、セントリコン-10(ミリポア社製)で約4倍の25mLまで濃縮を行い、10%SDS-PAGEで確認したところ、分子量約71kDaの目的タンパク質がほぼ単一バンドで検出され、これをCH-296Naとした。その後、MicroBCAキット(ピアース社製)を使用して、タンパク質濃度を測定したところ、3.8mg/mLであった。

実施例 5 5 低血清培地(A I M V)を用いたLAK細胞培養系における拡大 培養率の測定(血清濃度 $5\% \to 1\% \to 0\% \to 0\%$ 、 $5\% \to 1\% \to 0$. $05\% \to 3\% \to 1\% \to 0$. $05\% \to 3\% \to 1\% \to 0$. $1\% \to 0$. $1\% \to 0$. $1\% \to 0$. $1\% \to 0$. $05\% \to 1\% \to 0$. $1\% \to 0$. $1\% \to 0$.

実施例43と同様の観点で30mL採血により得られる血漿濃度を考慮してLAK細胞培養系における血清濃度の影響を確認した。

humanAB血清濃度は培養開始時に5%、3%あるいは1%含有する区分を設定し、以降下記表54に示すhumanAB血清濃度を含むAIM V培地により希釈する群をそれぞれ設定した。なお、下記表54に示すように各継代日に継代濃度を変更した区分もそれぞれ設定した。

表54 血清濃度パターン

培養開始 培養開始 培養開始 培養開始 0日目 4日目 7日目 10日目 血清濃度パターン 血清濃度 5% 1% 0% 0% 1-1 総代濃度 - 0.1 0.321 0.873 血清濃度パターン 血清濃度 5% 1% 0.05% 0.05% 1-2 総代濃度 - 0.2 0.321 0.841 血清濃度パターン 血清濃度 3% 1% 0.05% 0.05% 2-1 総代濃度 - 0.1 0.321 0.746 血清濃度パターン 血清濃度 3% 1% 0.1% 0.05% 2-2 総代濃度 - 0.2 0.321 0.643 血清濃度パターン 血清濃度 1% 1% 0.1% 0.05% 3-2 総代濃度 - 0.05 0.417 1.214 血清濃度パターン 血清濃度 1% 1% 0.1% 0.05% 3-2 総代濃度 - 0.05 0.1% 総代、培養開始 血清濃度 1% 1% 0.1% 総代、培養開始 血清濃度 0.05 0.1% 0.05% 血清濃度 0.05 0.1% 0.05% 金融 0.05 0.23 0.05%	衣口4 皿佣破皮/	1) /				
 血清濃度パターン 血清濃度 5% 1% 0% 0% 1-1 総代濃度 - 0.1 0.321 0.873 血清濃度パターン 血清濃度 5% 1% 0.05% 0.05% 1-2 総代濃度 - 0.2 0.321 0.841 血清濃度パターン 血清濃度 3% 1% 0.05% 0.05% 2-1 総代濃度 - 0.1 0.321 0.746 血清濃度パターン 血清濃度 3% 1% 0.1% 0.05% 2-2 総代濃度 - 0.2 0.321 0.643 血清濃度パターン 血清濃度 1% 1% 0.1% 0.05% 3-1 総代濃度 - 0.1 0.321 0.643 血清濃度パターン 血清濃度 1% 1% 0.1% 0.05% 3-1 総代濃度 - 0.1 0.321 0.643 血清濃度パターン 血清濃度 1% 1% 0.1% 0.05% 3-2 総代濃度 - 0.05 0.417 1.214 血清濃度パターン 血清濃度 1% 1% 0.1% 総代、培地添加なし 			培養開始	培養開始	培養開始	
1-1 総代濃度 - 0.1 0.321 0.873 血清濃度パターン 血清濃度 5% 1% 0.05% 0.05% 1-2 総代濃度 - 0.2 0.321 0.841 血清濃度パターン 血清濃度 3% 1% 0.05% 0.05% 2-1 総代濃度 - 0.1% 0.746 血清濃度パターン 血清濃度 3% 1% 0.1% 0.05% 2-2 総代濃度 - 0.2 0.321 0.643 血清濃度パターン 血清濃度 1% 1% 0.1% 0.05% 3-1 総代濃度 - 0.1% 0.05% 3-2 総代濃度 - 0.05 0.417 1.214 血清濃度パターン 血清濃度 1% 1% 0.1% 総代、培地添加なし 血清濃度パターン 血清濃度 1% 1% 0.1% 総代、培地添加なし			0日目	4日目	7日目	10日目
1-1 総代濃度 - 0.1 0.321 0.873 血清濃度パターン 血清濃度 5% 1% 0.05% 0.05% 1-2 総代濃度 - 0.2 0.321 0.841 血清濃度パターン 血清濃度 3% 1% 0.05% 0.05% 2-1 総代濃度 - 0.1 0.321 0.746 血清濃度パターン 血清濃度 3% 1% 0.1% 0.05% 2-2 総代濃度 - 0.2 0.321 0.643 血清濃度パターン 血清濃度 1% 1% 0.1% 0.05% 3-1 総代濃度 - 0.1% 0.05% 3-2 総代濃度 - 0.05 0.417 1.214 血清濃度パターン 血清濃度 1% 1% 0.1% 総代、培地添加なし	血清濃度パターン	血清濃度	5 %	1 %	0 %	0 %
1-2 総代譲度 - 0.2 0.321 0.841 血清濃度パターン 血清濃度 3% 1% 0.05% 0.05% 2-1 総代濃度 - 0.1 0.321 0.746 血清濃度パターン 血清濃度 3% 1% 0.1% 0.05% 2-2 総代濃度 - 0.2 0.321 0.643 血清濃度パターン 血清濃度 1% 1% 0.1% 0.05% 3-1 総代濃度 - 0.1% 0.05% 血清濃度パターン 血清濃度 1% 1% 0.1% 0.05% 3-2 総代濃度 - 0.05 0.417 1.214 血清濃度パターン 血清濃度 1% 1% 0.1% 総代、培地添加なし		継代濃度	-	0.1	0.321	0.873
1-2 総代濃度 - 0.2 0.321 0.841 血清濃度パターン 血清濃度 3% 1% 0.05% 0.05% 2-1 総代濃度 - 0.1 0.321 0.746 血清濃度パターン 血清濃度 3% 1% 0.1% 0.05% 2-2 総代濃度 - 0.2 0.321 0.643 血清濃度パターン 血清濃度 1% 1% 0.1% 0.05% 3-1 総代濃度 - 0.1% 0.05% 面清濃度パターン 血清濃度 1% 1% 0.1% 0.05% 3-2 総代濃度 - 0.05 0.417 1.214 血清濃度パターン 血清濃度 1% 1% 0.1% 総代、培地添加なし	血清濃度パターン	血清濃度	5 %	1 %	0.05%	0.05%
血清濃度パターン 血清濃度 3% 1% 0.05% 0.05% 2-1 総代濃度 - 0.1 0.321 0.746 血清濃度パターン 血清濃度 3% 1% 0.1% 0.05% 2-2 総代濃度 - 0.2 0.321 0.643 血清濃度パターン 血清濃度 1% 1% 0.1% 0.05% 3-1 総代濃度 - 0.1 0.321 0.643 血清濃度パターン 血清濃度 1% 1% 0.1% 0.05% 3-2 総代濃度 - 0.05 0.417 1.214 血清濃度パターン 血清濃度 1% 1% 0.1% 総代、培地添加なし		継代濃度	_	0.2	0.321	0.841
2-1 総代濃度 - 0.1 0.321 0.746 血清濃度パターン 血清濃度 3% 1% 0.1% 0.05% 2-2 総代濃度 - 0.2 0.321 0.643 血清濃度パターン 血清濃度 1% 1% 0.1% 0.05% 3-1 総代濃度 - 0.1 0.321 0.643 血清濃度パターン 血清濃度 1% 1% 0.1% 0.05% 3-2 総代濃度 - 0.05 0.417 1.214 血清濃度パターン 血清濃度 1% 1% 0.1% 総代、培地添加なし		血清濃度	3 %	1 %	0.05%	0.05%
2-2 総代濃度 - 0.2 0.321 0.643 血清濃度パターン 血清濃度 1% 1% 0.1% 0.05% 3-1 総代濃度 - 0.1 0.321 0.643 血清濃度パターン 血清濃度 1% 1% 0.1% 0.05% 3-2 総代濃度 - 0.05 0.417 1.214 血清濃度パターン 血清濃度 1% 1% 0.1% 総代、培地添加なし		継代濃度	_	0.1	0.321	0.746
2-2 総代濃度 - 0.2 0.321 0.643 血清濃度パターン 血清濃度 1% 1% 0.1% 0.05% 3-1 総代濃度 - 0.1 0.321 0.643 血清濃度パターン 血清濃度 1% 1% 0.1% 0.05% 3-2 総代濃度 - 0.05 0.417 1.214 血清濃度パターン 血清濃度 1% 1% 0.1% 総代、培地添加なし	血清濃度パターン	血清濃度	3 %	1 %	0.1%	0. 05%
血清濃度パターン 3-1血清濃度 総代濃度 -1% 0.1%0.05% 0.321血清濃度パターン 3-2血清濃度 総代濃度 -1% 0.050.05% 0.417血清濃度パターン 血清濃度 1%1%0.1% 0.050.05% 0.4171.214血清濃度パターン 血清濃度1%1%0.1%総代、培地添加なし		継代濃度	_	0.2	0.321	0. 643
3-1総代濃度-0.10.3210.643血清濃度パターン 3-2血清濃度1%1%0.1%0.05%血清濃度パターン 血清濃度1%1%0.4171.214血清濃度パターン 血清濃度1%1%0.1%総代、培地添加なし		血清濃度	1 %	1 %	0.1%	0.05%
3-2 総代濃度 - 0.05 0.417 1.214 血清濃度パターン 血清濃度 1% 1% 0.1% 総代、培地添加なし		継代濃度		0.1	0.321	0. 643
3-2総代濃度-0.050.4171.214血清濃度パターン血清濃度1%1%0.1%総代、培地添加なし	血清濃度パターン	血清濃度	1 %	1 %	0.1%	0.05%
III 17 West 19		継代濃度	_	0.05	0.417	1. 214
	血清濃度パターン	血清濃度	1 %	1 %	0.1%	継代、培地添加なし
		継代濃度	-	0.05	0.23	

^{*}細胞継代濃度: (×10⁶cells/mL)

5%、3%あるいは1%のhumanAB血清を含むAIM Vに $0.33\times10^{\circ}$ cells/mLとなるように実施例1-(1) で調製したPBMCを懸濁後、実施例41-(1) で調製した抗ヒトCD3抗体固定化プレート、または抗ヒトCD3抗体およびCH-296固定化プレートに3mL/ウェルずつまき、終濃度1000U/mLとなるようにIL-2を添加した。これらのプレートを5%CO $_2$ 中37%で培養した(培養0BB)。

培養開始後4日目に血清濃度パターン1-1、2-1および3-1で培養する区分は、 0.1×10^6 c e l l s/mLとなるように、血清濃度パターン1-2および2-2で培養する区分は、 0.2×10^6 c e l l s/mLとなるように、血清濃度パターン3-2および3-3で培養する区分は、 0.05×10^6 c e l l s/mLとなるように、1%humanAB血清を含むAIM Vにより希釈し(液量6mL)、何も固定化していない12.5cm²細胞培養フラス

^{*}表中の血清濃度は培養開始0日目は開始時の濃度、以降は希釈に使用した培地に含まれる 血清濃度

コに移した。各区分において終濃度500U/mLとなるようIL-2を添加した。

培養開始7日目には血清濃度パターン1-1で培養する区分は、 0.321×10^6 cells/mLとなるようにhumanAB血清を含まないAIM Vにより希釈し(液量12.6mL)、血清濃度パターン1-2および2-1で培養する区分は、 0.321×10^6 cells/mLとなるように0.05%humanAB血清を含むAIM Vにより希釈し(液量12.6mL)、また血清濃度パターン2-2および3-1で培養する区分は 0.321×10^6 cells/mLとなるように、血清濃度パターン3-2で培養する区分は 0.417×10^6 cells/mLとなるように、血清濃度パターン3-3で培養する区分は 0.23×10^6 cells/mLとなるように、血清濃度パターン3-3で培養する区分は 0.23×10^6 cells/mLとなるようにそれぞれ0.1%humanAB血清を含むAIM Vによりそれぞれ希釈し(液量12.6mL)、各区分は何も固定化していない新しい25 cm²細胞培養フラスコを立てたものにそれぞれ移した。各区分において終濃度500 U/mLとなるようIL-2を添加した。

培養開始 10 日目には血清濃度パターン1-1 で培養する区分は、0.873 × 10^6 cells/mLとなるように human AB 血清を含まない AIM Vにより希釈し(液量 12.6 mL)、血清濃度パターン1-2 で培養する区分は 0.841×10^6 cells/mLとなるように、血清濃度パターン2-1 で培養する区分は 0.746×10^6 cells/mLとなるように、血清濃度パターン2-2 および 3-1 で培養する区分は 0.643×10^6 cells/mLとなるように、血清濃度パターン2-2 および 3-1 で培養する区分は 0.643×10^6 cells/mLとなるように、血清濃度パターン3-2 で培養する区分は 1.214×10^6 cells/mLとなるように、0.05% human AB 血清を含む AIM Vによりそれぞれ希釈し(液量 12.6 mL)、何も固定化していない新しい 25 cm² 細胞培養フラスコを立てたものに移した。各区分において終濃度 500 U/mLとなるよう IL-2 を添加した。

培養開始15日目にトリパンブルー染色法にて生細胞数を計測し、培養開始時の細胞数と比較しての拡大培養率として算出した。各実験は2連で行った。その平均の各結果を表55に示す。

_	_	_
Œ	-	5
ÆX.	u	J

2 X O O		
	培養開始 0 日目刺激	拡大培養率 (倍率)
血清濃度パターン1-1	抗CD3	4 6 0
	抗CD3+CH-296	7 0 8
血清濃度パターン1-2	抗CD3	3 5 4
	抗CD3+CH-296	6 1 6
血清濃度パターン2-1	抗CD3	3 3 8
	抗CD3+CH-296	6 3 0
血清濃度パターン2-2	抗CD3	2 8 9
	抗CD3+CH-296	5 1 4
血清濃度パターン3-1	抗CD3	3 1 7
	抗CD3+CH-296	551
血清濃度パターン3-2	抗CD3	2 4 3
	抗CD3+CH-296	5 8 7
血清濃度パターン3-3	抗CD3	2 5 7
	抗CD3+CH-296	5 6 4

表55に示されるように、各血清濃度を含んだAIM V培地を用いてのLA K細胞培養において、いずれの血清濃度区分、またいずれの継代濃度区分においても、対照群(抗CD3抗体のみによる刺激)と比較してСH-296および抗CD3抗体により刺激した群において高い拡大培養率が得られた。すなわち、30mL採血を想定した血清濃度におけるLAK細胞培養において、СH-296および抗CD3抗体により刺激することで、抗CD3抗体単独で刺激するよりも、明らかに高い拡大培養率でLAK細胞を誘導・培養することができた。また、このときの培養における細胞は高濃度・高密度であり、СH-296で刺激することにより、このような条件下においても、明らかに高い拡大培養率であり、СH-296の有効性が認められた。

実施例 5 6 低血清培地 (A I M V) を用いたLAK細胞培養系における拡大 培養率の測定 (I L - 2 濃度、 $100 \text{U/mL} \rightarrow 150 \text{U/mL} \rightarrow 150 \text{U/mL}$ L $\rightarrow 300 \text{U/mL}$ 、 $200 \text{U/mL} \rightarrow 300 \text{U/mL} \rightarrow 300 \text{U/mL} \rightarrow 400 \text{U/mL}$ 、 $1000 \text{U/mL} \rightarrow 500 \text{U/mL} \rightarrow 500 \text{U/mL} \rightarrow 500 \text{U/mL}$ mL)

LAK細胞培養系における I L-2 濃度の影響を確認した。

培養開始時および継代時に添加する I L-2 濃度を下記表 5 6-1 に示すように設定した。

丰	5	6	_	1
æ	IJ.	U	_	1

14 0 0 1				
	培養開始	培養開始	培養開始	培養開始
	0 日目	4日目	7日目	10日目
IL-2濃度パターン1	100	150	150	3 0 0
I L-2 濃度パターン2	200	300	300	400
IL-2 濃度パターン3	1000	500	500	500

* I L - 2 濃度 (U/mL)

3%のhumanAB血清を含むAIM Vに0. 33×10^6 cells/mLとなるように実施例1-(1)で調製したPBMCを懸濁後、実施例41-(1)で調製した抗ヒトCD3抗体固定化プレート、または抗ヒトCD3抗体およびCH-296固定化プレートに3mL/ウェルずつまき、終濃度100U/mL、200U/mLあるいは1000U/mLとなるようにIL-2を添加した。これらのプレートを5%CO2中37℃で培養した(培養0日目)。

培養開始後4日目に各区分とも、 0.1×10^6 cells/mLとなるように1%humanAB血清を含むAIM Vにより希釈し(液量6mL)、何も固定化していない12.5 cm²細胞培養フラスコにそれぞれ移した。IL-2 濃度パターン1においては終濃度150U/mLとなるように、IL-2濃度パターン2においては300U/mLとなるように、IL-2濃度パターン3においては500U/mLとなるようにそれぞれIL-2を添加した。

培養開始7日目には各区分とも、 0.262×10^6 cells/mLとなるように0.05%humanAB血清を含むAIM Vにより希釈し(液量12.6 mL)、何も固定化していない新しい25 cm²細胞培養フラスコを立てたものにそれぞれ移した。IL-2濃度パターン1においては終濃度150 U/mLとなるように、IL-2濃度パターン2においては300 U/mLとなるように、IL-2濃度パターン3においては500 U/mLとなるようにそれぞれIL-2を添加した。

培養開始10日目には各区分とも、 0.585×10^6 cells/mLとなるように0.05%humanAB血清を含むAIM Vにより希釈し(液量12.6mL)、何も固定化していない新しい25cm²細胞培養フラスコを立てたものにそれぞれ移した。IL-2濃度パターン1においては終濃度300U/mLとなるように、IL-2濃度パターン2においては400U/mLとなるように、IL-2濃度パターン3においては500U/mLとなるようにそれぞれIL-2を添加した。

培養開始15日目にトリパンブルー染色法にて生細胞数を計測し、培養開始時の細胞数と比較しての拡大培養率として算出した。各実験は2連で行った。その平均の各結果を表56-2に示す。

夷	5	6	_	2

培養開始 0 日目刺激	拡大培養率 (倍率)
抗CD3	3 1 2
抗CD3+CH-296	5 2 2
抗CD3	3 3 1
抗CD3+CH-296	7 3 0
抗CD3	1 4 6
抗CD3+CH-296	5 7 1
	抗CD3 抗CD3+CH-296 抗CD3 抗CD3+CH-296 抗CD3

表 56-2 に示されるように、継代時に種々の IL-2 濃度で培養した LAK 細胞培養において、いずれの IL-2 濃度区分においても、対照群(抗 CD3 抗

体のみによる刺激)と比較してCH-296および抗CD3抗体により刺激した 群において高い拡大培養率が得られた。すなわち、IL-2濃度を変更しても、 CH-296および抗CD3抗体により刺激することで、抗CD3抗体単独で刺 激するよりも、明らかに高い拡大培養率でLAK細胞を誘導・培養することがで きた。また、このときの培養における細胞は高濃度・高密度であり、また、血清 濃度も30mL採血で総培養液量が10Lであることを想定しており、CH-2 96で刺激することにより、このような条件下においても、明らかに高い拡大培 養率であり、CH-296の有効性が認められた。

実施例 5 7 低血清培地 (A I M V) を用いて培養したLAK細胞集団中におけるCD 8 陽性細胞含有比率 (IL-2 濃度の検討)

(1) LAK細胞の誘導および培養

実施例56と同様の方法でLAK細胞を誘導・培養した。

(2) LAK細胞におけるCD8陽性細胞集団含有比率の測定

実施例4-(2)と同様の方法でCD8陽性細胞の含有率を測定した。結果を表57に示す。

表57

20.		
	培養開始0日目刺激	CD8陽性細胞含有率(%)
I L-2 濃度パターン1	抗CD3	6 0
	抗CD3+CH-296	6 5
IL-2濃度パターン2	抗CD3	6 0
	抗CD3+CH-296	6 2
IL-2 濃度パターン3	抗CD3	5 9
	抗CD3+CH-296	6 7

表57に示されるように、培養開始時、継代時にIL-2濃度を変更したいずれの区分においても、対照群(抗CD3抗体のみによる刺激)と比較してCH-296および抗CD3抗体により刺激した群において培養中のLAK細胞中にお

けるCD8陽性細胞含有率を高く誘導することができた。すなわち、IL-2濃度を変更してもCH-296による刺激により、明らかにLAK細胞中のCD8陽性細胞の含有率を高くしながらLAK細胞を誘導・培養することが可能であることが明らかとなった。

実施例58 低血清培地 (AIM V) を用いたLAK細胞培養系における拡大 培養率の測定 (培養開始初期濃度の検討)

30mL採血、最終培養液量約10Lと想定したときのLAK細胞培養系における培養開始時の細胞初期濃度の拡大培養率に及ぼす影響を確認した。

培養開始初期細胞濃度を 0.083×10^6 cells/mL、 0.167×10^6 cells/mLあるいは 0.33×10^6 cells/mLの各区分を設定した。

(1) 抗ヒトCD3抗体およびFNフラグメント固定化

以下の実験で使用する培養器材に抗ヒトCD 3 抗体およびFNフラグメントを固定化した。すなわち12穴細胞培養プレートあるいは6穴細胞培養プレート(ファルコン社製)に抗ヒトCD 3 抗体(終濃度 $5 \mu g/mL$)を含むPBSを1.9 mLあるいは4.8 mLずつそれぞれ添加した。この時、FNフラグメント添加群には製造例1に記載のフィブロネクチンフラグメント(CH-296)を終濃度 $25 \mu g/mL$ となるように添加した。対照として、CH-296を添加しない群も設定した。

これらの培養器材を室温で5時間インキュペート後、使用時まで4℃で保存した。使用直前にはこれらの培養器材から抗ヒトCD3抗体・CH-296を含む PBSを吸引除去後、各ウェルをPBSで2回、RPMI培地で1回洗浄し各実験に供した。

(2) LAK細胞の誘導および培養

3%のhumanAB血清を含むAIM Vに0.083×106cells

/mL、0.167×10 6 cells/mLあるいは0.33×10 6 cells/mLとなるように実施例1-(1)で調製したPBMCをそれぞれ懸濁後、0.083×10 6 cells/mLあるいは0.167×10 6 cells/mLで培養開始する区分は実施例58-(1)で調製した抗ヒトCD3抗体固定化6穴細胞培養プレート、または抗ヒトCD3抗体およびCH-296固定化6穴細胞培養プレートに7.5mL/ウェルずつ、また、0.33×10 6 cells/mLで培養開始する区分は実施例58-(1)で調製した抗ヒトCD3抗体固定化12穴細胞培養プレート、または抗ヒトCD3抗体およびCH-296固定化12穴細胞培養プレート、または抗ヒトCD3抗体およびCH-296固定化12穴細胞培養プレートに3mL/ウェルずつ、それぞれまき、終濃度1000U/mLとなるようにIL-2を添加した。これらのプレートを5%CO2中37℃で培養した(培養0日目)。

培養開始後4日目に各区分は、最大 0.1×10^6 cells/mLとなるように1%humanAB血清を含むAIM Vにより希釈し(液量6 mL)、何も固定化していない12.5 cm²細胞培養フラスコに移した。各区分において終濃度500U/mLとなるようIL-2を添加した。

培養開始7日目には 0.083×10^6 cells/mLで培養開始した区分は、 0.227×10^6 cells/mLとなるように、 0.167×10^6 cells/mLで培養開始した区分は 0.276×10^6 cells/mLとなるように、また、 0.33×10^6 cells/mLで培養開始した区分は 0.465×10^6 cells/mLとなるように、それぞれ0.05% human AB血清を含むAIM Vにより希釈し(液量最大12.6mL)、何も固定化していない新しい25 cm²細胞培養フラスコを立てたものにそれぞれ移した。各区分において終濃度500U/mLとなるようIL-2を添加した。

培養開始10日目には 0.083×10^{6} cells/mLで培養開始した区分は、 0.58×10^{6} cells/mLとなるように、 0.167×10^{6} cells/mLで培養開始した区分は 0.75×10^{6} cells/mLとなる

ように、また、 0.33×10^6 cells/mLで培養開始した区分は 0.79×10^6 cells/mLとなるように、それぞれ0.05% h u m a n A B 血清を含むA I M Vにより希釈し(液量12.6 mL)、何も固定化していない新しい25 c m² 細胞培養フラスコを立てたものにそれぞれ移した。各区分において終濃度500 U/mLとなるよう I L -2 を添加した。

培養開始15日目にトリパンブルー染色法にて生細胞数を計測し、培養開始時の細胞数と比較しての拡大培養率として算出した。各実験は2連で行った。その平均の各結果を表58に示す。

	_	_
772	_	O

培養開始細胞初期濃度 (×10 ⁶ cells/mL)	培養開始 0 日目刺激	拡大培養率 (倍率)
0. 083	抗CD3	7 0
	抗CD3+CH-296	5 9 3
0. 167	抗CD3	1 0 4
	抗CD3+CH-296	5 2 5
0.33	抗CD3	2 7 2
	抗CD3+CH-296	5 6 5

表58に示されるように、いずれの細胞濃度で培養開始した区分においても、対照群(抗CD3抗体のみによる刺激)と比較してCH-296および抗CD3抗体により刺激した群において高い拡大培養率が得られた。すなわち、種々の細胞濃度で培養開始してもCH-296および抗CD3抗体により刺激することで、抗CD3抗体単独で刺激するよりも、明らかに高い拡大培養率でLAK細胞を誘導・培養することができた。また、このときの培養は30mL採血、最終培養液量10Lを想定したものであり、CH-296で刺激することにより、このような条件下においても、明らかに高い拡大培養率であり、CH-296の有効性が認められた。さらに、対照群においては培養開始細胞初期濃度により拡大培養率が大きく変動する様子が確認されたが、CH-296により刺激した区分では、培養開始細胞初期濃度に関わらず、安定した拡大培養率が得られた。

実施例 5 9 低血清培地 (AIM V) を用いたLAK細胞培養系における拡大 培養率の測定 (刺激期間)

LAK細胞培養系における抗CD3抗体単独あるいは抗CD3抗体およびCH-296による培養開始時における刺激の日数が拡大培養率に与える影響について確認した。

刺激日数として2日、3日あるいは4日の各区分を設定した。

3%のhumanAB血清を含むAIM Vに各区分とも 0.33×10^6 cells/mLとなるように、実施例1-(1) で調製したPBMCをそれぞれ懸濁後、実施例41-(1) で調製した抗ヒトCD3抗体固定化プレート、または抗ヒトCD3抗体およびCH-296固定化プレートに3mL/ウェルずつまき、終濃度1000U/mLとなるようにIL-2を添加した。これらのプレートを5%CO $_2$ 中37%で培養した(培養0日目)。

培養開始後2日目あるいは3日目にそれぞれ2日刺激の区分、3日刺激の区分 を何も固定化していない新しい12穴培養プレートにそのまま移した。

培養開始後4日目に各区分とも、 0.1×10^6 cells/mLとなるように1%humanAB血清を含むAIM Vにより希釈し(液量6mL)、何も固定化していない12.5 cm²細胞培養フラスコにそれぞれ移した。各区分において終濃度500U/mLとなるようにそれぞれIL-2を添加した。

培養開始7日目には各区分とも、 0.45×10^6 cells/mLとなるように0.05%humanAB血清を含むAIM Vにより希釈し(液量12.6mL)、何も固定化していない新しい25cm²細胞培養フラスコを立てたものにそれぞれ移した。各区分において終濃度500U/mLとなるようにそれぞれIL-2を添加した。

培養開始10日目には各区分とも、0.6×10°cells/mLとなるように0.05%humanAB血清を含むAIM Vにより希釈し(液量12.

6mL)、何も固定化していない新しい25cm²細胞培養フラスコを立てたものにそれぞれ移した。各区分において終濃度500U/mLとなるようにそれぞれ IL-2を添加した。

培養開始15日目にトリパンブルー染色法にて生細胞数を計測し、培養開始時の細胞数と比較しての拡大培養率として算出した。各実験は2連で行った。その平均の各結果を表59に示す。

表59

	培養開始 0 日目刺激	拡大培養率 (倍率)
刺激期間2日	抗CD3	2 6 6
	抗CD3+CH-296	4 3 8
刺激期間3日	抗CD3	4 2 4
	抗CD3+CH-296	5 6 2
刺激期間 4 日	抗CD3	2 5 7
	抗CD3+CH-296	5 6 8

表59に示されるように、培養開始時より種々の刺激期間で培養したLAK細胞培養において、いずれの刺激期間の区分においても、対照群(抗CD3抗体のみによる刺激)と比較してCH-296および抗CD3抗体により刺激した群において高い拡大培養率が得られた。すなわち、刺激期間を変更しても、CH-296および抗CD3抗体により刺激することで、抗CD3抗体単独で刺激するよりも、明らかに高い拡大培養率でLAK細胞を誘導・培養することができた。また、このときの培養における細胞は高濃度・高密度であり、また、血清濃度も30mL採血で総培養液量が10Lであることを想定しており、CH-296で刺激することにより、このような条件下においても、明らかに高い拡大培養率であり、CH-296の有効性が認められた。

実施例60 低血清培地 (AIM V) を用いたLAK細胞培養系における拡大 培養率の測定 (CH-296Na) FNフラグメントしてCH-296Naを用いたときのLAK細胞培養系における拡大培養率を測定した。

CH-296Naは細胞培養プレートに固定化する区分とそのまま細胞培養液中に添加する区分を設定した。

(1) 抗ヒトCD3抗体およびFNフラグメント固定化

以下の実験で使用する培養器材に抗ヒトCD3抗体およびFNフラグメントを固定化した。すなわち12穴細胞培養プレートに抗ヒトCD3抗体(終濃度 5μ g/mL)を含むPBSを1.9mLずつそれぞれ添加した。この時、FNフラグメント添加群には実施例54に記載のフィブロネクチンフラグメント(CHー296Na)を終濃度28.6 μ g/mLとなるように添加した。対照として、CH-296Naを添加しない群も設定した。

これらの培養器材を室温で5時間インキュベート後、使用時まで4℃で保存した。使用直前にはこれらの培養器材から抗ヒトCD3抗体・CH-296Naを含むPBSを吸引除去後、各ウェルをPBSで2回、RPMI培地で1回洗浄し各実験に供した。

(2) LAK細胞の誘導および培養

3%のhumanAB血清を含むAIM Vに0.33×10° cells/mLとなるように実施例1-(1)で調製したPBMCをそれぞれ懸濁後、実施例60-(1)で調製した抗ヒトCD3抗体固定化細胞培養プレート、または抗ヒトCD3抗体およびCH-296Na固定化細胞培養プレートに3mL/ウェルずつまいた。また、CH-296Naを細胞培養液中にそのまま添加する区分においては、抗ヒトCD3抗体固定化細胞培養プレートにまいた細胞に対して、終濃度1 μ g/mLとなるようにCH-296Naを添加した。それぞれの区分において終濃度1000U/mLとなるようにIL-2を添加した。これらのプレートを5%CO2中37℃で培養した(培養0日目)。

培養開始後4日目に、各区分とも0. 1×10⁶ cells/mLとなるよう

に 1% h u m a n A B 血清を含む A I M Vにより希釈し(液量 6 m L)、何も固定化していない 1 2. 5 c m^2 細胞培養フラスコに移した。各区分において終濃度 5 0 0 U/m L となるよう I L - 2 を添加した。

培養開始7日目には各区分とも 0.5×10^6 cells/mLとなるように、それぞれ0.05%humanAB血清を含むAIM Vにより希釈し(液量12.6mL)、何も固定化していない新しい25cm²細胞培養フラスコを立てたものにそれぞれ移した。各区分において終濃度500U/mLとなるようIL-2を添加した。

培養開始10日目には各区分とも 0.94×10^6 cells/mLとなるように、それぞれ0.05% h u m a n A B 血清を含むA I M Vにより希釈し(液量12.6 mL)、何も固定化していない新しい25 c m² 細胞培養フラスコを立てたものにそれぞれ移した。各区分において終濃度500 U/mLとなるよう I L -2 を添加した。

培養開始15日目にトリパンブルー染色法にて生細胞数を計測し、培養開始時の細胞数と比較しての拡大培養率として算出した。各実験は2連で行った。その平均の各結果を表60に示す。

表 6 0

AA V. Toronto	
培養開始 0 日目刺激	拡大培養率 (倍率)
抗CD3	
	2 2 2
抗CD3+CH-296Na固定化	9 2 2
抗CD3+CH-296Na溶液添加	6 5 1
	651

表60に示されるように、対照群(抗CD3抗体のみによる刺激)と比較して CH-296Naを固定化あるいは溶液で添加したいずれの区分においても高い 拡大培養率が得られた。すなわち、CH-296Naおよび抗CD3抗体により 刺激することで、抗CD3抗体単独で刺激するよりも、明らかに高い拡大培養率 でLAK細胞を誘導・培養することができた。また、このときの培養は30mL

採血、最終培養液量10Lを想定したものであり、CH-296Naで刺激することにより、このような条件下においても、明らかに高い拡大培養率であり、CH-296Naの有効性が認められた。

実施例61 CH-296ピーズの作成

CH-296を固定化するためのビーズとして、Dynabeas M-450 Epoxy (Dynal社製) を使用した。 2.8×10^8 個のDynabeas M-450 Epoxye0.1Mリン酸緩衝液 <math>(pH7.0) で3回洗浄した。洗浄したDynabeas M-450 Epoxy 2.8×10^8 個を、CH-296 140μ gを含むPBS 0.7mLに懸濁し、軽く混合しながら<math>4Cで一晩固定化反応を行った。反応液を除去し、0.1%のヒト血清アルブミン (HSA) を含むPBS 0.7mLで3回置換した後、4Cで保存したものをCH-296ビーズとした。

また、CH-296を含まずにビーズを同様に処理したものを対照ビーズとした。

実施例62 CD3/CH-296ビーズの作成

CH-296と抗ヒトCD3抗体とを固定化するためのビーズとして、Dynabeas M-450 Epoxyを使用した。 4×10^8 個のDynabeas M-450 Epoxyを0.1Mリン酸緩衝液(pH7.0)で3回洗浄した。洗浄したDynabeas M-450 Epoxy 4×10^8 個を、CH-296 160μ g、抗ヒトCD3抗体 32μ gを含むPBS 1mLに懸濁し、軽く混合しながら4Cで一晩固定化反応を行った。反応液を除去し、0.1%のヒト血清アルブミン(HSA)を含むPBS 1mLで3回置換した後、4Cで保存したものをCD3/CH-296ビーズとした。

実施例63 低血清培地 (AIM V) を用いたLAK細胞培養系における拡大 培養率の測定 (FNfr固定化ビーズによる刺激)

細胞培養用担体(ビーズ)に固定化されたフィブロネクチンフラグメント(CH-296)を用いてのLAK細胞培養に対する効果を確認した。

抗CD3抗体がビーズに固定化されているCD3ビーズと何も固定化されていない対照ビーズで刺激する区分(CD3ビーズ区分)、CD3ビーズとCH-296がビーズに固定化されているCH-296ビーズにより刺激する区分(CD3ビーズ+CH-296ビーズ区分)、抗CD3抗体とCH-296がビーズに固定化されているCD3/CH-296ビーズにより刺激する区分(CD3/CH-296ビーズ区分)を設定した。

1%のhumanAB血清を含むAIM Vに0.33×10° cells/mLとなるように実施例1-(1)で調製したPBMCを懸濁後、何も固定化していない12穴培養プレートに3mL/ウェルずつまき、CD3ビーズ区分はCD3ビーズ(Dynabeads M-450 CD3 (panT)、ベリタス社、DB11113)を 1×10 °個/ウェル、実施例61で調製した対照ビーズを3.8×10°個/ウェルとなるように、CD3ビーズ+CH-296ビーズ区分はCD3ビーズを 1×10 °個/ウェルとなるように、また、CD3/CH-296ビーズを0.76×10°個/ウェルとなるように、また、CD3/CH-296ビーズ区分は実施例62で調製したCD3/CH-296ビーズを2.3×10°個/ウェルとなるように添加した。各ウェルには終濃度1000U/mLとなるようにIL-2を添加した。これらのプレートを5%CO2中37℃で培養した(培養0日目)。

培養開始後4日目に各区分とも培養液中に含まれる各ピーズをマグネティックスタンドにより除去したのち、 0.07×10^6 c e l l s /mLとなるように、1%h u m a n A B 血清を含むA I M Vにより希釈し(液量 6 m L)、何も固定化していない 12.5 c m^2 細胞培養フラスコに移した。各区分において終

濃度500U/mLとなるようIL-2を添加した。

培養開始7日目には各区分とも 0.25×10^6 cells/mLとなるように1%humanAB血清を含むAIM Vによりそれぞれ希釈し(液量12.6mL)、何も固定化していない新しい25cm²細胞培養フラスコを立てたものにそれぞれ移した。各区分において終濃度500U/mLとなるようIL-2を添加した。

培養開始10日目には各区分とも 0.685×10^6 cells/mLとなるように、1%humanAB血清を含むAIM Vにより希釈し(液量12.6 mL)、何も固定化していない新しい25 cm²細胞培養フラスコを立てたものに移した。各区分において終濃度500 U/mLとなるようIL-2 を添加した

培養開始15日目にトリパンブルー染色法にて生細胞数を計測し、培養開始時の細胞数と比較しての拡大培養率として算出した。各実験は2連で行った。その平均の各結果を表61に示す。

表 6 1

	培養開始 0 日目刺激	拡大培養率 (倍率)
CD3ビーズ	抗CD3	4 2 0
CD3ピーズ+CH-296ピーズ	抗CD3+CH-296	8 3 0
CD3/CH-296ビーズ	抗CD3+CH-296	7 4 8

表61に示されるように、各ビーズにより刺激したLAK細胞培養において、CD3ビーズ区分と比較してCD3ビーズ+CH-296ビーズ区分およびCD3/CH-296ビーズ区分により刺激した区分において高い拡大培養率が得られた。すなわち、細胞培養用担体としてビーズを用いたLAK細胞培養において、CH-296および抗CD3抗体を固定化したビーズにより刺激することで、抗CD3抗体単独のビーズで刺激するよりも、明らかに高い拡大培養率でLAK細胞を誘導・培養することができた。また、このときの培養における細胞は高濃

度・高密度であり、CH-296ビーズで刺激することにより、このような条件下においても、明らかに高い拡大培養率であり、CH-296の有効性が認められた。

実施例64 低血清培地(AIM V)を用いて培養したLAK細胞集団中におけるCD8陽性細胞含有比率(FNfr固定化ビーズによる刺激)

(1) LAK細胞の誘導および培養

実施例63と同様の方法でLAK細胞を誘導・培養した。

(2) LAK細胞におけるCD8陽性細胞集団含有比率の測定

実施例4-(2)と同様の方法でCD8陽性細胞の含有率を測定した。結果を表62に示す。

表	6	2
---	---	---

	培養開始 0 日目刺激	CD8陽性細胞含有率(%)
CD3ピーズ	抗CD3	4 7
CD3ビーズ+CH-296ビーズ	抗CD3+CH-296	4 9
<u>CD3/CH-296ピーズ</u>	抗CD3+CH-296	5 9

表62に示されるように、各ビーズにより刺激したLAK細胞培養において、CD3ビーズ区分と比較してCD3ビーズ+CH-296ビーズ区分およびCD3/CH-296ビーズ区分により刺激した区分において培養中のLAK細胞中におけるCD8陽性細胞含有率を高く誘導することができた。すなわち、細胞培養用担体としてビーズを用いたLAK細胞培養において、CH-296および抗CD3抗体を固定化したビーズにより刺激することで、抗CD3抗体単独のビーズで刺激するよりも、明らかにLAK細胞中のCD8陽性細胞の含有率を高くしながらLAK細胞を誘導・培養することが可能であることが明らかとなった。

配列表フリーテキスト

```
SEQ ID NO:1; Partial region of fibronectin named III-8.
```

- SEQ ID NO:2; Partial region of fibronectin named III-9.
- SEQ ID NO:3; Partial region of fibronectin named III-10.
- SEQ ID NO:4; Partial region of fibronectin named III-11.
- SEQ ID NO:5; Partial region of fibronectin named III-12.
- SEQ ID NO:6; Partial region of fibronectin named III-13.
- SEQ ID NO:7; Partial region of fibronectin named III-14.
- SEQ ID NO:8; Partial region of fibronectin named CS-1.
- SEQ ID NO:9; Fibronectin fragment named C-274.
- SEQ ID NO:10; Fibronectin fragment named H-271.
- SEQ ID NO:11; Fibronectin fragment named H-296.
- SEQ ID NO:12; Fibronectin fragment named CH-271.
- SEQ ID NO:13; Fibronectin fragment named CH-296.
- SEQ ID NO:14; Fibronectin fragment named C-CS1.
- SEQ ID NO:15; Fibronectin fragment named CHV-89.
- SEQ ID NO:16; Fibronectin fragment named CHV-90.
- SEQ ID NO:17 ; Fibronectin fragment named CHV-92.
- SEQ ID NO:18; Fibronectin fragment named CHV-179.
- SEQ ID NO:19; Fibronectin fragment named CHV-181.
- SEQ ID NO:20 ; Fibronectin fragment named H-275-Cys.
- SEQ ID NO:21; Primer 12S.
- SEQ ID NO:22; Primer 14A.
- SEQ ID NO:23; Primer Cys-A.
- SEQ ID NO:24; Primer Cys-S.
- SEQ ID NO:25; Fibronectin fragment named CH-296Na.
- SEQ ID NO:26; Polynucleotide coding Fibronectin fragment named

CH-296Na.

SEQ ID NO:27 : Primer CH-296Nal.

SEQ ID NO:28; Primer CH-296Na2.

SEQ ID NO:29; Primer CH-296Na3.

産業上の利用可能性

本発明の細胞傷害性リンパ球の製造方法によれば、無血清・低血清濃度培地を用いた場合でも、拡大培養率が高く、細胞傷害活性が高く維持され、IL-2Rの発現量が有意に上昇し、CD8陽性細胞の比率が向上した細胞傷害性リンパ球が得られる。当該リンパ球は、例えば、養子免疫療法に好適に使用される。従って、本発明の方法は、医療分野への多大な貢献が期待される。

請求の範囲

- 1. 培地中における血清および血漿の総含有濃度が 0 容量%以上 5 容量%未満である培地を用いて、フィブロネクチン、そのフラグメントまたはそれらの混合物の存在下に細胞傷害性リンパ球の誘導、維持および拡大培養から選択される少なくとも 1 つを行う工程を含むことを特徴とする、細胞傷害性リンパ球の製造方法。
- 2. 細胞傷害性リンパ球が、フィブロネクチン、そのフラグメントまたはそれらの混合物の非存在下に製造されたものと比較して、インターロイキン-2レセプターを高発現するものである請求項1記載の方法。
- 3. 細胞傷害性リンパ球が、フィブロネクチン、そのフラグメントまたはそれらの混合物の非存在下に製造されたものと比較して、CD8陽性細胞を高比率で含有するものである請求項1記載の方法。
- 4. フィブロネクチン、そのフラグメントまたはそれらの混合物の非存在下での細胞傷害性リンパ球の製造方法と比較して、拡大培養率が高い方法である請求項1記載の方法。
- 5. 細胞傷害性リンパ球が、フィブロネクチン、そのフラグメントまたはそれらの混合物の非存在下に製造されたものと比較して、細胞傷害活性が増強されたもしくは高い細胞傷害活性が維持されたものである請求項1~4いずれか1項に記載の方法。
- 6. フィプロネクチン、そのフラグメントまたはそれらの混合物が固相に固定

化されてなるものである請求項1~5いずれか1項に記載の方法。

- 7. 固相が細胞培養用器材または細胞培養用担体である請求項6記載の方法。
- 8. 細胞培養用器材がシャーレ、フラスコまたはバッグであり、細胞培養用担体がビーズ、メンプレンまたはスライドガラスである請求項7記載の方法。
- 9. 細胞傷害性リンパ球がリンフォカイン活性化キラー細胞である請求項1~ 8いずれか1項に記載の方法。
- 10. フィブロネクチンのフラグメントが、配列表の配列番号1~8で表されるいずれかのアミノ酸配列を少なくとも1つ含んでなるポリペプチド (m) であるか、または前記いずれかのアミノ酸配列において1もしくは複数個のアミノ酸が置換、欠失、挿入もしくは付加したアミノ酸配列を少なくとも1つ含んでなるポリペプチドであって、前記ポリペプチド (m) と同等な機能を有するポリペプチド (n) である請求項1~9いずれか1項に記載の方法。
- 11. フィブロネクチンのフラグメントが、細胞接着活性および/またはヘパリン結合活性を有するものである請求項10記載の方法。
- 12. フィブロネクチンのフラグメントが、配列表の配列番号9~20および25で表されるいずれかのアミノ酸配列を有するポリペプチドからなる群より選択される少なくとも1つのポリペプチドである請求項10記載の方法。
- 13. 細胞培養用器材中で行なう請求項1記載の方法であって、
- (a) 培養開始時の細胞数と細胞培養用器材における培養面積との比率が、1 c

ell/cm $^2\sim5\times10^5$ cells/cm 2 である、および/または

(b)培養開始時の培地中の細胞の濃度が、 $1 cell/mL\sim5\times10^{5} cells/mLである、$

の条件を満たす方法。

- 14. 細胞培養液を希釈する工程を要しない請求項13記載の方法。
- 15. 細胞傷害性リンパ球の誘導、維持及び拡大培養の少なくともいずれか1 つを、フィブロネクチン、そのフラグメントまたはそれらの混合物の存在下、培 地を含む細胞培養用器材中で行なう請求項1記載の方法であって、少なくとも1 回の、細胞培養液の希釈工程、培地の交換工程もしくは細胞培養用器材の交換工 程を包含し、かつ少なくとも1回の、細胞培養液の希釈工程直後、培地の交換工 程直後もしくは細胞培養用器材の交換工程直後の培養条件が、
- (c)細胞培養液中の細胞の濃度が 2×10^5 cells/mL $\sim1\times10^8$ cells/mLである、または
- (d)細胞培養液中の細胞数と細胞培養用器材における培養面積との比率が 1×10^5 c e l l s / c m 2 $\sim 1 \times 10^8$ c e l l s / c m 2 である、の条件を満たす方法。
- 16. 細胞傷害性リンパ球の誘導、維持及び拡大培養の少なくともいずれか1 つを、フィブロネクチン、そのフラグメントまたはそれらの混合物の存在下、培地を含む細胞培養用器材中で行なう請求項1記載の方法であって、少なくとも1 回の、細胞培養液の希釈工程、培地の交換工程もしくは細胞培養用器材の交換工程を包含し、かつ少なくとも1 回の、細胞培養液の希釈工程直後、培地の交換工程直後もしくは細胞培養用器材の交換工程直後の培地中における血清および血漿の総含有濃度が培養開始時と同じか、もしくは培養開始時よりも低減されている

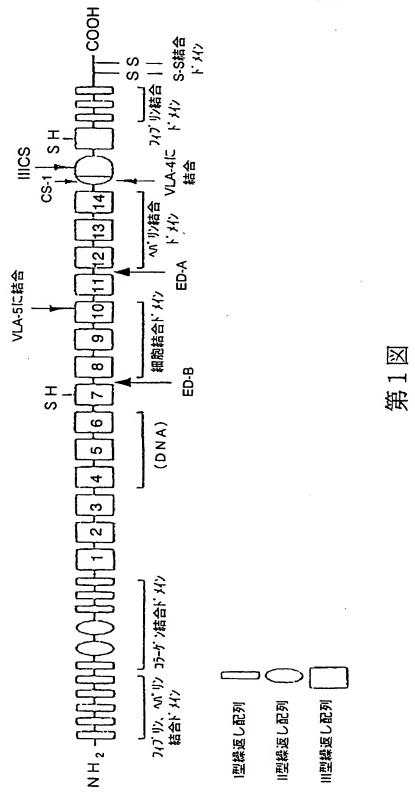
請求項1記載の方法。

17. 請求項1~16いずれか1項に記載の方法により得られる細胞傷害性リンパ球。

- 18. 請求項1~16いずれか1項に記載の方法により得られる細胞傷害性リンパ球を有効成分として含有する医薬。
- 19. フィブロネクチン、そのフラグメントまたはそれらの混合物を有効成分として含有し、かつ血清および血漿の総含有濃度が 0 容量%以上 5 容量%未満であることを特徴とする細胞傷害性リンパ球培養用培地。
- 20. 細胞傷害性リンパ球に外来遺伝子を導入する工程をさらに含む請求項1~16いずれか1項に記載の方法。
- 21. 外来遺伝子をレトロウイルス、アデノウイルス、アデノ随伴ウイルスまたはシミアンウイルスを用いて導入する請求項20記載の方法。
- 22. 配列表の配列番号 25 に記載のアミノ酸配列(x)、またはアミノ酸配列(x) において 1もしくは複数個のアミノ酸が欠失、挿入、付加もしくは置換したアミノ酸配列(y) を有するポリペプチドであって、アミノ酸配列(y) を有するポリペプチドがアミノ酸配列(x) を有するポリペプチドと同等な機能を有するものである、ポリペプチド。
- 23. 請求項22のポリペプチドをコードする核酸。

24. (1)配列番号26に記載の塩基配列からなるDNA、(2)配列番号26に記載の塩基配列において1もしくは複数個の塩基が欠失、置換、挿入もしくは付加した塩基配列からなり、かつDNA(1)にコードされるポリペプチドと同等な機能を有するポリペプチドをコードするDNA、または(3)配列番号26に記載の塩基配列からなるDNAとストリンジェントな条件下でハイブリダイズし、かつDNA(1)にコードされるポリペプチドと同等な機能を有するポリペプチドをコードするDNAからなる請求項23記載の核酸。

日本国特許庁



1/1

差替え用紙(規則26)

10/568745 PCT/JP2004/012238

IAP20 Rec'd PCT/PTO 21 FEB 2006

SEQUENCE LISTING

<110> TAKARA BIO INC.

<120> Process for the preparation of lymphocyte having cytotoxic activity

<130> 04-058-PCTJP

<150> JP 2003-298208

<151> 2003-08-22

<150> JP 2004-699

<151> 2004-01-05

<150> JP 2004-115648

<151> 2004-04-09

<150> JP 2004-222441

<151> 2004-07-29

<160> 29

<210> 1

(211) 87

<212> PRT

<213> Artificial Sequence

15

⟨220⟩

<223> partial region of fibronectin named 111-8

<400> 1

Pro Thr Asp Leu Arg Phe Thr Asn lie Gly Pro Asp Thr Met Arg

1 5 10

Val Thr Trp Ala Pro Pro Pro Ser lie Asp Leu Thr Asn Phe Leu

20 25 30

Val Arg Tyr Ser Pro Val Lys Asn Glu Glu Asp Val Ala Glu Leu

35 40 45

Ser lie Ser Pro Ser Asp Asn Ala Val Val Leu Thr Asn Leu Leu

50 55 60

Pro Gly Thr Glu Tyr Val Val Ser Val Ser Ser Val Tyr Glu Gin

70 75

His Glu Ser Thr Pro Leu Arg Gly Arg Gln Lys Thr

80 85

<210> 2.

<211> 90

<212> PRT

<213> Artificial Sequence

<220>

<223> partial region of fibronectin named III-9

90

<400> 2

Gly Leu Asp Ser Pro Thr Gly Ile Asp Phe Ser Asp Ile Thr Ala 1 5 10 Asn Ser Phe Thr Val His Trp IIe Ala Pro Arg Ala Thr IIe Thr 20 25 Gly Tyr Arg Ile Arg His His Pro Glu His Phe Ser Gly Arg Pro 35 40 Arg Glu Asp Arg Val Pro His Ser Arg Asn Ser lie Thr Leu Thr 50 55 60 Asn Leu Thr Pro Gly Thr Glu Tyr Val Val Ser Ile Val Ala Leu 65 70 75 Asn Gly Arg Glu Glu Ser Pro Leu Leu lle Gly Gln Gln Ser Thr 80

<210> 3

<211> 94

<212> PRT

<213> Artificial Sequence

(220)

<223> partial region of fibronectin named | | | -10

<400> 3

Val Ser Asp Val Pro Arg Asp Leu Giu Val Val Ala Ala Thr Pro

85

10 15 Thr Ser Leu Leu lle Ser Trp Asp Ala Pro Ala Val Thr Val Arg 20 25 30 Tyr Tyr Arg lle Thr Tyr Gly Glu Thr Gly Gly Asn Ser Pro Val 35 40 Gin Glu Phe Thr Val Pro Gly Ser Lys Ser Thr Ala Thr lie Ser 50 55 Gly Leu Lys Pro Gly Val Asp Tyr Thr lie Thr Val Tyr Ala Val 65 70 75 Thr Gly Arg Gly Asp Ser Pro Ala Ser Ser Lys Pro 11e Ser 11e 80 85 90 Asn Tyr Arg Thr

<210> 4

<211> 84

<212> PRT

<213> Artificial Sequence

<220>

<223> partial region of fibronectin named | | 11-11

<400> 4

Gin Met Gin Val Thr Asp Val Gin Asp Asn Ser lie Ser Val Lys

1 5 10 15

Trp Leu Pro Ser Ser Pro Val Thr Gly Tyr Arg Val Thr Thr

PCT/JP2004/012238

20 25 30 Thr Pro Lys Asn Gly Pro Gly Pro Thr Lys Thr Lys Thr Ala Gly 35 40 45 Pro Asp Gln Thr Glu Met Thr lle Glu Gly Leu Gln Pro Thr Val 50 55 60 Glu Tyr Val Val Ser Val Tyr Ala Gln Asn Pro Ser Gly Glu Ser 65 70 75 GIn Pro Leu Val Gin Thr Ala Val Thr 80

⟨210⟩ 5

<211> 92

<212> PRT

<213> Artificial Sequence

<220>

<223> partial region of fibronectin named 111-12

<400> 5

Ala lle Pro Ala Pro Thr Asp Leu Lys Phe Thr Gin Val Thr Pro

1 5 10 15

Thr Ser Leu Ser Ala Gin Trp Thr Pro Pro Asn Val Gin Leu Thr
20 . 25 30

Gly Tyr Arg Val Arg Val Thr Pro Lys Giu Lys Thr Gly Pro Met
35 40 45

90

60

Lys Glu lle Asn Leu Ala Pro Asp Ser Ser Ser Val Val Val Ser

50 55 60

Gly Leu Met Val Ala Thr Lys Tyr Glu Val Ser Val Tyr Ala Leu

65 70 75

Lys Asp Thr Leu Thr Ser Arg Pro Ala Gln Gly Val Val Thr Thr

85

Leu Glu

<210> 6

<211> 89

<212> PRT

<213> Artificial Sequence

80

<220> ·

<223> partial region of fibronectin named | | 1 | - 13

50

<400> 6

 Asn Val
 Ser Pro
 Pro
 Arg Arg Arg Ala
 Arg Val
 Thr Asp Ala
 Thr Glu

 1
 5
 7
 10
 10
 15

 15
 15
 15
 15
 16
 16
 16
 17
 16
 17
 16
 16
 16
 16
 16
 16
 16
 16
 16
 16
 16
 16
 16
 16
 16
 16
 16
 16
 16
 16
 16
 16
 16
 16
 16
 16
 16
 16
 16
 16
 16
 16
 16
 16
 16
 16
 16
 16
 16
 16
 16
 16
 16
 16
 16
 16
 16
 16
 16
 16
 16
 16
 16
 16
 16
 16
 16
 16
 16
 16
 16
 16
 16
 16
 16
 16
 16
 16
 16
 16
 16
 16
 16
 16
 16
 16
 16
 16
 16
 16
 16
 16
 16
 16
 16

55

Leu Gin Pro Gly Thr Asp Tyr Lys lie Tyr Leu Tyr Thr Leu Asn

65 70

75

Asp Asn Ala Arg Ser Ser Pro Val Val lie Asp Ala Ser Thr

80 85

<210> 7

<211> 90

<212> PRT

<213> Artificial Sequence

<220>

<223> partial region of fibronectin named III-14

<400> 7·

Ala lie Asp Ala Pro Ser Asn Leu Arg Phe Leu Ala Thr Thr Pro

1 5 10 15

Asn Ser Leu Leu Val Ser Trp Gln Pro Pro Arg Ala Arg ile Thr

20 25 30

Gly Tyr lle lle Lys Tyr Glu Lys Pro Gly Ser Pro Pro Arg Glu

35 40 45

Val Val Pro Arg Pro Arg Pro Gly Val Thr Glu Ala Thr Ile Thr

50 55 60

Gly Leu Glu Pro Gly Thr Glu Tyr Thr. ile Tyr Val ile Ala Leu

65 70 75

Lys Asn Asn Gin Lys Ser Glu Pro Leu lie Gly Arg Lys Lys Thr

80

85

90

<210> 8

<211> 25

<212> PRT

<213> Artificial Sequence

<220>

<223> partial region of fibronectin named CS-1

<400> 8

Asp Glu Leu Pro Gln Leu Val Thr Leu Pro His Pro Asn Leu His

1

5

10

15

Gly Pro Glu lle Leu Asp Val Pro Ser Thr

20

25

<210> 9

<211> 274

<212> PRT

<213> Human

<220>

<223> fibronectin fragment named C-274

ú

<	4	0	0	>	9

Pro	Thr	Asp	Leu	Arg	Phe	Thr	Asn	He	Gly	Pro	Asp	Thr	Met	Arı
1				5			٠		10					1 9
Val	Thr	Trp	Ala	Pro	Pro	Pro	Ser	He	Asp	Leu	Thr	Asn	Phe	Lei
				20					25					3 (
Val	Arg	Tyr	Ser	Pro	Val	Lys	Asn	Glu	Głu	Asp	Vai	Ala	Glu	Lei
				35					40					45
Ser	Пе	Ser	Pro	Ser	Asp	Asn	Ala	Val	Val	Leu	Thr	Asn	Leu	Leu
				50					55					60
Pro	Gly	Thr	Glu	Tyr	Val	Val	Ser	Val	Ser	Ser	Val	Tyr	Glu	Głr
				65					70					75
His	Glu	Ser	Thr	Pro	Leu	Arg	Gly	Arg	GIn	Lys	Thr	Gly	Leu	Asp
				80					85					90
Ser	Pro	Thr	Gly	Пe	Asp	Phe	Ser	Asp	He	Thr	Ala	Asn	Ser	Phe
				95					100					105
Thr	Val	His	Trp	lle	Ala	Pro	Arg	Ala	Thr	lle	Thr	Gly	Tyr	Arg
				110					115					120
lle	Arg	His	His	Pro	Glu	His	Phe	Ser	Gly	Arg	Pro	Arg	Glu	Asp
				125					130					135
Arg	Val	Pro	His	Ser	Arg	Asn	Ser	He	Thr	Leu	Thr	Asn	Leu	Thr
				140					145					150
Pro	Gly	Thr	Glu		Val	Val	Ser	He	Val	Ala	Leu	Αsņ	Gly	Arg
				155					160					165
Glu	Glu	Ser	Pro		Leu	lle	Gly	GIn	GIn	Ser	Thr	Val	Ser	Asp
				170					175					180
Val	Pro	Aro	Acn	1 011	Class	Val	Val	A 1 a	Ala	The	Dro	The	C ~ ~	1

PCT/JP2004/012238

185 190 195 Leu ile Ser Trp Asp Ala Pro Ala Val Thr Val Arg Tyr Tyr Arg 200 205 210 lle Thr Tyr Gly Glu Thr Gly Gly Asn Ser Pro Vai Gln Glu Phe 215 220 225 Thr Val Pro Gly Ser Lys Ser Thr Ala Thr lie Ser Gly Leu Lys 230 235 Pro Gly Val Asp Tyr Thr lie Thr Val Tyr Ala Val Thr Gly Arg 245 250 255 Gly Asp Ser Pro Ala Ser Ser Lys Pro Ile Ser Ile Asn Tyr Arg 260 265 270

Thr Glu lle Asp

<210> 10

<211> 271

<212> PRT

<213> Human

<220>

<223> fibronectin fragment named H-271

<400> 10

Ala lie Pro Ala Pro Thr Asp Leu Lys Phe Thr Gin Val Thr Pro

1 5 10 15

Thr Ser Leu Ser Ala Gin Trp Thr Pro Pro Asn Vai Gin Leu Thr

				20					25					30
Gly	Tyr	Arg	Val	Arg	Val	Thr	Pro	Lys	Glu	Lys	Thr	Gly	Pro	Met
				3 5					40					45
Lys	Glu	He	Asn	Leu	Ala	Pro	Asp	Ser	Ser	Ser	Val	Vai	V a I	Ser
				50					55					60
Gly	Leu	Met	Val	Ala	Thr	Lys	Tyr	Glu	Val	Ser	· Val	Tyr	Ala	Leu
				65					70					75
Lys	Asp	Thr	Leu	Thr	Ser	Arg	Pro	Ala	Gln	Gly	Val	Val	Thr	Thr
				80					85					90
Leu	Glu	Asn	Val	Ser	Pro	Pro	Arg	Arg	Ala	Arg	Val	Thr	Asp	Ala
				95					100					105
Thr	Glu	Thr	Thr	He	Thr	ile	Ser	Trp	Arg	Thr	Lys	Thr	Glu	Thr
				110					115					120
lle	Thr	Gly	Phe	GIn	Vai	Asp	Ala	Val	Pro	Ala	Asn	Gly	Gin	Thr
				125					130					135
Pro	lle	GIn	Arg		lie	Lys	Pro	Asp	Val	Arg	Ser	Tyr	Thr	He
				140					145					150
Thr	Giy	Leu	GIn		Gly	Thr	Asp	Tyr	Lys	He	Tyr	Leu	Tyr	Thr
				155					160					165
Leu	Asn	Asp	Asn		Arg	Ser	Ser	Pro		Val	lle	Asp	Ala	Ser
				170					175					180
Thr	Ala	lle	Asp		Pro	Şer	Asn	Leu		Phe	Leu	Ala	Thr	Thr
_		_		185					190			,		195
Pro	Asn	Ser	Leu		Val	Ser	Trp	GIn		Pro	Arg	Alá	Arg	
TL	01	T	11-	200		.	0.1	1.	205	•	_			210
106	uiv	Tyr	116	116	LVS	IVI	614	LVS	۲ro	GIV	Ser	Pro	Pro	Ara

215 220 225

Glu Val Val Pro Arg Pro Arg Pro Gly Val Thr Glu Ala Thr lle

230 235 240

Thr Gly Leu Glu Pro Gly Thr Glu Tyr Thr lle Tyr Val lle Ala

245 250 255

Leu Lys Asn Asn Gin Lys Ser Glu Pro Leu Ile Gly Arg Lys

260 265 270

Thr

<210> 11

<211> 296

<212> PRT

<213> Artificial Sequence

<220>

<223> fibronectin fragment named H-296

20

<400> 11

Ala lle Pro Ala Pro Thr Asp Leu Lys Phe Thr Gin Val Thr Pro

1 5 10 15

Thr Ser Leu Ser Ala Gin Trp Thr Pro Pro Asn Val Gin Leu Thr

25 30

Gly Tyr Arg Val Arg Val Thr Pro Lys Glu Lys Thr Gly Pro Met

35 40 45

Lys Glu Ile Asn Leu Ala Pro Asp Ser Ser Val Val Val Ser

				50					55					60
Gly	Leu	Met	Val	Ala	Thr	Lys	Tyr	Glu	Val	Ser	V a I	Tyr	Ala	Leu
				65					70					75
Lys	Asp	Thr	Leu	Thr	Ser	Arg	Pro	Ala	Gln	Gly	V a I	Val	Thr	Thr
				80					85					90
Leu	Glu	Asn	Val	Ser	Pro	Pro	Arg	Arg	Ala	Arg	Val	Thr	Asp	Ala
				95					100					105
Thr	Glu	Thr	Thr	I I e	Thr	lie	Ser	Trp	Arg	Thr	Lys	Thr	Glu	Thr
				110					115					120
He	Thr	Gly	Phe	GIn	Val	Asp	Ala	Val	Pro	Ala	Asn	Gly	GIn	Thr
				125					130					135
Pro	He	Gln	Arg	Thr	lle	Lys	Pro	Asp	Val	Arg	Ser	Tyr	Thr	He
				140					145				•	150
Thr	Gly	Leu	GIn	Pro	Gly	Thr	Asp	Tyr	Lys	lle	Tyr	Leu	Tyr	Thr
	•			155					160					165
Leu	Asn	Asp	Asn	Ala	Arg	Ser	Ser	Pro	Val	Val	lle	Asp	Ala	Ser
				170					175					180
Thr	Ala	He	Asp	Ala	Pro	Ser	Asn	Leu	Arg	Phe	Leu	Ala	Thr	Thr
				185					190					195
Pro	Asn	Ser	Leu	Leu	Val	Ser	Trp	GIn	Pro	Pro	Arg	Ala	Arg	He
				200					205					210
Thr	Gly	Tyr	He	lle	Lys	Tyr	Glu	Lys	Pro	Gly	Ser	Pro	Pro	Arg
				215					220					225
Glu	Val	Val	Pro		Pro	Arg	Pro	Gly	Val	Thr	Glu	Ala	Thr	lle
				230					235					240
Thr	Gly	Leu	Glu	Pro	Gly	Thr	Glu	Tyr	Thr	He	Tyr	Val	He	Ala

245 250 255

Leu Lys Asn Asn Gin Lys Ser Glu Pro Leu lie Gly Arg Lys

260 265 270

Thr Asp Glu Leu Pro Gln Leu Val Thr Leu Pro His Pro Asn Leu

275 280 285

His Gly Pro Glu IIe Leu Asp Val Pro Ser Thr

290 295

<210> 12

<211> 549

<212> PRT

<213> Artificial Sequence

<220> •

<223> fibronectin fragment named CH-271

50

<400> 12

Pro Thr Asp Leu Arg Phe Thr Asn Ile Gly Pro Asp Thr Met Arg

1 5 10 15

Val Thr Trp Ala Pro Pro Pro Ser lle Asp Leu Thr Asn Phe Leu

20 25 30

Val Arg Tyr Ser Pro Val Lys Asn Glu Glu Asp Val Ala Glu Leu

35 . 40 . 45

Ser lie Ser Pro Ser Asp Asn Ala Val Leu Thr Asn Leu Leu

55 60

Pro	Gly	Thr	Glu	Tyr	Val	Val	Ser	Val	Ser	Ser	Val	Tyr	Glu	GIn
				65					70					7 5
His	Glu	Ser	Thr	Pro	Leu	Arg	Gly	Arg	Gln	Lys	Thr	Gly	Leu	Asp
				80					8 5					90
Ser	Pro	Thr	Gly	Пe	Asp	Phe	Ser	Asp	Пe	Thr	Ala	Asn	Ser	Phe
				95					100					105
Thr	Vai	His	Trp	ile	Ala	Pro	Arg	Ala	Thr	Пe	Thr	Gly	Tyr	Arg
				110					115					120
lle	Arg	His	His	Pro	Glu	His	Phe	Ser	Gly	Arg	Pro	Arg	Glu	Asp
				125					130					135
Arg	Val	Pro	His	Ser	Arg	Asn	Ser	lie	Thr	Leu	Thr	Asn	Leu	Thr
				140					145					150
Pro	Gly	Thr	Glu	Tyr	Val	Val	Ser	He	Val	Ala	Leu	Asn	Gly	Arg
				155					160					165
Glu	Glu	Ser	Pro	Leu	Leu	He	Gly	Gln	GIn	Ser	Thr	Val	Ser	Asp
				170					175					180
Val	Pro	Arg	Asp	Leu	Glu	Val	Val	Ala	Ala	Thr	Pro	Thr	Ser	Leu
				185					190					195
Leu	lle	Ser	Trp	Asp	Ala	Pro	Ala	Val	Thr	Val	Arg	Tyr	Tyr	Arg
				200					205					210
ile	Thr	Tyr	Gly		Thr	Gly	Gly	Asn	Ser	Pro	Val	Gln	Glu	Phe
				215					220					225
Thr	Val	Pro	Gly		Lys	Ser	Thr	Ala	Thr	lle	Ser	Gly	Leu	Lys
				230					235					240
Pro	Gly	Val	Asp		Thr	lle	Thr	Val	Tyr	Ala	V a l	Thr	Gly	Arg
				245					250					255

Gly	Asp	Ser	Pro	Ala	Ser	Ser	Lys	Pro	lle	Ser	lle	Asn	Tyr	Arg
				260)				265	i				270
Thr	Glu	lle	Asp	Lys	Pro	Ser	Met	Ala	lle	Pro	Ala	Pro	Thr	Asp
				275	i				280					285
Leu	Lys	Phe	Thr	Gln	Val	Thr	Pro	Thr	Ser	Leu	Ser	Ala	Gln	Trp
				290					295					300
Thr	Pro	Pro	Asn	Val	Gln	Leu	Thr	Gly	Tyr	Arg	Vai	Arg	Val	Thr
				305					310					315
Pro	Lys	Glu	Lys	Thr	Gly	Pro	Met	Lys	Glu	lle	Asn	Leu	Ala	Pro
				320					325					330
Asp	Ser	Ser	Ser	Val	Val	Val	Ser	Gly	Leu	Met	Val	Ala	Thr	Lys
				335					340					345
Tyr	Glu	Val	Ser	Val	Tyr	Aļa	Leu	Lys	Asp	Thr	Leu	Thr	Ser	Arg
				350					355					360
Pro	Ala	Gin	Gly	Va I	Val	Thr	Thr	Leu	Glu	Asn	Val	Ser	Pro	Pro
				365					370					375
Arg	Arg	Ala	Arg	Val	Thr	Asp	Ala	Thr	Glu	Thr	Thr	I I e	Thr	lle
				380					385	•				390
Ser	Trp	Arg	Thr	Lys	Thr	Glu	Thr	l I e	Thr	Gly	Phe	Gln	Val	Asp
				395					400					405
Ala	Val.	Pro	Ala	Asn	Gly	GIn	Thr	Pro	He	Gin	Arg	Thr	lle	Lys
				410				•	415					420
Pro	Asp	Val	Arg	Ser	Tyr	Thr	He	Thr	Gly	Leu	GIn	Pro	Gly	Thr
				425				•	430					435
Asp	Tyr	Lys	He	Tyr	Leu	Tyr	Thr	Leu	Asn	Asp	Asn	Ala	Arg	Ser
				440					445					450

455 460 465 Asn Leu Arg Phe Leu Ala Thr Thr Pro Asn Ser Leu Leu Val Ser 470 475 480 Trp Gln Pro Pro Arg Ala Arg lie Thr Gly Tyr lie lie Lys Tyr 485 490 495 Glu Lys Pro Gly Ser Pro Pro Arg Glu Val Val Pro Arg Pro Arg 500 505 510 Pro Gly Val Thr Glu Ala Thr lle Thr Gly Leu Glu Pro Gly Thr

Ser Pro Val Val lle Asp Ala Ser Thr Ala lle Asp Ala Pro Ser

515 520 525

Glu Tyr Thr lle Tyr Val lle Ala Leu Lys Asn Asn Gin Lys Ser

530 535 540

Glu Pro Leu lie Gly Arg Lys Lys Thr

545

<210> 13

<211> 574

<212> PRT

<213> Artificial Sequence

<220>

<223> fibronectin fragment named CH-296

<400> 13

Pro Thr Asp Leu Arg Phe Thr Asn Ile Gly Pro Asp Thr Met Arg

1				5	i				10					1 5
Val	Thr	Trp	Ala	Pro	Pro	Pro	Ser	lle	Asp	Leu	Thr	Asn	Phe	Leu
				20	ı		•		25					30
Val	Arg	Tyr	Ser	Pro	Val	Lys	Asn	Glu	Glu	Asp	Val	Ala	Glu	Leu
				3 5					40					45
Ser	ile	Ser	Pro	Ser	Asp	Asn	Ala	Val	Val	Leu	Thr	Asn	Leu	Leu
				50					55					60
Pro	Gly	Thr	Glu	Tyr	Val	Val	Ser	Val	Ser	Ser	Val	Tyr	Glu	Gln
				65					70					75
His	Glu	Ser	Thr	Pro	Leu	Arg	Gły	Arg	Gln	Lys	Thr	Gly	Leu	Asp
				80					85					90
Ser	Pro	Thr	Gly	He	Asp	Phe	Ser	Asp	He	Thr	Ala	Asn	Ser	Phe
				95					100					105
Thr	Val	His	Trp	lle	Ala	Pro	Arg	Ala	Thr	He	Thr	Gly	Tyr	Arg
				110					115					120
He	Arg	His	His	Pro	Glu	His	Phe	Ser	Gly	Arg	Pro	Arg	Glu	Asp
				125					130					135
Arg	V a _. i	Pro	His	Ser	Arg	Asn	Ser	lle	Thr	Leu	Thr	Asn	Leu	Thr
				140					145					150
Pro	Gly	Thr	Glu	Tyr	Val	V a,I	Ser	ile	Val	Ala	Leu	Asn	Gly	Arg
				155					160					165
Glu	Glu	Ser	Pro	Leu	Leu	He	Gly	GIn	GIn	Ser	Thr	Val	Ser	Asp
				170					175					180
Val	Pro	Arg	Asp		Glu	Val	Val	Ala	Ala	Thr	Pro	Thr	Ser	Leu
				185					190					195
Leu	ile	Ser	Trp	Asp	Ala	Pro	Ala	Val	Thr	Val	Arg	Tvr	Tvr	Ara

				200					205	;				210
He	Thr	Tyr	Gly	Glu	Thr	Gly	Gly	Asn	Ser	Pro	Val	GIn	Glu	Phe
				215					220)				225
Thr	Val	Pro	Gly	Ser	Lys	Ser	Thr	Ala	Thr	He	Ser	Gly	Leu	Lys
				230					235					240
Pro	Gly	V a I	Asp	Tyr	Thr	lle	Thr	·Val	Tyr	Ala	Val	Thr	Gly	Arg
				245					250					255
Gly	Asp	Ser	Pro	Ala	Ser	Ser	Lys	Pro	lle	Ser	ile	Asn	Туг	Arg
				260					265					270
Thr	Glu	lle	Asp	Lys	Pro	Ser	Met	Ala	lle	Pro	Ala	Pro	Thr	Asp
				275					280					285
Leu	Lys	Phe	Thr	GIn	Val	Thr	Pro	Thr	Ser	Leu	Ser	Ala	GIn	Trp
				290					295					300
Thr	Pro	Pro	Asn	Val	GIn	Leu	Thr	Gly	Tyr	Arg	V a I	Arg	Val	Thr
	•			305					310					315
Pro	Lys	Glu	Lys	Thr	Gly	Pro	Met	Lys	Glu	l I e	Asn	Leu	Ala	Pro
				320					325					330
Asp	Ser	Ser	Ser	Val	Val	Val	Ser	Gly	Leu	Met	Val	Ala	Thr	Lys
				335					340					345
Tyr	Glu	Vai	Ser	Val	Tyr	Ala	Leu	Lys	Asp	Thr	Leu	Thr	Ser	Arg
				350					355					360
Pro	Ala	Gin	Gly	Val	Val	Thr	Thr	Leu	Glu	Asn	Val	Ser	Pro	Pro
				365					370					375
Arg	Arg	Ala	Arg	Val	Thr	Asp	Ala	Thŗ	Glu	Thr	Thr	Пe	Thr	He
				380					385					390
Ser	Trp	Arg	Thr	Lys	Thr	Glu	Thr	He	Thr	Gly	Phe	Gln	Val	Asp

	395	400	405
Ala Val Pro Al	a Asn Gly Gl	n Thr Pro lle Gin Arg	Thr lie Lys
	410	415	420
Pro Asp Val Arı	g Ser Tyr Th	r lie Thr Gly Leu Gin	Pro Gly Thr
	425	430	435
Asp Tyr Lys IIe	Tyr Leu Ty	r Thr Leu Asn Asp Asn	Ala Arg Ser
	440	445	450
Ser Pro Val Val	lle Asp Ala	ı Ser Thr Ala ile Asp	Ala Pro Ser
	455	460	465
Asn Leu Arg Phe	Leu Ala Thr	Thr Pro Asn Ser Leu	Leu Val Ser
	470	475	480
Trp Gin Pro Pro	Arg Ala Arg	lle Thr Gly Tyr lle	lle Lys Tyr
	485	490	495
Glu Lys Pro Gly	Ser Pro Pro	Arg Glu Val Val Pro	Arg Pro Arg
•	500	505	510
Pro Gly Val Thr	Glu Ala Thr	lle Thr Gly Leu Glu	Pro Gly Thr
	515	520	525
Glu Tyr Thr lle	Tyr Val 11e	Ala Leu Lys Asn Asn	GIn Lys Ser
	530	535	540
Glu Pro Leu lle	Gly Arg Lys	Lys Thr Asp Glu Leu	Pro Gin Leu
	545	550	555
Val Thr Leu Pro	His Pro Asn	Leu His Gly Pro Glu	lle Leu Asp
	560	565	570
Val Pro Ser Thr			

<210> 14

<211> 302

<212> PRT

<213> Artificial Sequence

<220>

<223> fibronectin fragment named C-CS1

35

<400> 14

Pro Thr Asp Leu Arg Phe Thr Asn IIe Gly Pro Asp Thr Met Arg

1 5 10 15

Val Thr Trp Ala Pro Pro Pro Ser ile Asp Leu Thr Asn Phe Leu

20 25 30

Val Arg Tyr Ser Pro Val Lys Asn Glu Glu Asp Val Ala Glu Leu

40 45

Ser lie Ser Pro Ser Asp Asn Ala Val Val Leu Thr Asn Leu Leu

50 55

Pro Gly Thr Glu Tyr Val Val Ser Val Ser Ser Val Tyr Glu Gln

65 70 75

His Glu Ser Thr Pro Leu Arg Gly Arg Gln Lys Thr Gly Leu Asp

80 85 90

Ser Pro Thr Gly lle Asp Phe Ser Asp lle Thr Ala Asn Ser Phe

95 100 105

Thr Val His Trp lle Ala Pro Arg Ala Thr lle Thr Gly Tyr Arg

110 115 120

lle Arg His His Pro Glu His Phe Ser Gly Arg Pro Arg Glu Asp

				125					130					135
Arg	Val	Pro	His	Ser	Arg	Asn	Ser	lle	Thr	Leu	Thr	Asn	Leu	Thr
				140					145					150
Pro	Gly	Thr	Glu	Tyr	Val	V a 1	Ser	He	V a I	Ala	Leu	Asn	Gly	Arg
				155					160					165
Glu	Glu	Ser	Pro	Leu	Leu	lle	Giy	Gln	GIn	Ser	Thr	Val	Ser	Asp
				170					175					180
Val	Pro	Arg	Asp	Leu	Glu	Val	Val	Ala	Ala	Thr	Pro	Thr	Ser	Leu
				185					190					195
Leu	lle	Ser	Trp	Asp	Ala	Pro	Ala	Val	Thr	Val	Arg	Tyr	Tyr	Arg
				200					205					210
I I e	Thr	Tyr	Gly		Thr	Gly	Gly	Аѕп	Ser	Pro	Val	GIn	Glu	Phe
				215					220					225
Thr	Val	Pro	Gly		Lys	Ser	Thr	Ala	Thr	lle	Ser	Gly	Leu	Lys
	•			230					235					240
Pro	Gly	Val	Asp		Thr	lle	Thr	Val		Ala	Val	Thr	Gly	Arg
4.				245					250					255
Gly	Asp	Ser	Pro		Ser	Ser	Lys	Pro		Ser	ile	Asn	Tyr	Arg
				260	_				265					270
Ihr	Glu	He	Asp		Pro	Ser	Asp	Glu		Pro	Gln	Leu	Val	
	0		_	275				_	280					285
Leu	Pro	His	Pro		Leu	His	Gly	Pro		lle	Leu	Asp	Val	
٠	The			290					295					300

60

⟨210⟩ 15

(211) 367

<212> PRT

<213> Artificial Sequence

<220>

<223> fibronectin fragment named CHV-89

35

50

<400> 15

Pro Thr Asp Leu Arg Phe Thr Asn lie Gly Pro Asp Thr Met Arg

1 5 10 15

Val Thr Trp Ala Pro Pro Pro Ser IIe Asp Leu Thr Asn Phe Leu

20 25 30

Val Arg Tyr Ser Pro Val Lys Asn Glu Glu Asp Val Ala Glu Leu

40 4

Ser lie Ser Pro Ser Asp Asn Ala Val Val Leu Thr Asn Leu Leu

55

Pro Gly Thr Glu Tyr Val Val Ser Val Ser Ser Val Tyr Glu Gin

65 70 75

His Glu Ser Thr Pro Leu Arg Gly Arg Gln Lys Thr Gly Leu Asp

80 85 90

Ser Pro Thr Gly lie Asp Phe Ser Asp lie Thr Ala Asn Ser Phe

95 100 105

Thr Val His Trp Ile Ala Pro Arg Ala Thr Ile Thr Gly Tyr Arg

110 115 120

lle Arg His His Pro Glu His Phe Ser Gly Arg Pro Arg Glu Asp

				125					130	1				135
Arg	. Val	Pro	His	Ser	Arg	Asn	Ser	He	Thr	Leu	Thr	Asn	Leu	Thr
				140					145					150
Pro	Gly	Thr	Glu	Tyr	Val	Val	Ser	lie	Val	Ala	Leu	Asn	Gly	Arg
				155					160					165
, G I u	Glu	Ser	Pro	Leu	Leu	l I e	Gly	Gln	Gln	Ser	Thr	Val	Ser	Asp
				170					175					180
Val	Pro	Arg	Asp	Leu	Glu	V a !	Val	Ala	Ala	Thr	Pro	Thr	Ser	Leu
				185					190					195
Leu	He	Ser	Trp	Asp	Ala	Pro	Ala	Val	Thr	Val	Arg	Tyr	Tyr	Arg
				200					205					210
He	Thr	Tyr	Gly	Glu	Thr	Giy	Gly	Asn	Ser	Pro	Val	GIn	Glu	Phe
				215					220					225
Thr	Val	Pro	Gly	Ser	Lys	Ser	Thr	Ala	Thr	lle	Ser	Gly	Leu	Lys
		•		230					235					240
Pro	Gly	Val	Asp	Tyr	Thr	lle	Thr	Val	Tyr	Ala	Val	Thr	Gly	Arg
				245					250					255
Gly	Asp	Ser	Pro	Ala	Ser	Ser	Lys	Pro	lle	Ser	He	Asn	Tyr	Arg
				260					265					270
Thr	Glu	He	Asp	Lys	Pro	Ser	Met	Asn	Val	Ser	Pro	Pro	Arg	Arg
				275					280					285
Ala	Arg	Val	Thr		Ala	Thr	Glu	Thr	Thr	lle	Thr	Пe	Ser	Trp
				290					295					300
Arg	Thr	Lys	Thr		Thr	He	Thr	GIy.	Phe	GIn	Vai	Asp	Ala	Val
				305					310					315
Pro	Ala	Asn	Gly	Gin	Thr	Pro	He	Gin	Arg	Thr	He	Lys	Pro	Asp

320 325 330

Val Arg Ser Tyr Thr lie Thr Gly Leu Gln Pro Gly Thr Asp Tyr
335 340 345

Lys lie Tyr Leu Tyr Thr Leu Asn Asp Asn Ala Arg Ser Ser Pro
350 355 360

Val Val lie Asp Ala Ser Thr
365

<210> 16

<211> 368

<212> PRT

<213> Artificial Sequence

〈220〉

<223> fibronectin fragment named CHV-90

<400> 16

Pro Thr Asp Leu Arg Phe Thr Asn Ile Gly Pro Asp Thr Met Arg 1 5 10 15 Val Thr Trp Ala Pro Pro Pro Ser Ile Asp Leu Thr Asn Phe Leu 20 25 30 Val Arg Tyr Ser Pro Val Lys Asn Glu Glu Asp Val Ala Glu Leu 35 . 40 45 Ser lie Ser Pro Ser Asp Asn Ala Val Leu Thr Asn Leu Leu 50 55 60

Pro	Gly	Thr	Glu	Tyr	Val	Val	Ser	V a I	Ser	Ser	Val	Tyr	Glu	Gin
				65					70					75
His	Glu	Ser	Thr	Pro	Leu	Arg	Gly	Arg	Gin	Lys	Thr	Gly	Leu	Asp
				80					85		•			90
Ser	Pro	Thr	Gly	He	Asp	Phe	Ser	Asp	lie	Thr	Ala	Asn	Ser	Phe
				95					100					105
Thr	Val	His	Trp	lle	Ala	Pro	Arg	Ala	Thr	He	Thr	Gly	Tyr	Arg
	·			110					115					120
Пe	Arg	His	His	Pro	Glu	His	Phe	Ser	Gly	Arg	Pro	Arg	Glu	Asp
				125					130					135
Arg	Val	Pro	His	Ser	Arg	Asn	Ser	lle	Thr	Leu	Thr	Asn	Leu	Thr
				140					145					150
Pro	Gly	Thr	Glu	Tyr	Val	Val	Ser	I I e	Val	Ala	Leu	Asn	Gly	Arg
				155					160					165
Glu	Glú	Ser	Pro	Leu	Leu	lle	Gly	Gin	GIn	Ser	Thr	Val	Ser	Asp
				170					175					180
Val	Pro	Arg	Asp	Leu	Glu	V a 1	Val	Ala	Ala	Thr	Pro	Thr	Ser	Leu
				185					190					195
Leu	lle	Ser	Trp	Asp	Ala	Pro	Ala	Val	Thr	Val	Arg	Tyr	Tyr	Arg
				200					205					210
lle	Thr	Tyr	Gly	Glu	Thr	Gly	Gly	Asn	Ser	Pro	Val	GIn	Glu	Phe
				215					220					225
Thr	Val	Pro	Gly	Ser	Lys	Ser	Thr	Ala	Thr	Пe	Ser	Gly	Leu	Lys
				230				-	235					240
Pro	Gly	Val	Asp	Tyr	Thr	1 l e	Thr	V a I	Tyr	Ala	Vai	Thr	Gly	Arg
				245					250			•		255

Gly Asp Ser Pro Ala Ser Ser Lys Pro Ile Ser Ile Asn Tyr Arg 260 265 270 Thr Glu lle Asp Lys Pro Ser Met Ala lle Asp Ala Pro Ser Asn 275 280 285 Leu Arg Phe Leu Ala Thr Thr Pro Asn Ser Leu Leu Val Ser Tro 290 295 300 Gin Pro Pro Arg Ala Arg ile Thr Gly Tyr ile lie Lys Tyr Glu 305 310 315 Lys Pro Gly Ser Pro Pro Arg Glu Val Val Pro Arg Pro Arg Pro 320 325 330 Gly Val Thr Glu Ala Thr lle Thr Gly Leu Glu Pro Gly Thr Glu 335 340 345 Tyr Thr ile Tyr Val Ile Ala Leu Lys Asn Asn Gin Lys Ser Giu 350 355 360 Pro Leu lle Gly Arg Lys Lys Thr 365

<210> 17

<211> 370

<212> PRT

<213> Artificial Sequence

(220)

<223> fibronectin fragment named CHV-92

<	4	0	0	>	1	7

Pro	Thr	Asp	Leu	Arg	Phe	Thr	Asn	lle	Gly	Pro	Asp	Thr	Met	Arg
1				5					10					15
Val	Thr	Trp	Ala	Pro	Pro	Pro	Ser	l l e	Asp	Leu	Thr	Asn	Phe	Leu
				20					25					30
Val	Arg	Tyr	Ser	Pro	V a I	Lys	Asn	Glu	Glu	Asp	Val	Ala	Glu	Leu
				35					40					45
Ser	lle	Ser	Pro	Ser	Asp	Asn	Ala	V a I	Val	Leu	Thr	Asn	Leu	Leu
				50					55					60
Pro	Gly	Thr	Glu	Tyr	Val	V a I	Ser	V a I	Ser	Ser	V a I	Tyr	Glu	GIn
				65					70					75
His	Glu	Ser	Thr	Pro	Leu	Arg	Gly	Arg	GIn	Lys	Thr	Gly	Leu	Asp
				80					85				•	90
Ser	Pro	Thr	Giy	l I e	Asp	Phe	Ser	Asp	Пе	Thr	Ala	Asn	Ser	Phe
	•			95					100					105
Thr	Val	His	Trp	I I e	Ala	Pro	Arg	Ala	Thr	1 I e	Thr	Gly	Tyr	Arg
				110					115					120
lle	Arg	His	His	Pro	Glu	His	Phe	Ser	Gly	Arg	Pro	Arg	Glu	Asp
				125					130					135
Arg	Val	Pro	His	Ser	Arg	Asn	Ser	Пe	Thr	Leu	Thr	Asn	Leu	Thr
				140					145					150
Pro	Gly	Thr	Glu	Tyr	Val	V a I	Ser	lle	V a I	Ala	Leu	Asn	GІу	Arg
				155					160					165
Glu	Glu	Ser	Pro	Leu	Leu	lle	Gly	Gln	GIn	Ser	Thr	Val	Ser	Asp
				170					175					180
Val	Pro	Ara	Asn	الم ا	Glu	Val	Val	A 1 a	41-	T L	0	T L	C	

				185					190					195
Leu	He	Ser	Trp	Asp	Ala	Pro	Ala	Val	Thr	Val	Arg	Tyr	Tyr	Arg
				200					205					210
I I e	Thr	Tyr	Gly	Glu	Thr	Gly	Gly	Asn	Ser	Pro	Val	GIn	Glu	Phe
				215					220					225
Thr	Val	Pro	Gly	Ser	Lys	Ser	Thr	Ala	Thr	lle	Ser	Gly	Leu	Lys
		ē		230					235					240
Pro	Gly	Val	Asp	Tyr	Thr	He	Thr	Val	Tyr	Ala	Val	Thr	Gly	Arg
				245					250					255
Gly	Asp	Ser	Pro	Ala	Ser	Ser	Lys	Pro	Пе	Ser	Пе	Asn	Tyr	Arg
				260					265					270
Thr	Glu	lle	Asp	Lys	Pro	Ser	Met	Ala	11e	Pro	Ala	Pro	Thr	Asp
				275					280					285
Leu	Lys	Phe	Thr	Gln	Val	Thr	Pro	Thr	Ser	Leu	Ser	Ala	GIn	Trp
	•			290					295					300
Thr	Pro	Pro	Asn	Val∙	GIn	Leu	Thr	Gly	Tyr	Arg	Val	Arg	۷ạ۱	Thr
				305					310					315
Pro	Lys	Glu	Lys	Thr	Gly	Pro	Met	Lys	Glu	He	Asn	Leu	Ala	Pro
				320					325					330
Asp	Ser	Ser	Ser	Val	Val	Val	Ser	Gly	Leu	Met	Val	Ala	Thr	Lys
				335					340					345
Tyr	Glu	Val	Ser	Val	Tyr	Ala	Leu	Lys	Asp	Thr	Leu	Thr	Ser	Arg
				350					355					360
Pro	Ala	Gln	Gly		Val	Thr	Thr	Leu	Glu					
				365	•				370					

⟨210⟩ 18

(211) 457

<212> PRT

<213> Artificial Sequence

(220)

<223> fibronectin fragment named CHV-179

<400> 18

Pro Thr Asp Leu Arg Phe Thr Asn IIe Gly Pro Asp Thr Met Arg

1 5 10 15

Val Thr Trp Ala Pro Pro Pro Ser Ile Asp Leu Thr Asn Phe Leu

20 25 30

Val Arg Tyr Ser Pro Val Lys Asn Glu Glu Asp Val Ala Glu Leu

35 40 45

Ser lle Ser Pro Ser Asp Asn Ala Val Val Leu Thr Asn Leu Leu

50 55 60

Pro Gly Thr Glu Tyr Val Val Ser Val Ser Val Tyr Glu Gin

65 70 75

His Glu Ser Thr Pro Leu Arg Gly Arg Gln Lys Thr Gly Leu Asp

80 85 90

Ser Pro Thr Gly lle Asp Phe Ser Asp lle Thr Ala Asn Ser Phe

95 . 100 105

Thr Val His Trp Ile Ala Pro Arg Ala Thr Ile Thr Gly Tyr Arg

110 115 120

Пe	Arg	His	His	Pro	Glu	His	Phe	Ser	Gly	Arg	Pro	Arg	Glu	Asp
				125					130					135
Arg	Val	Pro	His	Ser	Arg	Asn	Ser	He	Thr	Leu	Thr	Asn	Leu	Thr
				140					145					150
Pro	Gly	Thr	Glu	Tyr	Val	Val	Ser	lle	V a I	Ala	Leu	Asn	Gly	Arg
				155					160					165
Glu	Glu	Ser	Pro	Leu	Leu	l I e	Gly	GIn	Gin	Ser	Thr	Val	Ser	Asp
				170					175					180
Val	Pro	Arg	Asp	Leu	Glu	Val	Val	Ala	Ala	Thr	Pro	Thr	Ser	Leu
				185					190					195
Leu	He	Ser	Trp	Asp	Ala	Pro	Ala	Val	Thr	V a I	Arg	Туr	Tyr	Arg
				200					205					210
I I e	Thr	Tyr	Gly	Glu	Thr	Gly	Gly	Asn	Ser	Pro	Val	Gln	Glu	Phe
				215					220					225
Thr	Val	Pro	Gly	Ser	Lys	Ser	Thr	A`l a	Thr	lle	Ser	Gly	Leu	Lys
				230					235					240
Pro	Gly	Vai	Asp	Tyr	Thr	lle	Thr	Val	Tyr	Ala	Val	Thr	Gly	Arg
				245					250					255
Gly	Asp	Ser	Pro	Ala	Ser	Ser	Lys	Pro	I I e	Ser	l l e	Asn	Tyr	Arg
				260					265					270
Thr	Glu	lle	Asp	Lys	Pro	Ser	Met	Asn	Va!	Ser	Pro	Pro	Arg	Arg
				275					280					285
Ala	Arg	Val	Thr	Asp	Ala	Thr	Glu	Thr	Thr	Пe	Thr	Пе	Ser	Trp
				290					295			•		300
Arg	Thr	Lys	Thr	Glu	Thr	lle	Thr	Gly	Phe	Gln	Val	qsA	Ala	Vai
				305					310					315

Pro	Ala	Asn	Gly	Gin	Thr	Pro	I I e	GIn	Arg	Thr	He	Lys	Pro	Asp
				320					325					330
Va!	Arg	Ser	Tyr	Thr	i i e	Thr	Gly	Leu	Gln	Pro	Gly	Thr	Asp	Tyr
				335					340					345
Lys	He	Tyr	Leu	Tyr	Thr	Leu	Asn	Asp	Asn	Ala	Arg	Ser	Ser	Pro
				350					355					360
Val	Val	He	Asp	Ala	Ser	Thr	Ala	lle	Asp	Ala	Pro	Ser	Asn	Leu
		•		365					370					375
Arg	Phe	Leu	Ala	Thr	Thr	Pro	Asn	Ser	Leu	Leu	Val	Ser	Trp	GIn
				380					385					390
Pro	Pro	Arg	Ala	Arg	He	Thr	Gly	Tyr	Пe	He	Lys	Tyr	Glu	Lys
				395					400					405
Pro	Gly	Ser	Pro	Pro	Arg	Glu	Val	Val	Pro	Arg	Pro	Arg	Pro	Gly
				410					415					420
Val	Thr	Glu	Ala	Thr	He	Thr	Gly	Leu	Glu	Pro	Gly	Thr	Glu	Tyr
				425					430					435
Thr	lle	Tyr	Val	He	Ala	Leu	Lys	Asn	Asn	GIn	Lys	Ser	Glu	Pro
				440					445					450
Leu	lle	Gly	Arg	Lys	Lys	Thr								
				455										

<210> 19

<211> 459

<212> PRT

<213> Artificial Sequence

<220>

<223> fibronectin fragment named CHV-181

<400> 19

Pro Thr Asp Leu Arg Phe Thr Asn Ile Gly Pro Asp Thr Met Arg Val Thr Trp Ala Pro Pro Pro Ser IIe Asp Leu Thr Asn Phe Leu Val Arg Tyr Ser Pro Val Lys Asn Glu Giu Asp Val Ala Glu Leu Ser lie Ser Pro Ser Asp Asn Ala Val Val Leu Thr Asn Leu Leu Pro Gly Thr Glu Tyr Val Val Ser Val Ser Ser Val Tyr Glu Gln His Glu Ser Thr Pro Leu Arg Gly Arg Gln Lys Thr Gly Leu Asp Ser Pro Thr Gly lle Asp Phe Ser Asp lle Thr Ala Asn Ser Phe Thr Val His Trp lie Ala Pro Arg Ala Thr lie Thr Gly Tyr Arg lle Arg His His Pro Glu His Phe Ser Gly Arg Pro Arg Glu Asp Arg Val Pro His Ser Arg Asn Ser lle Thr Leu Thr Asn Leu Thr Pro Gly Thr Glu Tyr Val Val Ser ile Val Ala Leu Asn Gly Arg

				155					160					165
Glu	Glu	Ser	Pro	Leu	Leu	lle	Gly	GIn	Gln	Ser	Thr	Val	Ser	Asp
				170					175					180
Val	Pro	Arg	Asp	Leu	Glu	V a I	Val	Ala	Ala	Thr	Pro	Thr	Ser	Leu
				185					190					195
Leu	lle	Ser	Trp	Asp	Ala	Pro	Ala	Val	Thr	Val	Arg	Tyr	Tyr	Arg
				200					205					210
11e	Thr	Tyr	Gly	Glu	Thr	Gly	Gly	Asn	Ser	Pro	Val	Gin	Gíu	Phe
				215					220					225
Thr	Val	Pro	Gly	Ser	Lys	Ser	Thr	Ala	Thr	He	Ser	Gly	Leu	Lys
				230					235					240
Pro	Gly	Vai	Asp	Tyr	Thr	lie	Thr	Val	Tyr	Ala	Val	Thr	Gly	Arg
				245					250					255
Gly	Asp	Ser	Pro	Ala	Ser	Ser	Lys	Pro	lle	Ser	lle	Asn	Tyr	Arg
		•		260					265					270
Thr	Glu	lle	Asp		Pro	Ser	Met	Ala	ile	Pro	Ala	Pro	Thr	Asp
				275					280					285
Leu	Lys	Phe	Thr		Val	Thr	Pro	Thr		Leu	Ser	Ala	Gln	Trp
				290					295					300
Thr	Pro	Pro	Asn		GIn	Leu	Thr	Gly		Arg	Val	Arg	Val	
•	•			305		_			310					315
Pro	Lys	Glu	Lys		Gly	Pro	Met	Lys		lle	Asn	Leu	Ala	
4	C	S = =	C	320	17 - 1	37. 1	•		325					330
изр	ser	Ser	ser		vai	vai	ser	GIy.		Met	Val	Ala	ihr	
Tvr	C.L.	Val	٠	335 Val	Tu =	A J =	1	1	340	T L	1	TL	C	345
1 7 1	u i u	V a 1	361	7 4 1	1 7 1	nid	L S 0	r A 2	A S D	ınr	Leu	inr	ser	Arg

350 355 360 Pro Ala Gin Gly Val Val Thr Thr Leu Glu Asn Val Ser Pro Pro 365 370 375 Arg Arg Ala Arg Val Thr Asp Ala Thr Glu Thr Thr lie Thr lie 380 385 390 Ser Trp Arg Thr Lys Thr Glu Thr Ile Thr Gly Phe Gln Val Asp 395 400 Ala Val Pro Ala Asn Gly Gln Thr Pro Ile Gln Arg Thr Ile Lys 410 415 420 Pro Asp Val Arg Ser Tyr Thr lie Thr Gly Leu Gin Pro Gly Thr 425 430 435 Asp Tyr Lys lie Tyr Leu Tyr Thr Leu Asn Asp Asn Ala Arg Ser 440 445 450 Ser Pro Val Val lle Asp Ala Ser Thr 455

<210> 20

<211> 276

<212> PRT

<213> Artificial Sequence

<220>

<223> fibronectin fragment named H-275-Cys

<400> 20

Met	Ala	Ala	Ser	Ala	ile	Pro	Ala	Pro	Thr	Asp	Leu	Lys	Phe	Thr
1				5	i				10)				1 5
Gln	Val	Thr	Pro	Thr	Ser	Leu	Ser	Ala	Gln	Trp	Thr	Pro	Pro	Asn
				20					25					30
Val	Gln	Leu	Thr	Gly	Tyr	Arg	Val	Arg	Vai	Thr	Pro	Lys	Glu	Lys
				3 5					40					45
Thr	Gly	Pro	Met	Lys	Glu	lle	Asn	Leu	Ala	Pro	Asp	Ser	Ser	Ser
				50					55					60
Val	Val	Val	Ser	Gly	Leu	Met	Val	Ala	Thr	Lys	Tyr	Glu	Val	Ser
				65					70					75
Val	Tyr	Ala	Leu	Lys	Asp	Thr	Leu	Thr	Ser	Arg	Pro	Ala	Gln	Gly
				80					85					90
Val	Val	Thr	Thr	Leu	Glu	Asn	Val	Ser	Pro	Pro	Arg	Arg	Ala	Arg
	•			95					100					105
Val	Thr	Asp	Ala	Thr	Glu	Thr	Thr	Пе	Thr	ile	Ser	Trp	Arg	Thr
				110					115					120
Lys	Thr	Glu	Thr	He	Thr	Gly	Phe	GIn	Val	Asp	Ala	Val	Pro	Ala
				125					130					135
Asn	Gly	GIn	Thr	Pro	lle	Gin	Arg	Thr	He	Lys	Pro	Asp	Vai	Arg
				140					145					150
Ser	Tyr	Thr	lle	Thr	Gly	Leu	Gln	Pro	Gly	Thr	Asp	Tyr	Lys	l l e
				155					160					165
Tyr	Leu	Tyr	Thr	Leu	Asn	Asp	Asn	Ala	Arg	Ser	Ser	Pro	Val	Val
				170					175					180
lle	Asp	Ala	Ser	Thr	Ala	lie	Asp	Ala	Pro	Ser	Asn	Leu	Arg	Phe
				185					190					195

Leu Ala Thr Thr Pro Asn Ser Leu Leu Val Ser Trp Gln Pro Pro

200 205 210

Arg Ala Arg lie Thr Gly Tyr lie lie Lys Tyr Glu Lys Pro Gly

215 220 225

Ser Pro Pro Arg Glu Val Val Pro Arg Pro Arg Pro Gly Val Thr

230 235 240

Glu Ala Thr lle Thr Gly Leu Glu Pro Gly Thr Glu Tyr Thr lle

245 250 255

Tyr Val lle Ala Leu Lys Asn Asn Gln Lys Ser Glu Pro Leu lle

260 265 270

Gly Arg Lys Lys Thr Cys

275

(210) 21

7

(211) 38

<212> DNA

<213> Artificial Sequence

(220>

<223> primer 12S

<400> 21

aaaccatggc agctagcgct attcctgcac caactgac

38

<210> 22

<211> 36

<212> DNA

<213> Artificial Sequence

<220>

<223> primer 14A

<400> 22

aaaggatooc taactagtot tittoottoo aatoag

36

40

<210> 23

<211> 40

<212> DNA

<213> Artificial Sequence

<220>

<223> primer Cys-A

<400> 23

aaaagcggcc gctagcgcaa gccatggtct gtttcctgtg

<210> 24

<211> 41

<212> DNA.

<213> Artificial Sequence

<220>

<223> primer Cys-S

<400> 24

aaaagcggcc gcactagtgc atagggatcc ggctgagcaa c 41

<210> 25

<211> 658

<212> PRT

<213> Artificial Sequence

<220>

<223> fibronectin fragment named CH-296Na

<400> 25

Met Pro Thr Asp Leu Arg Phe Thr Asn IIe Gly Pro Asp Thr Met Arg

1 5 10 15

Val Thr Trp Ala Pro Pro Pro Ser Ile Asp Leu Thr Asn Phe Leu Val

20 25 30

Arg Tyr Ser Pro Val Lys Asn Glu Glu. Asp Val Ala Glu Leu Ser Ile

35 40 45

Ser Pro Ser Asp Asn Ala Val Val Leu Thr Asn Leu Leu Pro Gly Thr

	50					5 5					60				
Glu	Tyr	Val	V a I	Ser	Val	Ser	Ser	Val	Tyr	Glu	GIn	His	Glu	Ser	Thr
65					70					75					80
Pro	Leu	Arg	Gly	Arg	GIn	Lys	Thr	Gly	Leu	Asp	Ser	Pro	Thr	Gly	lle
				85					90					95	
Asp	Phe	Ser	Asp	He	Thr	Ala	Asn	Ser	Phe	Thr	V a I	His	Trp	He	Ala
			100					105					110		
Pro	Arg	Ala	Thr	lle	Thr	Gly	Tyr	Arg	Пe	Arg	His	His	Pro	Glu	His
		115					120					125			
Phe	Ser	Gly	Arg	Pro	Arg	Glu	Asp	Arg	Val	Pro	His	.Ser	Arg	Asn	Ser
	130					135					140				
lle	Thr	Leu	Thr	Asn	Leu	Thr	Pro	Gly	Thr	Giu	Tyr	V a I	Val	Ser	lle
145					150					155					160
Vai	Ala	Leu	Asn	Gly	Arg	Glu	Glu	Ser	Pro	Leu	Leu	lle	Gly	Gln	GIn
	•			165					170					175	
Ser	Thr	Val	Ser	Asp	Val	Pro	Arg	Asp	Leu	Glu	V a I	Val	Ala	Ala	Thr
			180					185					190		
Pro	Thr	Ser	Leu	Leu	lle	Ser	Trp	Asp	Ala	Pro	Ala	V a I	Thr	Val	Arg
		195					200					205			
Tyr	Tyr	Arg	lle	Thr	Tyr	Gly	Glu	Thr	Gly	Gly	Asn	Ser	Pro	Val	GIn
	210					215					220				
Glu	Phe	Thr	Val	Pro	Gly	Ser	Lys	Ser	Thr	Ala	Thr	lle	Ser	Gly	Leu
225					230					235					240
Lys	Pro	Gly	Val	Asp	Tyr	Thr	lle	Thr	Val	Tyr	Ala	Val	Thr	Gly	Arg
				245					250					255	
Glv	Asp	Ser	Pro	Ala	Ser	Ser	Lvs	Pro	He	Ser	He	Asn	Tvr	Arg	The

			260					265					270		
Glu	lle	Asp	Lys	Pro	Ser	Gln	Met	Gln	V a 1	Thr	Asp	Val	GIn	Asp	Asn
		275					280					285			
Ser	lle	Ser	Val	Lys	Trp	Leu	Pro	Ser	Ser	Ser	Pro	Val	Thr	Gly	Tyr
	290					295					300				
Arg	Val	Thr	Thr	Thr	Pro	Lys	Asn	Gly	Pro	Gly	Pro	Thr	Lys	Thr	Lys
305					310		,			315					320
Thr	Ala	Gly	Pro	Asp	Gln	Thr	Glu	Met	Thr	lle	Glu	Gly	Leu	Gln	Pro
				325					330					335	
Thr	V a I	Glu	Tyr	Val	Val	Ser	Val	Туг	Ala	GIn	Asn	Pro	Ser	Gly	Glu
			340					345					350		
Ser	GIn	Pro	Leu	Val	GIn	Thr	Ala	Vai	Thr	Ala	l l e	Pro	Ala	Pro	Thr
		355					360					365			
Asp	Leu	Lys	Phe	Thr	Gln	Val	Thr	Pro	Thr	Ser	Leu	Ser	Ala	Gln	Trp
	370					375					380				
Thr	Pro	Pro	Asn	Vai	Gln	Leu	Thr	Gly	Tyr	Arg	Val	Arg	Val	Thr	Pro
385					390					395					400
Lys	Glu	Lys	Thr	Gly	Pro	Met	Lys	Glu	lle	Asn	Leu	Ala	Pro	Asp	Ser
				405					410					415	
Ser	Ser	Val	Val	Val	Ser	Gly	Leu	Met	Val	Ala	Thr	Lys	Tyr	Glu	Val
			420					425					430		
Ser	Val	Tyr	Ala	Leu	Lys	Asp	Thr	Leu	Thr	Ser	Arg	Pro	Ala	Gin	Gly
		435					440					445			
Val	Val	Thr	Thr	Leu	Glu	Asn	Val	Ser	Pro	Pro	Arg	Arg	Ala	Arg	Val
	450					455					460				
Thr	Asn	Δla	The	Clu	The	The	110	The	He	Sar	Tro	A	The	1	T L

465					470					475					480
Glu	Thr	ile	Thr	Gly	Phe	GIn	Val	Asp	Ala	Val	Pro	Ala	Asn	Gly	Gln
				485					490					495	
Thr	Pro	He	Gln	Arg	Thr	lle	Lys	Pro	Asp	Val	Arg	Ser	Tyr	Thr	Пe
			500					505					510		
Thr	Gly	Leu	Gin	Pro	Gly	Thr	Asp	Tyr	Lys	Пе	Tyr	Leu	Tyr	Thr	Leu
		515					520					525			
Asn	Asp	Asn	Ala	Arg	Ser	Ser	Pro	Val	Val	He	Asp	Ala	Ser	Thr	Ala
	530					535					540				
lle	Asp	Ala	Pro	Ser	Asn	Leu	Arg	Phe	Leu	Ala	Thr	Thr	Pro	Asn	Ser
545					550					555					560
Leu	Leu	Val	Ser	Trp	GIn	Pro	Pro	Arg	Ala	Arg	He	Thr	Gly	Tyr	Пе
				565					570					575	
lle	Lys	Tyr	Glu	Lys	Pro	Gly	Ser	Pro	Pro	Arg	Glu	Val	Val	Pro	Arg
	•		580					585					590		•
Pro	Arg	Pro	Gly	Vai	Thr	Glu	Ala	Thr	i i e	Thr	Gly	Leu	Glu	Pro	Gly
		595					600					605			
Thr	Glu	Tyr	Thr	lle	Tyr	Val	lle	Ala	Leu	Lys	Asn	Asn	Gln	Lys	Ser
	610					615					620				
Glu	Pro	Leu	lle	Gly	Arg	Lys	Lys	Thr	Asp	Glu	Leu	Pro	Gln	Leu	Vai
625					630					635					640
Thr	Leu	Pro	His	Pro	Asn	Leu	His	Gly	Pro	Glu	Пe	Leu	Asp	Val	Pro
				645					650					655	
Ser	Thr														•

(210) 26

(211) 1989

<212> DNA

(213) Artificial Sequence

<220>

<223> polynuleotide coding CH-296Na

<400> 26

catatgccca ctgacctgcg attcaccaac attggtccag acaccatgcg tgtcacctgg 60 gctccacccc catccattga tttaaccaac ttcctggtgc gttactcgcc tgtgaaaaat 120 gaggaagatg tigcagagit gicaatiici coticagaca aigcagiggi citaacaaat 180 ctcctgcctg gtacagaata tgtagtgagt gtctccagtg tctacgaaca acatgagagc 240 acaccictia gaggaagaca gaaaacaggi citgaticcc caaciggcai igactitici 300 gatattactg ccaactettt tactgtgcae tggattgcte etegageeae cateaetgge 360 tacaggatcc gccatcatcc cgagcacttc agtgggagac ctcgagaaga tcgggtgccc 420 cactotogga attocatoac cotoaccaac otoactocag goacagagta tgtggtcago 480 atogitgoic tiaatggoag agaggaaagt cocttatiga tiggocaaca aicaacagit 540 totgatgtto ogagggacot ggaagttgtt gotgogacoo coaccagoot actgatcago 600 tgggatgctc ctgctgtcac agtgagatat tacaggatca cttacggaga aacaggagga 660 aatagccctg tccaggagtt cactgtgcct gggagcaagt ctacagctac catcagcggc 720 cttaaacctg gagttgatta taccatcact gtgtatgctg tcactggccg tggagacagc 780 cccgcaagca gcaagccaat ttccattaat taccgaacag aaattgacaa accatcccag 840 atgcaagtga ccgatgttca ggacaacagc attagtgtca agtggctgcc ttcaagttcc 900 cctgttactg gttacagagt aaccaccact cccaaaaatg gaccaggacc aacaaaaact 960

aaaactgcag gtccagatca aacagaaatg actattgaag gcttgcagcc cacagtggag 1020 tatgtggtta gtgtctatgc tcagaatcca agcggagaga gtcagcctct ggttcagact 1080 gcagtaaccg ctattcctgc accaactgac ctgaagttca ctcaggtcac acccacaagc 1140 ctgagcgccc agtggacacc acccaatgtt cagctcactg gatatcgagt gcgggtgacc 1200 cccaaggaga agaccggacc aatgaaagaa atcaaccttg ctcctgacag ctcatccgtg 1260 gttgtatcag gacttatggt ggccaccaaa tatgaagtga gtgtctatgc tcttaaggac 1320 actitgacaa gcagaccagc tcagggtgtt gtcaccactc tggagaatgt cagcccacca 1380 agaagggctc gtgtgacaga tgctactgag accaccatca ccattagctg gagaaccaag 1440 actgagacga tcactggctt ccaagttgat gccgttccag ccaatggcca gactccaatc 1500 cagagaacca tcaagccaga tgtcagaagc tacaccatta caggtttaca accaggcact 1560 gactacaaga totacotgta cacottgaat gacaatgoto ggagotocoo tgtggtcato 1620 gacgcctcca ctgccattga tgcaccatcc aacctgcgtt tcctggccac cacacccaat 1680 tccttgctgg tatcatggca gccgccacgt gccaggatta ccggctacat catcaagtat 1740 gagaagcctg ggtctcctcc cagagaagtg gtccctcggc cccgccctgg tgtcacagag 1800 gctactatta ctggcctgga accgggaacc gaatatacaa tttatgtcat tgccctgaag 1860 aataatcaga agagcgagcc cctgattgga aggaaaaaga cagacgagct tccccaactg 1920 gtaaccette cacaccecaa tetteatgga ceagagatet tggatgttee ttecacataa 1980 tagaagett 1989

(210) 27

(211) 22

<212> DNA

(213) Artificial Sequence

<220>

<223> Primer CH-296Na1

<400> 27

atcatatgcc cactgacctg cg

22

<210> 28

<211> 23

<212> DNA

<213> Artificial Sequence

<220>

<223> Primer CH-296Na2

<400> 28

ataagcttct attatgtgga agg

23

<210> 29

<211> 22

<212> DNA

<213> Artificial Sequence

<220>

<223> Primer CH-296Na3

<400> 29

accatcactg gctacaggat cc

22

